



การศึกษาการกระจายตัวของอนุภาคเขม่าปืนจากปืนที่ยิงในห้องปิด ด้วยเทคนิค ICP-OES

โดย
นางสาวศิรลักษณ์ ไนบุปพา

วิทยานิพนธ์นี้เป็นส่วนหนึ่งของการศึกษาตามหลักสูตรปริญญาวิทยาศาสตรมหาบัณฑิต
สาขาวิชานิติวิทยาศาสตร์
บัณฑิตวิทยาลัย มหาวิทยาลัยศิลปากร
ปีการศึกษา 2551
ลิขสิทธิ์ของบัณฑิตวิทยาลัย มหาวิทยาลัยศิลปากร

การศึกษาการกระจายตัวของอนุภาคเม่าปืนจากปืนที่ยิงในห้องปิด ด้วยเทคนิค ICP-OES

โดย

นางสาวศิริลักษณ์ ไชมูปดา

วิทยานิพนธ์นี้เป็นส่วนหนึ่งของการศึกษาตามหลักสูตรปริญญาวิทยาศาสตรมหาบัณฑิต

สาขาวิชานิติวิทยาศาสตร์

บัณฑิตวิทยาลัย มหาวิทยาลัยศิลปากร

ปีการศึกษา 2551

ลิขสิทธิ์ของบัณฑิตวิทยาลัย มหาวิทยาลัยศิลปากร

**DETERMINATION OF THE DISTRIBUTION OF GSR PARTICLES FROM SHOOTING
PISTOLS IN A CLOSED ROOM BY ICP-OES**

By
Sirilux Chamaibuppha

A Thesis Submitted in Partial Fulfillment of the Requirements for the Degree
MASTER OF SCIENCE
Program of Forensic Science
Graduate School
SILPAKORN UNIVERSITY
2008

บัณฑิตวิทยาลัย มหาวิทยาลัยศิลปากร อนุมัติให้วิทยานิพนธ์เรื่อง “การศึกษาการกระจายตัวของอนุภาคเมมbrane ปืนจากปืนที่ยิงในห้องปิด ด้วยเทคนิค ICP-OES” เสนอโดย นางสาวศิริลักษณ์ ชัยบุปผา เป็นส่วนหนึ่งของการศึกษาตามหลักสูตรปริญญาวิทยาศาสตรมหาบัณฑิต สาขาวิชานิติวิทยาศาสตร์

.....
(รองศาสตราจารย์ ดร.ศิริชัย ชินะตังกุร)

คณบดีบัณฑิตวิทยาลัย
วันที่เดือน พ.ศ

อาจารย์ที่ปรึกษาวิทยานิพนธ์

- ผู้ช่วยศาสตราจารย์ ดร.นรงค์ นิมพาลี
- อาจารย์ ดร.ศิริรัตน์ ชูสกุลเกรียง
- พันตำรวจตรีอัครวัฒน์ ชินวรสวัสดิ์

คณะกรรมการตรวจสอบวิทยานิพนธ์

..... ประธานกรรมการ
(อาจารย์ ดร.ศุภชัย ศุภลักษณ์นาวี)

...../...../.....

..... กรรมการ
(อาจารย์อรทัย เจียราพุ่ม)

...../...../.....

..... กรรมการ
(ผู้ช่วยศาสตราจารย์ ดร. นรงค์ นิมพาลี)

...../...../.....

..... กรรมการ
(อาจารย์ ดร. ศิริรัตน์ ชูสกุลเกรียง)

...../...../.....

..... กรรมการ
(พันตำรวจตรีอัครวัฒน์ ชินวรสวัสดิ์)

...../...../.....

49312331 : สาขาวิชานิติวิทยาศาสตร์

คำสำคัญ : เบม่าปืน, GSR Particles และ ICP-OES

ศิริลักษณ์ ชัยบุปผา : การศึกษาการกระจายตัวของอนุภาคเบม่าปืนจากปืนที่ยิงในห้องปิดด้วยเทคนิค ICP-OES. อาจารย์ที่ปรึกษาวิทยานิพนธ์ : ผศ.ดร.นรังค์ ฉิมพาลี, อ.ดร.ศิริรัตน์ ชูสกุลเกรียง และ พ.ต.ต. อัครวัฒน์ ชินวรสวัสดิ์ 74 หน้า.

งานวิจัยนี้ทำการทดลองเพื่อศึกษาการกระจายของอนุภาคเบม่าปืนใน 5 ทิศทาง ด้านหน้า ผู้ยิง และศึกษาระยะเวลาการคงอยู่ของเบม่าปืนในห้องปิด โดยใช้ปืนพกสั้นกึ่งอัตโนมัติ (Glock model 19 ขนาด 9 มม.) และปืนเรือโลเวอร์ (Smith & Wesson model M 60 ขนาด .38) ตัวอย่างที่เก็บได้นำมาวิเคราะห์ด้วยเทคนิค Inductively Coupled Plasma - Optical Emission Spectrometer (ICP-OES) เพื่อหาปริมาณธาตุ Ba Sb และ Pb และใช้เป็นค่าการวัดปริมาณอนุภาคเบม่าปืน ผลการทดลองแสดงให้เห็นว่า ในระยะ 1-2 เมตร จากด้านหน้าของผู้ยิง และด้านขวาของผู้ยิงเป็นมุม 45 องศา จะพบปริมาณของอนุภาคเบม่าปืนมากที่สุด และพบมากที่สุดในช่วง 1-3 นาที หลังจากที่ยิงปืน ซึ่งอนุภาคเบม่าปืนจากปืนทั้ง 2 ชนิดมีปริมาณและการกระจายตัวแตกต่างกัน และจะตรวจพบอนุภาคเบม่าปืนในปริมาณมากจากฝามือ และจากนิวโพร์และนิวชีด้านฝามือของผู้ยิง

สาขาวิชานิติวิทยาศาสตร์

ลายมือชื่อนักศึกษา.....

ลายมือชื่ออาจารย์ที่ปรึกษาวิทยานิพนธ์ 1. 2. 3.

บัณฑิตวิทยาลัย มหาวิทยาลัยศิลปากร

ปีการศึกษา 2551

49312331: MAJOR: FORENSIC SCIENCE
KEY WORD: GSR PARTICLES, ICP-OES

SIRILUX CHAMAIUPUPHA: DETERMINATION OF THE DISTRIBUTION OF GSR PARTICLES FROM SHOOTING PISTOLS IN A CLOSED ROOM BY ICP-OES. THESIS ADVISORS: ASST. PROF. NARONG CHIMPALEE, Ph.D., SIRIRAT CHOOSAKOONKRIANG, Ph.D., AND AKARAWAT CHINWORASAWAT. 74 pp.

In this work, the experiments were carried out to study the distribution of Gunshot Residues (GSR) in five directions from the front of the shooter and to determine the amounts of GSR particles deposited on the floor at different times after shooting, in a closed room. The pistols used were a semi-automatics, Glock (model 19, 9 mm) and a revolver Smith & Wesson (model M 60, .38). The amounts of Ba, Sb and Pb in the GSR were determined by using the technique of Inductively Coupled Plasma-Optical Emission Spectrometer (ICP-OES) and were used as the measures of the GSR particles. The results demonstrated that the highest proportions of GSR particles were found at 1-2 meters from the front of the shooter and from the direction of 45 degree to the right of the shooter. The maximum amounts of GSR particles deposited were found at approximately 1 to 3 minutes after shooting. Different amounts of GSR particles were detected from the two types of pistols. In addition, the high proportions of the GSR particles were detected from the samples collected from the palm and palm area of the thumb and forefinger of the shooter.

กิตติกรรมประกาศ

วิทยานิพนธ์ เรื่องการศึกษาการกระจายตัวของอนุภาคเข้มปืนจากปืนที่ยิงในห้องปิด ด้วยเทคนิค ICP-OES ฉบับนี้ เป็นความตั้งใจของผู้วิจัยที่จะสนับสนุนศึกษาเพิ่มเติม หลังจากศึกษาด้าน นิติวิทยาศาสตร์ในระดับปริญญาโท ณ มหาวิทยาลัยศิลปากร ขอขอบคุณ พศ.ดร.นรนรค์ นิมพาลี, อ.ดร.ศิริรัตน์ ชูสกุลเกรียง และ พันตำรวจตรีอัครวัฒน์ ชินวรสวัสดิ์ ผู้ชุดประกายความคิด และ แนะนำแนวทางในการศึกษา และ อ. ดร. ศุภชัย ศุภลักษณ์นารี ที่กรุณาสละเวลาให้กำชีด์แนะนำและสนับสนุน วิทยานิพนธ์สำเร็จลุล่วงไปด้วยดี

วิทยานิพนธ์ฉบับนี้ เป็นความภาคภูมิใจของลูกสาวที่ตั้งใจมอบเป็นของขวัญแด่ คุณพ่อ คุณแม่ ผู้มีพระคุณให้กำเนิด เลี้ยงดูอุ่นชูด้วยความรัก ขอบพระคุณทั้งสองท่านผู้เป็นกำลังใจให้ ตลอดมา ความสำเร็จความดีของการศึกษารึ่งนี้ขอมอบแด่บุคลอันเป็นที่รักทั้งสอง ที่สำคัญที่สุดใน ชีวิต คือ นายอมรเวช ไนนบุปติ และนางชนษ์นันิช เกื้อจิตบุญเปี่ยม

ขอขอบคุณ โรงเรียนพลตำรวจ จังหวัดนครปฐม ที่เอื้อเฟื้อสถานที่ในการศึกษาทดลอง

วิทยานิพนธ์ฉบับนี้ คงไม่สามารถสำเร็จลงได้หากปราศจากคณาจารย์ เพื่อนๆ และ เจ้าหน้าที่ทุกท่านในภาควิชานิติวิทยาศาสตร์ มหาวิทยาลัยศิลปากร ผู้กรุณาสละเวลาช่วยเหลือ ผู้ศึกษาด้วยความความเต็มใจยิ่ง ผู้ศึกษาจะรำลึกถึงความกรุณาของทุกท่าน ไว้เสมอ

สารบัญ

	หน้า
บทคัดย่อภาษาไทย	๔
บทคัดย่อภาษาอังกฤษ	๖
กิตติกรรมประกาศ.....	๘
สารบัญตาราง	๙
สารบัญภาพ	๑๐
บทที่	
1 บทนำ.....	1
ความเป็นมาและความสำคัญของปัลยาหาร	1
ความมุ่งหมายและวัตถุประสงค์ของการศึกษา	2
สมมติฐานของการศึกษา.....	2
ขอบเขตการศึกษา.....	3
วิธีการศึกษา.....	3
หลักการของเครื่องมือที่ใช้ในการทดลอง (ICP-OES).....	3
กระสุนปืนและอนุภาคเม่าปืน (GSR Particle)	9
งานวิจัยที่เกี่ยวข้อง.....	20
2 เครื่องมือและสารเคมี.....	23
เครื่องมือ	23
สารเคมีและอุปกรณ์.....	23
ชนิดของอาวุธที่ใช้ในการทดลอง	24
3 วิธีดำเนินการวิจัย.....	26
การศึกษาหาปริมาณเม่าปืนในแก๊ปปืนก่อนยิง.....	26
การศึกษาหาทิศทางการกระจายตัวของอนุภาคเม่าปืน	27
การศึกษาหาผลของการระยะเวลาที่มีต่อการทดลองมากของเม่าปืนในห้องปิด	30
วิเคราะห์หาอนุภาค GSR ในบริเวณที่แตกต่างกันของเม่าปืนจากการยิงด้วยปืน	31
การเก็บตัวอย่างเม่าปืน	32

สารบัญ

	หน้า
4 ผลการทดลอง.....	34
ผลการศึกษาหาปริมาณของชาตุ GSR ในแก๊สลูกระสุนปืนก่อนยิง	34
ผลการศึกษาหาทิศทางการกระจายตัวของอนุภาคเบม่าปืนในห้องปิด.....	35
ผลการศึกษาหาผลของระยะเวลาที่มีต่อการตกลงมาของเบม่าปืนในห้องปิด.....	50
ผลการศึกษาหาปริมาณความเข้มข้นของชาตุ GSR ในบริเวณที่แตกต่างกันของมือเมื่อ	56
5 วิเคราะห์และสรุปผลการทดลอง	60
วิเคราะห์ผลการศึกษาหาทิศทางการกระจายตัวของอนุภาคเบม่าปืน	60
วิเคราะห์ผลการศึกษาหาผลของระยะเวลาที่มีต่อการตกลงมาของ เบม่าปืนในห้องปิด	64
วิเคราะห์ผลการศึกษาหาอนุภาค GSR ในบริเวณที่แตกต่างกันของมือ ในปืน Revolver และ Semi- Automatics	65
อภิปรายผลการทดลอง	65
บรรณานุกรม	67
ภาคผนวก	70
ประวัติผู้วิจัย	74

สารบัญตาราง

ตารางที่	หน้า
1 ค่าเฉลี่ยปริมาณของชาตุ GSR ก่อนยิงในแก๊ปกระสุนปืน Revolver และปืน Semi-Automatics	34
2 แสดงปริมาณของชาตุ GSR ที่กระจายตัวอยู่รอบๆจุดยิง จากปืน Revolve	37
3 แสดงปริมาณของชาตุ GSR ที่กระจายตัวอยู่รอบๆจุดยิง จากปืน Semi-Automatics	44
4 ค่าเฉลี่ยผลของระยะเวลาที่มีต่อการตกลงมาของเขม่าปืนในห้องปิด สำหรับปืน Revolver	51
5 ค่าเฉลี่ยผลของระยะเวลาที่มีต่อการตกลงมาของเขม่าปืนในห้องปิด สำหรับปืน Semi-Automatics	53
6 แสดงปริมาณของชาตุ GSR ในบริเวณที่แตกต่างกัน ของมือทั้ง 2 ข้างจากปืน Revolver	56
7 แสดงปริมาณของชาตุ GSR ในบริเวณที่แตกต่างกัน ของมือทั้ง 2 ข้างจากปืน Semi-Automatics	58
8 แสดงปริมาณของชาตุ GSR ที่ตรวจพบได้ในแต่ละทิศทาง จากการยิง ในระบบปิด	60

สารบัญภาพ

ภาพที่		หน้า
1	ภาพอาร์กอนพลาสม่าที่เกิดจากการเหนี่ยวนำ.....	4
2	ภาพตัดขวางของ ICP Torch.....	5
3	องค์ประกอบที่สำคัญของเครื่อง ICP-OES.....	6
4	เครื่อง Inductively Coupled Plasma Spectrometer (ICPS) Varian Liberty 220..	9
5	แสดงส่วนประกอบของกระสุนปืน	10
6	ตัวอย่างกระสุนแบบ Pin Fire Cartridge.....	11
7	ตัวอย่างกระสุนแบบ Rimmed Fire Cartridge	11
8	ตัวอย่างกระสุนแบบ Center fire Cartridge	12
9	ดินคำ.....	13
10	ดินคำแบบใหม่.....	14
11	แก๊ปปืน หรือชานวนท้ายกระสุนปืน (Primer cap)	15
12	ส่วนประกอบภายในแก๊ปปืน (Primer cap)	16
13	ลักษณะอนุภาค GSR แบบ Regular Spheroids	18
14	ลักษณะอนุภาค GSR แบบ Irregular Particles	19
15	ลักษณะอนุภาค GSR แบบ Peeled Orange	19
16	ปืน Revolver ยี่ห้อ Smith & Wesson Model M60	24
17	กระสุนปืน Revolver ยี่ห้อ Sellier&Bellot ขนาด .38 Special	24
18	ปืน Semi-Automatics ยี่ห้อ Glock Model 19	25
19	กระสุนปืน Semi-Automatics ยี่ห้อ Winchester ขนาด 9 mm Luger.....	25
20	แก๊ปปืน (Primer cap) ที่อยู่ในกระสุนปืนหลังจากผ่าออกมา.....	26
21	ทิศทางการเก็บตัวอย่างอนุภาค GSR ใน 5 ทิศทางที่แผ่ออกจากจุดศูนย์กลาง.....	27
22	สัญลักษณ์ที่ใช้ในการกำหนดทิศทางในการเก็บตัวอย่าง โดยรูปวงกลมแทนตำแหน่งจุดศูนย์ของผู้ยิง	28
23	ทิศทางการเก็บตัวอย่างอนุภาค GSR ใน 5 ทิศทางที่แผ่ออกจากจุดศูนย์กลาง ในห้องปิด	29
24	ลักษณะท่าทางการยิงปืนของผู้ยิงขณะทำการทดสอบ	29

สารบัญภาพ

ภาพที่	หน้า
25 ลักษณะการวางแผนกระเบื้องเพื่อศึกษาหาผลของระยะเวลา ที่มีต่อการทดลองมากของเขม่าปืน.....	30
26 ตำแหน่งการเก็บตัวอย่างอนุภาค GSR ในการศึกษาหาผลของระยะเวลา ที่มีต่อการทดลองมากของเขม่าปืน ในปืน Revolver.....	31
27 ตำแหน่งที่เก็บเขม่าปืนบนมือของผู้ยิงทั้ง 4 ตำแหน่ง.....	32
28 ขั้นตอนและวิธีการในการเก็บตัวอย่างเขม่าปืน	33
29 กราฟเปรียบเทียบค่าเฉลี่ยปริมาณชาตุ GSR ในแก๊ปกระสุนปืนก่อนยิง ในปืน Revolver และปืน Semi-Automatics.....	35
30 สัญลักษณ์ที่ใช้ในการกำหนดทิศทางในการเก็บตัวอย่าง	36
31 ปริมาณของชาตุ GSR ทั้ง 3 ชาตุ ที่ตำแหน่งต่างๆของปืน Revolver ครั้งที่ 1	38
32 ปริมาณของชาตุ GSR ทั้ง 3 ชาตุ ที่ตำแหน่งต่างๆของปืน Revolver ครั้งที่ 2	38
33 ปริมาณของชาตุ GSR ทั้ง 3 ชาตุ ที่ตำแหน่งต่างๆของปืน Revolver ครั้งที่ 3	39
34 เปรียบเทียบการกระจายตัวของปริมาณชาตุ Ba ในการยิงแต่ละครั้ง ของปืน Revolver	40
35 เปรียบเทียบการกระจายตัวของปริมาณชาตุ Sb ในการยิงแต่ละครั้ง ของปืน Revolver	40
36 เปรียบเทียบการกระจายตัวของปริมาณชาตุ Pb ในการยิงแต่ละครั้ง ของปืน Revolver	41
37 กราฟแท่งสรุปค่าเฉลี่ยการกระจายตัวของอนุภาคเขม่าปืนซึ่งประกอบด้วย ชาตุ Ba, Sb และ Pb จากการยิงทั้งหมด 3 ครั้งในตำแหน่งต่างๆ ของปืน Revolver	42

สารบัญภาพ

ภาพที่		หน้า
38	กราฟ 3 มิติ สรุปค่าเฉลี่ยการกระจายตัวของอนุภาคเหมือนปืนซึ่งประกอบด้วยชาตุ Ba, Sb และ Pb จากการยิงทั้งหมด 3 ครั้งในตำแหน่งต่างๆ ของปืน Revolver	42
39	ปริมาณของชาตุ GSR ทั้ง 3 ชาตุ ที่ตำแหน่งต่างๆ ของปืน Semi-Automatic ครั้งที่ 1	45
40	ปริมาณของชาตุ GSR ทั้ง 3 ชาตุ ที่ตำแหน่งต่างๆ ของปืน Semi-Automatic ครั้งที่ 2	45
41	ปริมาณของชาตุ GSR ทั้ง 3 ชาตุ ที่ตำแหน่งต่างๆ ของปืน Semi-Automatic ครั้งที่ 3	46
42	เบริยบเทียบการกระจายตัวของอนุภาค Ba ใน การยิงแต่ละครั้งของปืน Semi-Automatics	47
43	เบริยบเทียบการกระจายตัวของอนุภาค Sb ใน การยิงแต่ละครั้งของปืน Semi-Automatics	47
44	เบริยบเทียบการกระจายตัวของอนุภาค Pb ใน การยิงแต่ละครั้งของปืน Semi-Automatics	48
45	กราฟแท่งสรุปค่าเฉลี่ยการกระจายตัวของอนุภาคเหมือนปืนซึ่งประกอบด้วยชาตุ Ba, Sb และ Pb จากการยิงทั้งหมด 3 ครั้งในตำแหน่งต่างๆ ของปืน Semi-Automatics	49
46	กราฟ 3 มิติ สรุปค่าเฉลี่ยการกระจายตัวของอนุภาคเหมือนปืนซึ่งประกอบด้วยชาตุ Ba, Sb และ Pb จากการยิงทั้งหมด 3 ครั้งในตำแหน่งต่างๆ ของปืน Semi-Automatics	49
47	ค่าเฉลี่ยระยะเวลาการตกของเขม่าปืน Revolver ที่ตำแหน่ง 2 เมตรจากปลายกระบอกปืนทางด้านหน้าจากการทดลองทั้ง 2 ครั้ง	52
48	ค่าเฉลี่ยระยะเวลาการตกของเขม่าปืน Semi-Automatics ที่ตำแหน่ง 1 เมตรจากปลายกระบอกปืนทางด้านหน้าจากการทดลองทั้ง 2 ครั้ง	54

สารบัญภาพ

ภาพที่	หน้า
49 เปรียบเทียบระยะเวลาการตอกของอนุภัค GSR ในปืน Revolver กับปืน Semi- Automatics.....	55
50 ปริมาณชาตุ GSR ในบริเวณที่แตกต่างกันของมือซ้าย จากปืน Revolver.....	57
51 ปริมาณชาตุ GSR ในบริเวณที่แตกต่างกันของมือซ้าย จากปืน Semi-Automatics	58
52 การเปรียบเทียบทิศทางที่พบปริมาณชาตุ GSR มากที่สุดในปืน Revolver.....	62
53 การเปรียบเทียบทิศทางที่พบปริมาณชาตุ GSR มากที่สุด ในปืน Semi - Automatics.....	62
54 ตำแหน่งที่ตรวจพบชาตุ GSR ในปริมาณต่างๆ จากการยิงด้วยปืน Revolver.....	63
55 ตำแหน่งที่ตรวจพบชาตุ GSR ในปริมาณต่างๆ จากการยิงด้วยปืน Semi-Automatics	63
56 กราฟเปรียบเทียบระยะเวลาการตอกของอนุภัค GSR จากปืน Revolver เทียบกับปืน Semi-Automatics.....	64

บทที่1

บทนำ

1.1 ความเป็นมาและความสำคัญของปัญหา

อาชญากรรมที่ประทุยร้ายต่อชีวิต และร่างกาย โดยใช้อาวุธปืนในประเทศไทยนั้นบัว เป็นปัญหาสำคัญ ซึ่งหน่วยงานที่เกี่ยวข้อง ได้แก่ สำนักงานตำรวจแห่งชาติ และกระทรวงมหาดไทย ตลอดจนผู้เกี่ยวข้องในกลไกของการรักษาความสงบเรียบร้อยภายในประเทศได้พยายามออกกฎหมาย กฎหมายเบี่ยงข้อบังคับต่างๆ เพื่อควบคุมการมีและใช้อาวุธปืนของประชาชนให้อยู่ใน ขอบเขตตามความจำเป็น ซึ่งที่ผ่านมาสามารถควบคุมการก่ออาชญากรรมโดยใช้อาวุธปืนได้ผลดีใน ระดับหนึ่ง แต่เนื่องจากอาวุธปืนที่ใช้ประกอบอาชญากรรมในปัจจุบันนี้ ส่วนมากเป็นปืนนอก กฎหมาย หรือปืนถือ ทำให้การควบคุมกระทำได้ยากขึ้น ดังนั้นปัญหาอาชญากรรมที่กระทำโดย อาวุธปืนในปัจจุบันนี้ จึงทวีความรุนแรงมากขึ้น

ในการสืบสวนคดีเกี่ยวกับอาวุธปืน วัตถุพยานต่างๆ ที่เกี่ยวกับอาวุธปืน เครื่องกระสุน ปืน เช่น ลูกกระสุนปืน ปลอกกระสุนปืน หมอนรองกระสุนปืน รวมถึงเขม่าปืน ซึ่งได้จากที่เกิดเหตุ ผู้บาดเจ็บหรือศพ, ผู้ต้องสงสัย และตัวผู้กระทำผิดเอง จำเป็นต้องมีการตรวจพิสูจน์เพื่อเป็นข้อมูลในการสืบสวนสอบสวน เพื่อนำไปใช้หาพยานหลักฐานของคนร้าย และหาตัวผู้กระทำผิดที่แท้จริงต่อไป

นิติวิทยาศาสตร์ เป็นศาสตร์แขนงหนึ่งที่ใช้กระบวนการทางวิทยาศาสตร์มาพิสูจน์การ กระทำผิดด้วยหลักฐานทางวิทยาศาสตร์ที่ไม่สามารถปฏิเสธได้ โดยการนำวัตถุพยานที่เก็บได้จาก สถานที่เกิดเหตุ หรือจากตัวผู้ต้องสงสัยมาทำการตรวจพิสูจน์ เพื่อช่วยให้การสืบสวนสอบสวน จับกุมตัวผู้กระทำผิด และลงโทษผู้กระทำผิด ได้อย่างบริสุทธิ์ยุติธรรม

เขม่าปืน หรือเขม่าจากการยิงปืน (Gunshot Residue) หมายถึง ผลลัพธ์ที่เกิดจากการเผา ไหม้ของชั้นวนท้ายกระสุนปืนหรือ แคปปืน (Primer Residue) ซึ่งประกอบด้วย เกลือของตะกั่ว, เกลือของแบเรียม และเกลือของพลาวด โดยการตรวจเขม่าปืนในปัจจุบันมีหลายวิธี เช่น Atomic Absorption Spectrophotometry ซึ่งเป็นวิธีตรวจหาธาตุแอนติโมน (Sb) และธาตุแบเรียม (Ba) ที่ ผสมอยู่ในชั้นวนท้ายกระสุนปืน หรือแคปปืน โดยใช้เครื่องมือที่เรียกว่า Atomic Absorption Spectrophotometer (AAS) วิธีนี้เริ่มใช้เมื่อ พ.ศ. 2519 จนถึงปัจจุบัน ส่วนวิธีอื่นๆ ที่จะพิสูจน์หาราคุ

สำหรับที่มาจากการยิงปืน ได้แก่ Sodiumrhodizonate test, Neutron Activation Analysis (NAA), Scanning Electron Microscopy/ Energy Dispersive X-ray Spectroscopy (SEM/EDS) เป็นต้น

การกระจายตัวของเมม่าปืน เป็นสิ่งสำคัญอย่างหนึ่งที่บอกร่องตำแหน่งการยืนของผู้ยิง ว่ายิงมาจากตำแหน่งใด ตามการให้การของทั้งพยานหรือผู้ต้องสงสัยหรือไม่ รวมทั้งปัจจัยด้าน ชนิดของอาวุธปืนและชนิดของลูกกระสุนปืนที่อาจมีผลต่อการกระจายตัวของเมม่าปืน และถ้ายิง จากตำแหน่งใดนั้น จะมีเมม่าปืน ติดอยู่ที่วัตถุพยานบริเวณใดบ้าง ส่วนการศึกษาผลของเวลาที่มี ต่อการคงอยู่อนุภาค GSR ภายหลังการยิงปืน ก็สามารถบอกร่องเป็นของเมม่าปืนในบุคคลที่ ไม่ได้ยิงปืน แต่เข้ามายังสถานที่เกิดเหตุทันทีภายหลังเกิดการยิงปืนขึ้นได้ เมื่อจากในการตรวจพบ อนุภาคของเมม่าปืนยังมีหลายปัจจัยที่เข้ามาเกี่ยวข้องทั้งในเรื่องของเวลาและพฤติกรรมของผู้ยิงปืน

ดังนั้นการศึกษาระยะเวลาที่เมม่าปืน และการศึกษาผลของเวลาที่มีต่อการคงอยู่ อนุภาค GSR ภายหลังการยิงปืน จะทำให้ทราบถึงตำแหน่งของผู้ยิง และช่วงเวลาที่น้อยที่สุดที่เมม่า ปืนจะไม่ตกลงมาอีก เพื่อเป็นแนวทางในการสืบสวนถึงผู้ที่เกี่ยวข้องในสถานที่เกิดเหตุที่มีการยิง ปืนได้ต่อไป

1.2 ความมุ่งหมายและวัตถุประสงค์การศึกษา

1. เพื่อศึกษาระยะการกระจายตัวของเมม่าปืนในระบบปิด ในปืน Revolver และ Semi-Automatics
2. เพื่อศึกษาทิศทางการกระจายตัวของเมม่าปืนในระบบปิดในปืน Revolver และ Semi-Automatics
3. เพื่อศึกษาผลของระยะเวลาที่มีต่อการตกลงมาของเมม่าปืนในระบบปิดในปืน Revolver และ Semi-Automatics
4. เพื่อศึกษาตำแหน่งที่สามารถตรวจพบเมม่าปืนได้มากที่สุดในบริเวณต่างๆของมือ ผู้ยิงในปืน Revolver และ Semi-Automatics

1.3 สมมติฐานของการศึกษา

การกระจายตัวของเมม่าปืนจะกระจายออกทั้ง 2 ข้างจากตำแหน่งปลายระบบอิกปืน ในปริมาณที่ใกล้เคียงกัน โดยภายหลังการยิงปืน เมม่าปืนจะยังคงตัว และกระจายตัวอยู่ในอากาศ เป็นเวลาช่วงหนึ่ง ซึ่งสามารถตรวจสอบได้ด้วยเทคนิค Inductively Coupled Plasma - Optical Emission Spectrometer (ICP-OES)

1.4 ขอบเขตการศึกษา

1. ศึกษาหาระยะกรกระจาดตัวของเขม่าปืน ทิศทางการกระจายตัวของเขม่าปืน ระยะเวลาที่เขม่าปืนตกลงมากที่สุด และหาตำแหน่งที่สามารถตรวจพบเขม่าปืนได้มากที่สุดในบริเวณต่างๆของมือผู้ยิง เป็นการศึกษาในระบบปิดเท่านั้น
2. ศึกษาทำการทดลองในปืน 2 ชนิด คือ ปืน Revolver ยี่ห้อ Smiths & Wesson model M60 ขนาด .38 Special โดยใช้กระสุนปืนยี่ห้อ S & B ขนาด .38 Special และ Semi-Automatics ยี่ห้อ Glock model 19 โดยใช้กระสุนปืนยี่ห้อ Winchester ขนาด 9 mm

1.5 วิธีการศึกษา

1. สถานที่

1.1 มหาวิทยาลัยศิลปากร วิทยาเขตพระราชวังสนามจันทร์

1.2 โรงเรียนพลตำรวจ จังหวัดนครปฐม

2. วิธีวิเคราะห์ตัวอย่าง

2.1 วิเคราะห์ด้วยเทคนิค Inductively Coupled Plasma - Optical Emission

Spectrometer (ICP-OES)

3. การบันทึกและวิเคราะห์ผล

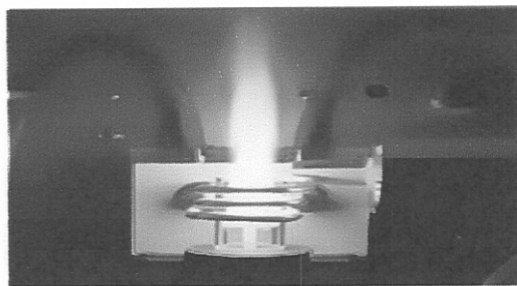
3.1 นำผลที่บันทึกได้มาหาค่าทางสถิติของแต่ละวิธี

3.2 วิเคราะห์ผลทางสถิติเพื่อเปรียบเทียบ

1.6 หลักการของเครื่องมือที่ใช้ในการทดลอง ICP-OES (Inductively Coupled Plasma - Optical Emission Spectrometer)

1.6.1 หลักการของ ICP-OES

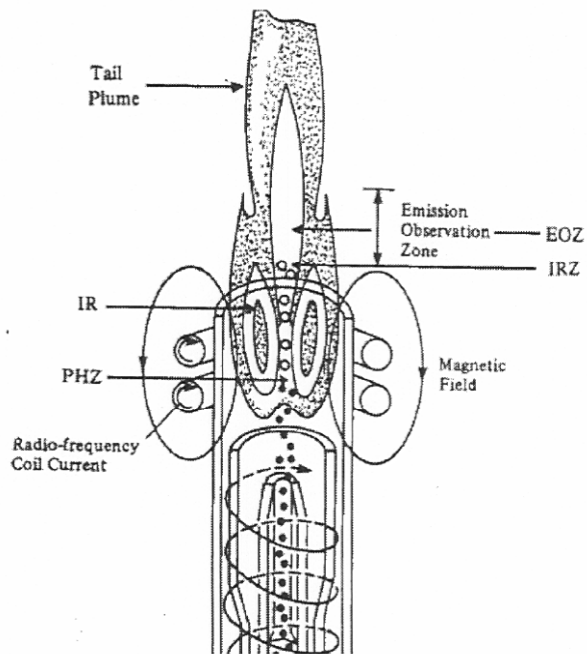
ICP-OES เป็นเครื่องมือวิเคราะห์ธาตุ โดยใช้หลักการการคายแสงที่มีความยาวคลื่นเฉพาะตัวของอะตอมหรือไออ่อนของธาตุที่ต้องการวิเคราะห์ โดยใช้พลาสม่า (Plasma) ที่มีอุณหภูมิสูงถึง 10,000 องศาเซลเซียสเป็นแหล่งความร้อนทำให้เกิดการคายแสง ซึ่งจะปล่อยแสงสเปกตรัมที่มีความยาวคลื่นเฉพาะตัวของธาตุ แล้ววัดความเข้มของแสงและคำนวณเป็นความเข้มข้นของปริมาณธาตุในตัวอย่าง ICP-OES โดยเทคนิคนี้เป็นเทคนิคที่สามารถวิเคราะห์ธาตุได้หลายธาตุพร้อมกัน (multi-element)



ภาพที่ 1 ภาพอาร์กอนพลาสม่าที่เกิดจากการเหนี่ยวนำ

1.6.2 หลักการเกิดพลาสม่า

คบ (Torch) ของ ICP ตามภาพที่ 2 ประกอบด้วยหลอดทำด้วย кварตซ์ (Quartz Tube) ซึ่งอนกัน 3 ชั้น ปลาย Torch มีห้องทำด้วยทองแดงล้อมรอบอยู่ 2-3 รอบ เรียกว่า load coil ภายใน coil มีการผ่านนำเข้าสู่ coil นี้ถูกต่อเข้ากับเครื่องส่งความถี่วิทยุ (RF Generator) ซึ่งผลิตพลังงานจากคลื่นความถี่วิทยุ 2 kW ที่ 40 MHz เมื่อต่อ RF Power ปล่อยเข้าไปใน coil จะทำให้เกิดสนามแม่เหล็ก (H) ที่บริเวณ Torch ทำให้เกิดการซักนำให้มีกระแสไฟหล่อผ่านตัวนำ แล้วทำให้ตัวนำมีความร้อนขึ้น พลาสม่าของอาร์กอนที่ผ่านเข้าไปในหลอดชั้นกลางจะถูกสนามแม่เหล็กซ่อนเรื่งให้อิเล็กตรอนเคลื่อนที่เร็วขึ้นประกอบกับมีหลอดทองแดงทำหน้าที่เป็นขดลวด ทำให้อิเล็กตรอนมีพลังงานเพิ่มขึ้น เรียกว่าเกิด “Inductive Coupling” อิเล็กตรอนที่มีพลังงานสูงนี้จะชนกับอะตอมของก๊าซอาร์กอนต่อไป ทำให้เกิดอิเล็กตรอนเพิ่มมากขึ้นเป็นถูก荷子กลายเป็นพลาสม่า จึงเรียกว่า “Inductively Coupled Plasma” การปล่อยประจุจากพลาสมานี้จะให้ความร้อนที่อุณหภูมิประมาณ 6,000-10,000 K ที่ปลาย Torch ให้พลาสม่าสีขาว และเนื่องจากบริเวณปลาย Torch มีอุณหภูมิสูงมาก จึงต้องผ่านก๊าซอาร์กอนเข้าไปทางหลอดชั้นนอก เพื่อทำหน้าที่เป็น Cooling Gas และช่วยทำให้พลาสมាយู่ย่างเสถียร สารละลายที่จะทำการวิเคราะห์ จะถูกส่งเข้าเครื่อง โดยสารละลายจะถูกเปลี่ยนให้เป็นละอองฟอย (Aerosol) โดยกระบวนการ Nebulization และสารละลายตัวอย่างที่เป็นละอองนี้ จะถูกพาเข้าพลาสม่า ใน ICP Torch ซึ่งจะทำให้ตัวอย่างกล้ายเป็นอะตอมหรือไออ่อน และถูกกระตุ้น (Excited) เมื่ออะตอมของตัวอย่างกลับสู่สถานะพื้น จะคายแสงซึ่งมีลักษณะเฉพาะของมัน แสงที่เกิดขึ้นนี้จะผ่านเข้าไปในส่วนของเครื่อง Spectrometer การทำงานของเครื่องตลอดจนการบันทึกข้อมูลจะถูกควบคุมด้วยเครื่องคอมพิวเตอร์ ดังภาพที่ 3

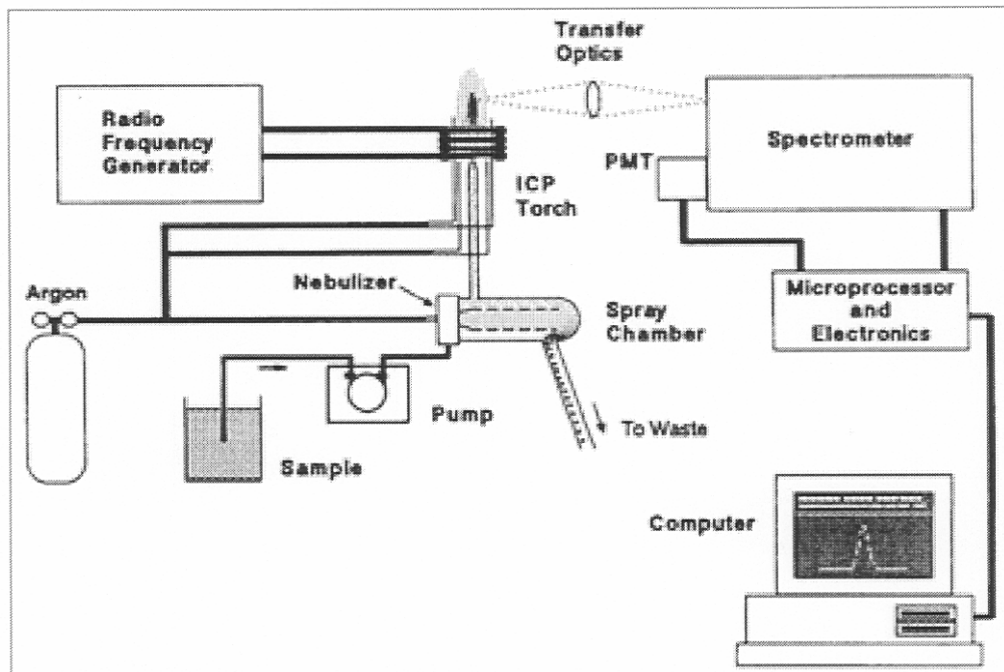


ภาพที่ 2 ภาพตัดขวางของ ICP Torch

1.6.3 องค์ประกอบต่างๆของเครื่อง ICP-OES

องค์ประกอบที่สำคัญมีดังนี้

1. Nebulizer, Spray Chamber และก้าซาร์กอน
2. ICP Torch
3. Radio Frequency Generator
4. Spectrometer
5. Microprocessor และ Computer



ภาพที่ 3 องค์ประกอบที่สำคัญของเครื่อง ICP-OES

Nebulizer

เป็นอุปกรณ์ที่ใช้สำหรับเปลี่ยนสารละลายตัวอย่างให้เป็นละออง (Aerosol) เพื่อให้เข้าสู่พลาสม่า กระบวนการนี้นับว่าเป็นส่วนที่สำคัญมาก เพราะจะต้องให้ได้ผลที่มีความแม่นยำและคงที่การเปลี่ยนสารละลายตัวอย่างให้เป็นละอองที่นิยมใช้กันใน ICP นั้น มีอยู่ 2 แบบเท่านั้น คือ ใช้ Pneumatic Force และ Ultrasonic Mechanical Force ส่วนมากเครื่อง ICP ที่สร้างในปัจจุบันมักจะเป็น Pneumatic Type ซึ่งคล้าย ๆ กับ Nebulizer ในเครื่อง AAS โดยสามารถปรับอัตราการไหลของสารละลายได้

ICP Torch

คบ (Torch) ที่ใช้ในเครื่อง ICP เป็นคบที่มี 3 ชั้น สำหรับให้แก๊สอาร์กอน และละอองสารตัวอย่างผ่านเข้าไป ระยะระหว่างหลอดคาวอร์ตซ์ 2 ชั้นนокจะแคบ เพื่อให้แก๊สอาร์กอนที่ผ่านไปมีความเร็วสูง หลอดข้างนอกจะต้องมีการผ่านแก๊สอาร์กอนเข้าไปทางด้านข้าง โดยให้แก๊สหมุนจากด้านล่างขึ้นสู่ด้านบน ซึ่งใช้สำหรับทำให้คบเย็น เรียกว่า "Coolant Flow" หรือ "Plasma Flow" สำหรับ Ar-ICP จะให้แก๊สไหลดีบอัตราเร็ว 7 - 15 ลิตร/นาที สำหรับหลอดชั้นกลางซึ่งอยู่ระหว่าง

Plasma Flow และ Sample Flow นั้น จะมีการผ่านแก๊สอาร์กอนเข้าไปเพื่อช่วยทำให้พลาสม่าแยกออกจากส่วนที่จะดึงสารตัวอย่างจะผ่านเข้าไป ซึ่งจะทำให้ลดลงของสารตัวอย่างเข้าไปในพลาสม่าได้ดีขึ้น ตามปกติจะใช้อัตราการไหลของแก๊สที่ส่วนนี้ประมาณ 1 ลิตร/นาที สำหรับลดลงของสารตัวอย่างจะถูกพาเข้าไปในพลาสมาทางท่อตรงกลางเรียกว่า Injector ซึ่งมีเส้นผ่านศูนย์กลางเล็ก ๆ ความเร็วของแก๊สตรงส่วนนี้ประมาณ 1 ลิตร/นาที เรียกว่า Sample Flow หรือ Nebulizer Flow

Radio Frequency Generators

เครื่องส่งความถี่วิทยุ (Radio Frequency, RF) เป็นอุปกรณ์ที่ให้กำลังและช่วยทำให้ Plasma Discharge เกิดขึ้นติดต่อกันตลอดเวลา กำลังที่ให้มีค่าประมาณ 600 – 1,800 วัตต์ โดยส่งผ่าน Load Coil ที่พันอยู่รอบคนไปยังพลาสม่า Load Coil จะทำหน้าที่เป็นสายอากาศเพื่อส่ง RF Power ไปยังพลาสม่า โดย Load Coil จะทำด้วยทองแดงเล็ก ๆ เมื่อใช้งาน ท่อทองแดงนี้จะต้องมีนำร่องแก๊สไหลผ่านเพื่อทำให้เกิดความเย็น เครื่องส่ง RF ที่ใช้ใน ICP นั้น ส่วนมากจะใชอยู่ในช่วงความถี่ 27 – 56 MHz

Spectrometer

เครื่อง Spectrometer ประกอบด้วยส่วนต่าง ๆ หลายอย่างด้วยกัน เช่น ช่องแสงเข้าออก, เกรตติ้ง หรือโมโนโคลามาเตอร์ และดีเทกเตอร์ ซึ่งมีลักษณะเช่นเดียวกันกับเครื่อง UV-Vis Spectrophotometer

1.6.4 การเตรียมตัวอย่าง

ICP-OES จะสามารถตรวจสอบได้เพียงตัวอย่างที่เป็นของเหลวเท่านั้น ดังนั้น หากตัวอย่างเป็นของแข็งจำเป็นจะต้องนำไปละลายก่อน จากนั้นเมื่อนำตัวอย่างเข้าสู่การวิเคราะห์โดยเครื่อง ICP ตัวอย่างสารละลายจะถูกเปลี่ยนสภาพเป็นละของของเหลว (aerosol) โดย Nebuliser ซึ่งลดลงขนาดใหญ่จนถูกแยกออกจากกระองขนาดเล็กใน spray-chamber โดยที่กระองขนาดเล็ก (ประมาณ 1-10 ไมครอน) จะถูกเคลื่อนย้ายโดยกําชาร์กอนและไหหลวเย็นเข้าสู่จุดกลางของ ICP-OES (เป็นอาร์กอนพลาสม่า) ส่วนกระองขนาดใหญ่กว่า 90% นั้น จะถูกปั๊มออกไปเป็นของเสีย

1.6.5 การวิเคราะห์เข้ม่าปืนด้วยเทคนิค ICP-OES

ภายหลังจากการยิงปืน จะเกิดการเผาไหม้ของชั้นวนท้ายกระสุนปืน และเกิดการควบแน่นรวมตัวของไอชาตุต่างๆที่เย็นตัวลงอย่างรวดเร็ว การคูองค์ประกอบของชาตุที่อยู่ในเขม่าปืนนี้ จึงเป็นสิ่งสำคัญที่ใช้ในการสรุปว่า อนุภาคที่วิเคราะห์อยู่นั้นเป็นอนุภาคที่เกิดจากการยิงปืนมาหรือไม่ ดังนั้น รูปแบบจำเพาะที่เป็นเอกลักษณ์ของอนุภาค GSR โดยทั่วไปในแก๊ปปืนจะมีชาตุโลหะต่าง ๆ หลายชนิดเป็นองค์ประกอบซึ่งสามารถแบ่งออกได้เป็น 2 กลุ่ม คือ

1. ประเภทที่แน่นอน (Unique Categories) ถ้าตรวจพบพร้อมกัน บอกได้แน่นอนว่า เป็นเขม่าที่มาจากการยิงปืน เมื่อตรวจพบว่าอนุภาคมีชาตุโลหะ Pb, Ba และ Sb เป็นองค์ประกอบ

2. ประเภทบ่งชี้ (Indicative Categories) ถ้าตรวจพบว่ามีชาตุเหล่านี้น่าเชื่อว่า เป็นอนุภาคของทราบเขม่าที่มาจากการยิงปืน ได้แก่

2.1 อนุภาคที่ประกอบด้วย Ba, Ca และ Si ที่ปราศจาก S หรือมี S ในปริมาณน้อย

2.2 อนุภาคที่ประกอบด้วย Pb และ Sb

2.3 อนุภาคที่ประกอบด้วย Pb และ Ba

2.4 อนุภาคที่ประกอบด้วย Sb และ Ba

2.5 อนุภาคที่ประกอบด้วย Sb อย่างเดียวหรืออาจมี S เป็นองค์ประกอบด้วย

2.6 อนุภาคที่ประกอบด้วย Pb อย่างเดียว

2.7 อนุภาคที่ประกอบด้วย Ba อย่างเดียว และไม่มี S เป็นองค์ประกอบ

โดยที่อนุภาค GSR ทั้ง 2 ประเภทอาจมีชาตุโลหะรองชนิดอื่นเป็นส่วนประกอบอยู่ด้วย ซึ่งชาตุโลหะรองเหล่านี้ ได้แก่ Si, Ca, Al, Cu, Fe, S, P, Ni, K, Cl และ Zn (Schwoeble, et al., 2000)

ในงานวิจัยนี้จะใช้เครื่อง ICP-OES สำหรับวิเคราะห์หาปริมาณเขม่าปืน ซึ่งประกอบด้วยชาตุเบรี่ยม (Ba), แอนติโมนี (Sb) และตะกั่ว (Pb) ที่เกิดขึ้นภายหลังจากการยิงปืน โดยถ้าตรวจพบชาตุทั้ง 3 ชนิด ดังกล่าวพร้อมกันจะสามารถบ่งบอกได้แน่นอนว่าเป็นเขม่าที่มาจากการยิงปืน ซึ่งเกณฑ์ปริมาณอนุภาค GSR ที่ใช้การตัดสินว่าบุคคลเกี่ยวข้องกับการยิงปืนหรือไม่ คือ ชาตุเบรี่ยม (Ba) 200 ppb, ชาตุตะกั่ว (Pb) 200 ppb และ แอนติโมนี (Sb) 20 ppb

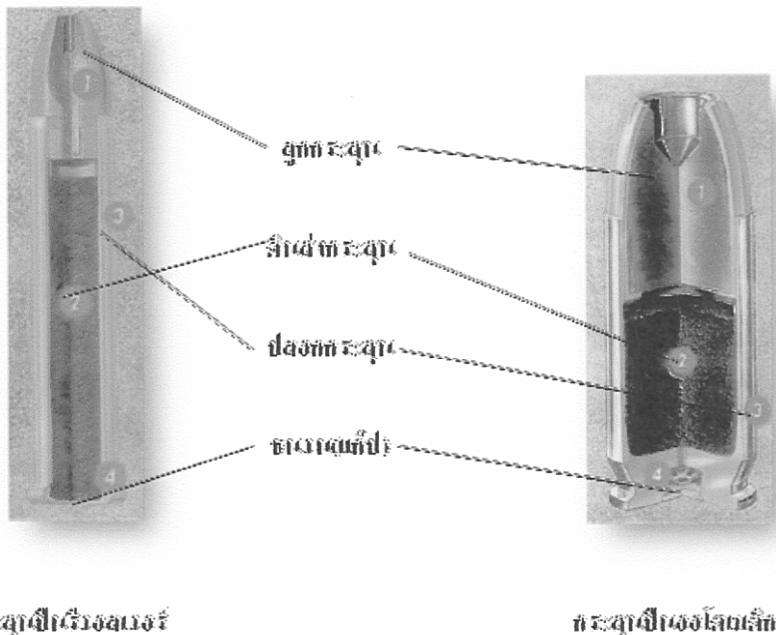


ภาพที่ 4 เครื่อง Inductively Coupled Plasma Spectrometer (ICPS) Varian Liberty 220

1.7 กระสุนปืนและอนุภาคเขม่าปืน (GSR Particle)

กระสุนปืนโดยทั่วไปมีส่วนประกอบที่สำคัญ 4 ส่วน คือ

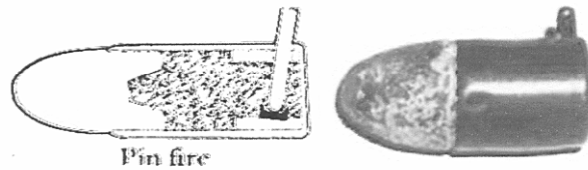
- 1) ลูกกระสุนปืน หรือ หัวกระสุนปืน (Bullet)
- 2) ปลอกกระสุนปืน (Cartridge Case)
- 3) ดินส่งกระสุนปืน (Powder)
- 4) แคป (Primer Cap)



กระสุนปืนที่ผลิตและจำหน่ายมี 3 แบบ คือ

1) Pin Fire Cartridge

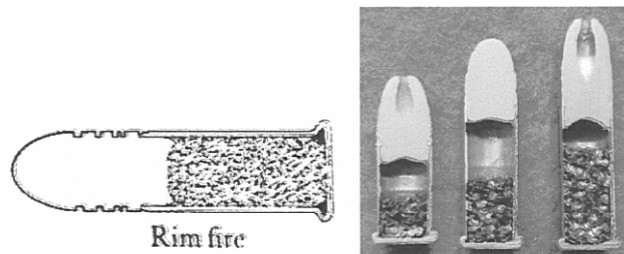
เป็นกระสุนแบบแรกที่สร้างขึ้น โดยช่างทำปืนชาวเมืองปารีสชื่อ E.Lefacheux ในปี ค.ศ. 1835 และผลิตออกจำหน่ายในปี ค.ศ. 1836 โดยมีทั้งกระสุนไรเฟล กระสุนปืนพก และกระสุนปืนลูกซอง ในตอนแรกปลอกกระสุนปืนทุกชนิดทำด้วยกระดาษ ส่วนหัวเป็นทองเหลือง และมีเข็มโลหะอยู่ในด้านข้างปลอกกระสุนปืน ปลายเข็มอีกด้านหนึ่งฝังอยู่ภายในปลอกกระสุนปืน โดยว่างอยู่บนแก๊ป (Primer Cap) ซึ่งบรรจุอยู่ในถ้วยโลหะ อาจรูปเป็นที่ใช้กระสุนแบบนี้ทันก่อนจะไม่มีเข็มแหงชวน เวลาจิงนกปืนจะกระแทกลงบนเข็มที่ใช้กระสุนปืน และปลายเข็มอีกด้านหนึ่งก็จะกระแทกกับแก๊ป เกิดระเบิดขึ้นประกายไฟก็จะไปเผาไหมดินปืนต่อไป กระสุนปืนแบบ Pin Fire มีอายุการใช้งานไม่นานนัก ก็ถูกแทนที่ด้วยกระสุนปืนแบบใหม่ คือ Rim Fire



ภาพที่ 6 ตัวอย่างกระสุนแบบ Pin Fire Cartridge

2) Rimmed Fire Cartridge

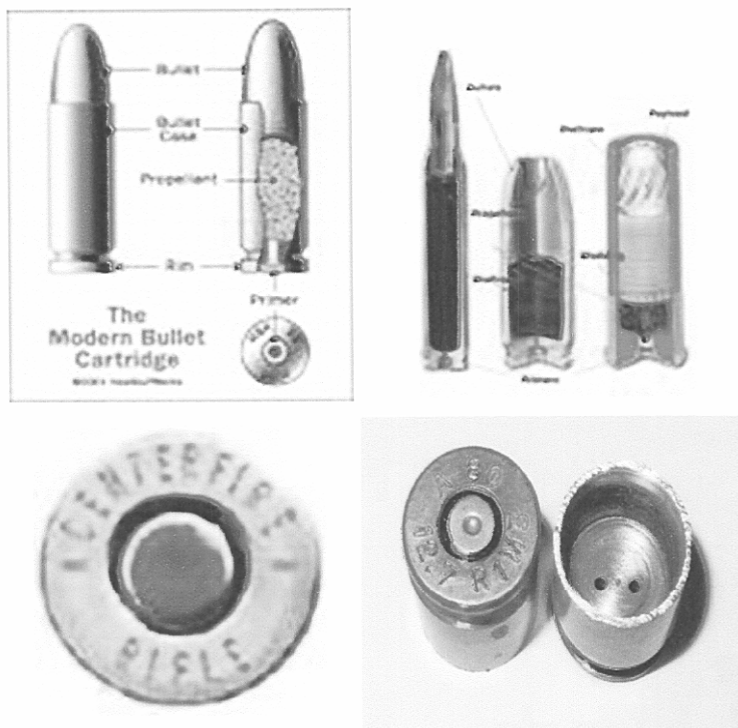
เป็นกระสุนปืนที่ทำให้มีชานวนท้ายกระสุนปืนอยู่บริเวณขอบฐานท้ายกระสุนปืน โดยกระสุนปืนชนิดนี้จะลั่นได้ก็ต่อเมื่อเจ้มแหงชานวนแหงไปที่บริเวณรอบขอบฐานท้ายกระสุนปืน เท่านั้น จะเห็นได้ทั่วไปในกระสุนปืนลูกกรด ขนาด .22 ซึ่งใช้ Picrate จาก Picric Acid ในการทำชานวน เหตุที่กระสุนปืนลูกกรด ขนาด .22 ทำแบบชานวนริม เนื่องจากกระสุนปืนมีขนาดเล็ก การจะทำแบบชานวนกลาง (Center Fire) ทำให้ยากและมีต้นทุนสูง



ภาพที่ 7 ตัวอย่างกระสุนแบบ Rimmed Fire Cartridge

3) Center fire Cartridge

เป็นกระสุนปืนที่เจ้มแหงชานวนจะต้องแหงให้ถูกตรงกลางของฐานท้ายกระสุนปืนจึงลั่นได้ มิใช้กันมาตั้งแต่ปี ค.ศ.1861 แต่กว่าจะมีคุณภาพเหมือนกับที่ใช้กันอยู่ในปัจจุบันนี้ ก็ได้มีการปรับปรุงแก้ไขอย่างมากน้อย ตั้งแต่วัสดุที่ใช้ทำปลอกกระสุนปืน, คินปืน, ลูกกระสุนปืน, Primer Cap และ Priming Mixture



ภาพที่ 8 ตัวอย่างกระสุนแบบ Center fire Cartridge

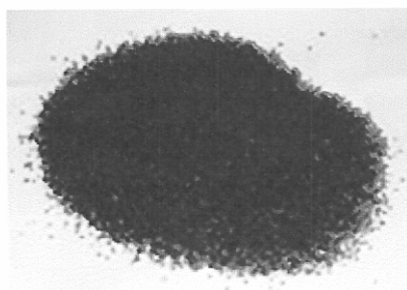
เมื่อกระสุนเป็น Rim Fire และ Center Fire ถูกสร้างขึ้นมา ก็นับเป็นจุดเริ่มของการพัฒนาอาวุธปืนสมัยใหม่ขึ้นมา ทำให้มีปืนแบบที่สามารถยิงช้าได้ เช่น แบบ Lever Action , Pump Action, Semi-Automatic และปืนกลแบบต่าง ๆ ขึ้น ทำให้อาวุธปืนได้รับการพัฒนาทั้งทางด้านคุณภาพและประสิทธิภาพขึ้นอย่างมาก many

ดินปืน (Gun Powder)

ดินปืน หรือดินส่งกระสุนปืน เป็นของแข็งซึ่งเมื่อเกิดการลุกไหม้จะให้แก๊สปริมาณมากในช่วงเวลาอันสั้น การลุกไหม้จะเกิดจากประกายไฟ หรือเปลวไฟที่ได้มาจากการระเบิดของแก๊บ หรือ โคไซดิ์อื่น ๆ ได้ ความรวดเร็วในการเผาไหม้ของดินปืนเป็นสิ่งสำคัญ หากเกิดการเผาไหม้เร็วเกินไปแก๊สที่เกิดขึ้นก็เกิดอย่างรวดเร็วมาก มีความดันสูงเกินกว่าที่ลูกกระสุนปืนจะวิ่งออกหากลักษณะปืนได้ทัน กลักษณะปืนก็จะเกิดระเบิด ในทางตรงกันข้ามถ้าการเผาไหม้ช้าไป แก๊สที่เกิดจะมีน้อยทำให้แรงขับดันลูกกระสุนปืนน้อยตามลงไปด้วยก็จะทำให้วิถีกระสุนปืนไม่ดีหรือบางครั้งลูกกระสุนปืนอาจจะตกแค่ปากกระบอกปืนก็ได้

ชนิดของดินปืนในปัจจุบัน มี 3 ชนิด

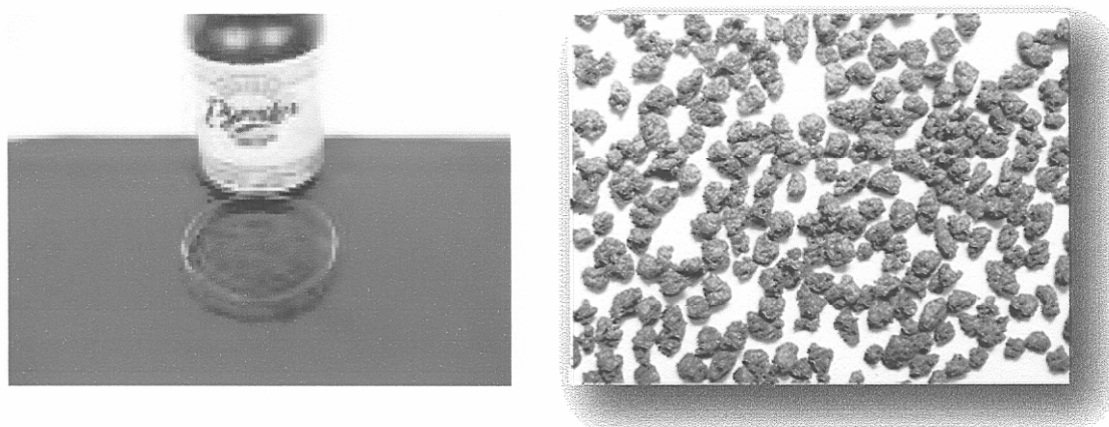
1) **Black Powder (ดินดำ)** เป็นดินปืนชนิดแรกที่ชาวยุโรปนำไปพบริ่่าด้วยในขณะนั้นชาวจีนใช้ดินสำหรับทำประทัดและพลุเพื่อจุดในการรื้นเริงต่าง ๆ โดยส่วนประกอบของดินดำ ประกอบด้วย ดินประสิว(Potassium Nitrate), ถ่านไม้(Charcoal) และกำมะถัน(Sulphur) ซึ่งแต่เริ่มแรกนั้น อัตราส่วนผสมของสาร 3 ชนิดนี้มีด้วยกันหลายแบบ แต่อัตราส่วนมาตรฐานของดินดำ ในปัจจุบันที่ถือว่าเป็นอัตราส่วนโดยน้ำหนักที่ให้แรงระเบิดสูงสุด คือ ดินประสิว 75 %, ถ่านไม้ 15 % และกำมะถัน 10 % ดินดำมีความไวต่อประกายไฟที่ 500 °F และยังคงมีใช้งานในปัจจุบัน



ภาพที่ 9 ดินดำ

2) **Pyrodex (ดินดำแบบใหม่)** ดินปืนชนิดนี้มีส่วนผสมหลักเหมือนกับดินดำ คือ มีดินประสิว ถ่านไม้ และกำมะถัน แต่มีอัตราส่วนของดินดำที่แตกต่างกัน นอกจากนี้ยังมีส่วนผสมอื่นเข้ามาอีก คือ Potassiumperchlorate, Sodiumbensoate, Dicyandiamide (1-Cyanoguanidine) และยังมี Dextrine, Wax และ Graphite จำนวนเล็กน้อยผสมอยู่ Pyrodex ที่ยังไม่ใช้ยิงจะเห็นความแตกต่างจากดินดำอย่างชัดเจน เพราะ Pyrodex เป็นเม็ดสีเทา และมีบางส่วนโปร่งแสง นอกจากนี้ยังมีคุณสมบัติติดไฟมากกว่าดินดำ เนื่องจากมีจุดติดไฟที่ 750 °F

สำหรับ Pyrodex ที่ยิงแล้ว สามารถตรวจหาสารประกอบที่นอกเหนือจากดินดำ ได้โดยวิธี เช่น High Performance Liquid Chromatography, Energy Dispersive Elemental Analysis และ/หรือ FTIR (Infared Spectroscopy) เป็นต้น



ภาพที่ 10 ดินดำแบบใหม่

3) **Smokeless Powder** (ดินควันน้อย) การพัฒนาดินควันน้อยขึ้น เกิดขึ้นในปี 1845 โดย Christian Schoenbein ชาวสวิตเซอร์แลนด์ เป็นผู้ค้นพบ Guncotton, Nitroglycerine และ Dynamite ได้สำเร็จในปี 1846 Alfred Nobel ชาวสวีเดน ได้คิดค้น Dynamite แห่งที่ 3 นี้เป็นวัตถุระเบิดไม่สามารถนำมาใช้เป็นดินปืนได้ ทำให้มีการศึกษาหารือวิธีการทำดินปืนแบบใหม่ขึ้นมา เพื่อให้มีประสิทธิภาพสูงกว่าดินดำ และสามารถควบคุมอัตราการเผาไหม้ได้ ซึ่งมีผู้ค้นพบดินควันน้อยอยู่หลายคนด้วยกัน

ในปี ค.ศ. 1869 E.Schultz ชาวปรัสเซีย เป็นคนแรกที่คิดค้นได้ โดยการทำไม้ไฟเป็นสารประกอบ Nitrate แล้วผสมกับ Barium Nitrate และ Potassium Nitrate ดินปืนแบบนี้ใช้ได้กับกระสุนปืนลูกซอง แต่บังคับเพาไหม้เร็วเกินไปสำหรับกระสุนปืนแบบอื่น ๆ

ในปี ค.ศ. 1870 Frederich Volkmann ชาวออสเตรีย ได้จดลิขสิทธิ์ดินปืนที่เข้าคันพนโดยให้ชื่อว่า Collodin โดยใช้ไม้ Alder ป่นละเอียดแทนไม้ทั่วๆ ไป

ในปี ค.ศ. 1884 Vieile ชาวฝรั่งเศสและ Duttenhofer ชาวเยอรมัน ได้ละลาย Nitrocellulose ใน Alcohol หรือ Ether หรือสารละลายตัวอื่น ๆ ทำให้ได้ Plastic Gelatin ที่สามารถทำให้เป็นแผ่นและตากแห้ง แล้วหันเป็นชิ้นเล็ก ๆ ใช้เป็นดินปืนได้

ต่อมาในปี ค.ศ. 1887 Alfred Nobel ที่ได้ทำดินควันน้อยโดยใช้ Guncotton ละลายใน Nitroglycerine ได้สารประกอบคลอโลยด์มีชื่อว่า Ballistite ซึ่งมีส่วนประกอบของ Nitrocellulose 60 % และ Nitroglycerine 40 % และสามารถทำเป็นแผ่นหรือหลอดได้

และในปี ค.ศ. 1890 ดินควันน้อยก็ได้ถูกนำมาใช้เป็นดินปืนแทนดินดำ เนื่องจากดินควันน้อยให้แรงระเบิดสูงกว่าดินดำมากในปริมาณเท่ากัน และเมื่อใช้ยิงแล้วมีเสียงร้าวหือกวนน้อยมากเมื่อ

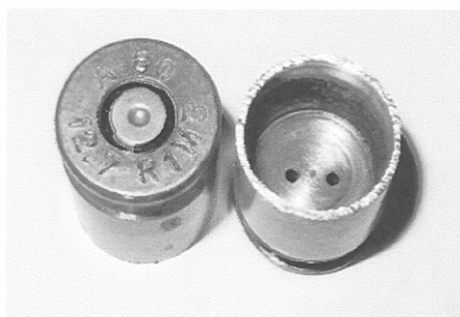
เที่ยบกับดินดำ อีกทั้งยังต่อการควบคุมการจุดระเบิด แต่ข้อเสียคือ มีราคาแพงกว่าดินดำมาก และยังมีปัจจัยทางเคมีที่เกี่ยวกับความปลอดภัยในการใช้ปืนในสมัยนี้ ซึ่งสร้างจากเหล็กที่ทนแรงดันได้ไม่สูงนัก

ดินควันน้อยในปัจจุบันทำจากการนำเอา Cotton หรือ Cellulose Fiber อย่างอื่นทำปฏิกิริยาเคมีกับกรด Nitric และกรด Sulfuric เข้มข้น ได้สารประกอบที่มีชื่อว่า Nitrocellulose หรือ Cellulose Nitrate ดินควันน้อยที่ทำจากสารประกอบ Nitrocellulose เพียงอย่างเดียวเรียกว่า Single Base แต่ถ้าต้องการแบบที่มีแรงระเบิดสูงขึ้นใช้ Nitroglycerine ผสมเข้ากับ Nitrocellulose ในอัตราส่วนต่าง ๆ กัน แล้วแต่ว่าต้องการความเร็วในการเผาไหม้มากน้อยเพียงใด แบบนี้มีชื่อว่า Double Base การควบคุมอัตราการจุดระเบิดดินควันน้อย ทำให้ดินควันน้อยมีรูปร่างต่าง ๆ กัน เช่น ทำให้เป็นฝอย (Flake), เป็นแผ่น (Disc), เป็นแท่ง (Tabular) หรือเป็นเม็ดกลม (Ball) เป็นต้น นอกจากนี้ยังเคลือบสารเคมีบางอย่างกีสามารถทำให้อัตราเร็วในการเผาไหม้แตกต่างกัน

แก๊ป (Primer cap) หรือชิวนหัวยกระดับปืน

แก๊ป (Primer cap) หรือชิวนหัวยกระดับปืนอยู่บริเวณฐานหัวปลอกกระสุนปืนนับเป็นหัวใจของกระสุนปืนในปัจจุบัน ซึ่งกระสุนปืนแบบ Center Fire ยกเว้นในกระสุนปืนลูก祚จะมี Primer Cap อยู่ 2 แบบ คือ

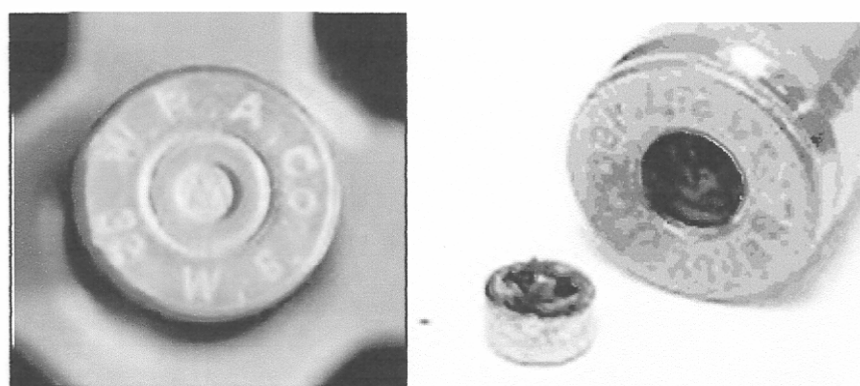
1. Standard ใช้กับกระสุนปืนพกขนาดเล็กทั่ว ๆ ไป Primer Cap มีเส้นผ่าศูนย์กลาง 0.175 นิ้ว
2. Magnum ใช้กับกระสุนปืนพกขนาดใหญ่ทั่ว ๆ ไป Primer Cap มีขนาดเส้นผ่าศูนย์กลาง 0.210 นิ้ว



ภาพที่ 11 แก๊ปปืน หรือชิวนหัวยกระดับปืน (Primer cap)

Primer Cap มีส่วนประกอบสำคัญอยู่ 3 ส่วน คือ

1. Primer Cup ทำด้วยโลหะทองแดง, ทองเหลือง หรือทองเหลืองชุบニเกิล ทำหน้าที่เป็นตัวบรรจุ Priming Mixture
2. Priming Mixture เป็นวัตถุระเบิดประเภทกราฟท์แบบแตก ทำหน้าที่เป็นตัวให้ประกายไฟจุดดินปืน
3. Anvil เป็นโลหะแข็ง ทำหน้าที่เป็นตัวรับการกระแทกของเข็มแทงชานวน ทำให้ Priming Mixture ที่อยู่ระหว่างกลางเกิดการระเบิดขึ้น



ภาพที่ 12 ส่วนประกอบภายในแก๊ปปืน (Primer cap)

ที่มาของรายนามปืนที่เกิดจากการยิงปืน (GSR)

เมื่อมีการลั่นไกปืนเกิดขึ้น เข็มแทงชานวนจะไปกระทบที่ชานวนท้ายกระสุนปืน (Primer Cap) ซึ่งจะทำให้แก๊ปปืนที่อยู่ตรงชานวนท้ายกระสุนปืนนั้น เกิดการฉุดชนวนเป็นประกายไฟแล้วไปเผาไหม้ให้ดินส่งกระสุนปืนซึ่งเป็นดินควันอ้อย (Smokeless Powder) ที่บรรจุอยู่ภายในปลอกกระสุนปืน เกิดการฉุกไหม้และให้แก๊สปริมาณมากอย่างรวดเร็วในเวลาอันสั้น แก๊สที่เกิดขึ้นนี้จะขยายตัวทำให้เกิดความดันสูง หรือที่เรียกว่าการฉุดระเบิด ทำให้กระสุนปืนสามารถวิ่งออกไปจากปลอกลำกล้องปืนเพื่อกระทบเป้าได้ นอกจากนี้ แรงระเบิดที่เกิดขึ้นจะผลักดันให้ไอนุภาคของสารต่าง ๆ ที่ถูกความร้อนเผาไหม้หนึ่น กระจายจากปากกระบอกปืนและบริเวณช่องว่างต่าง ๆ ของอาวุธปืน ออกมามากถึงสองเท่า ซึ่งไอนุภาคเหล่านี้เมื่อออกมาน้ำสูบบริเวณภายนอกที่มีความร้อนน้อยกว่าก็จะความแน่นลงมา แล้วปลิวไปเกาะติดอยู่ที่บริเวณมือ เสื้อผ้า และพื้นผิวน้ำ ๆ ที่อยู่บริเวณใกล้เคียง ซึ่งปริมาณของอนุภาคที่จะปลิวนานา gerade น้ำ ซึ่งอยู่กับปัจจัยหลักสำคัญหลายอย่าง เช่น ชนิด ขนาด และลักษณะรูปแบบของอาวุธปืนและกระสุนปืนที่ใช้ หรือสภาพพื้นที่ในขณะยิงปืน เช่น อุบัติเหตุ

ภายในสิ่งแวดล้อมปีด หรือสิ่งแวดล้อมเปิด ก็จะทำให้ทิศทางการพุ่งกระจายของไอนุภาคมีความแตกต่างกันด้วยเป็นต้น

ในขณะยิงปืนนั้น เบม่าที่เกิดขึ้นจากการเผาไหม้ของชานวนท้ายกระสุนปืน (Primer Cap) จะก่อให้ เกิดอนุภาคที่ประกอบด้วย ตะกั่ว (Pb), แบปรีม (Ba) และแอนติโมนี (Sb) ในปริมาณที่แตกต่างกันไป นอกจากอนุภาคเหล่านี้แล้ว ก็ยังมีอนุภาคอื่น ๆ อีกหลายชนิดที่เป็นส่วนผสมอยู่ภายในกระสุนปืนด้วย โดยปกติแล้วขนาดของอนุภาคเหล่านี้ จะมีขนาดเล็กมากในระดับไม่ถึงไมครอน จนถึงกว่า 100 ไมครอน

ที่ชานวนท้ายของกระสุนปืน (Primer Cap) จะมีส่วนผสมของสารประกอบเคมีหลัก สำคัญอยู่ 3 ส่วน ที่มีบทบาทสำคัญในการศึกษาและการวิเคราะห์ในเรื่องทราบเบม่าที่มาจากการยิงปืนด้วยกัน ได้แก่

1. Initiator เป็นเชื้อปะทุ มีคุณสมบัติคือ เป็นสารประกอบเคมีที่สามารถระเบิดได้เอง โดยไม่ต้องใช้ไฟจุด เป็นตัวเริ่มกระบวนการเมื่อเข้มแท่งชานวนกระหบแก็ป Initiator ที่ใช้กันมากในปัจจุบัน คือ Lead Styphnate ($PbO_2C_6H(NO_2)_3$)
2. Oxidizer เป็นตัวให้ออกซิเจนเพื่อช่วยในการเผาไหม้ของ Fuel นิยมทำด้วย Barium Nitrate ($Ba(NO_3)_2$)
3. Fuel เป็นตัวทำให้เกิดเปลวไฟเพียงพอที่จะจุดดินปืนต่อไป นิยมใช้ Antimony Sulfide (Sb_2S_3)

ซึ่งเชื้อปะทุที่ใช้กันมาในอดีต ได้แก่ Mercury Fulminate ($Hg(CNO)_2$), Stibnite (Sb_2S_3), Potassium Chlorate ($KClO_3$) และผงแก้ว (Powder Glass) แต่หลังจากสังคมโลกครั้งที่สองเป็นต้นมาจนถึงปัจจุบันมักจะใช้ Lead Styphnate ($PbO_2C_6H(NO_2)_3$), Stibnite (Sb_2S_3), Barium Nitrate ($Ba(NO_3)_2$) และ Tetracene ($C_{18}H_{12}$) โดยแต่ละบริษัทผู้ผลิตจะมีองค์ประกอบของสารคังกลามๆแตกต่างกันออกไป

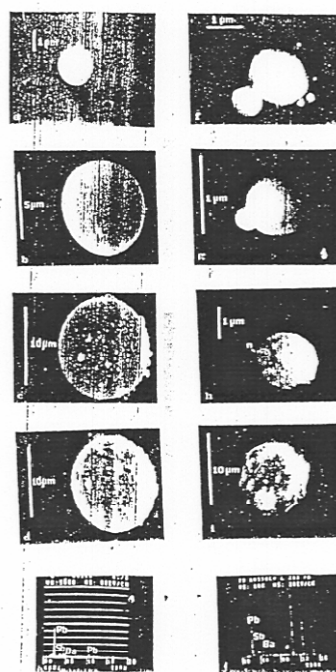
การเกิดอนุภาค GSR

เมื่อเข้มแท่งชานวนกระหบที่ชานวนท้ายกระสุนปืน (Primer Cap) จะทำให้เกิดการระเบิดและเผาไหม้ขึ้นอย่างรวดเร็ว ในขณะนั้นจะเกิดการเปลี่ยนแปลงทั้งอุณหภูมิและความดันสูงขึ้นเป็นอย่างมาก โดยภายในเวลา 1 millisecond อุณหภูมิจะสูงขึ้นเป็น $3,600^{\circ}\text{C}$ และความดันเปลี่ยนเป็น 40,000 psi ซึ่งที่สภาวะนี้ จะมีอุณหภูมิสูงขึ้นกว่าจุดเดือดของตะกั่ว แบปรีม และแอนติโมนี เนื่องจากตะกั่ว แบปรีม และแอนติโมนี มีจุดเดือดเพียง $1,620^{\circ}\text{C}$, $1,140^{\circ}\text{C}$ และ

1,380 °C ตามลำดับ ดังนั้นธาตุโลหะทั้งสาม จึงเปลี่ยนสถานะเป็นไอ แต่เนื่องจากมีการอิ่มตัวของไอธาตุเหล่านี้มากเกินไป จึงเกิดการควบแน่นกลับคืนมาเป็นหยดเล็ก ๆ โดยที่ผิวของมันยังมีลักษณะเป็นของเหลวอยู่ โดยเหตุการณ์นี้จะเกิดอยู่ในสภาวะสมดุลไดนามิกที่อุณหภูมิ 1,500 – 2,000 °C ความดัน 9,653 kpa (1,400 psi) และเมื่ออุณหภูมิลดลง หยดเล็ก ๆ เหล่านี้ก็จะแข็งตัวกลายเป็นครานเบน่าที่มาจากการยิงปืน

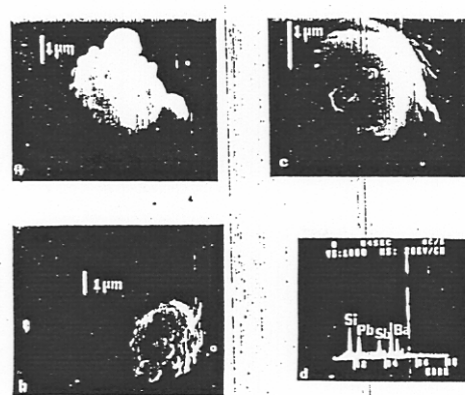
เนื่องจากอนุภาค GSR ที่เกิดจากการควบแน่นและรวมตัวของไอธาตุ Pb, Ba และ Sb นั้นจากการที่ไอธาตุได้เย็นตัวลงอย่างรวดเร็ว ภายหลังจากการเผาไหม้ของชั้วน้ำห้วยกระสุนปืน จึงทำให้รูปแบบหรือสัณฐานของอนุภาค GSR ที่เกิดขึ้นมีได้หลายแบบ โดย Basu ได้ทำการศึกษาสัณฐานของอนุภาค GSR และแบ่งออกเป็น 3 แบบ คือ

1. Regular Spheroids เป็นอนุภาคที่มีลักษณะเป็นทรงกลม และมีขนาดตั้งแต่ 1-10 ไมโครเมตร



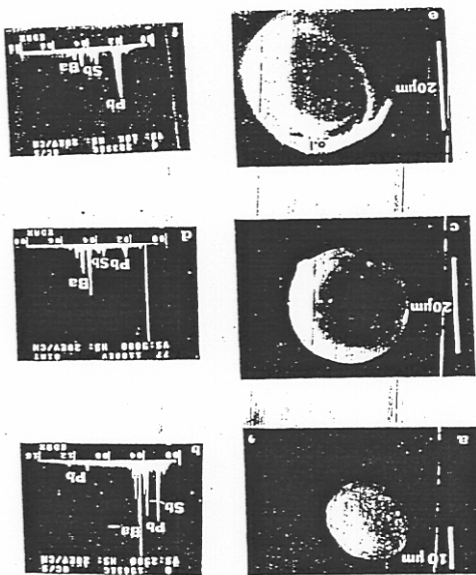
ภาพที่ 13 ลักษณะอนุภาค GSR แบบ Regular Spheroids

2. Irregular Particles หรือ Nodular Spheroids เป็นอนุภาคที่เกิดจากการรวมตัวของอนุภาคขนาดเล็กมาเกาะติดแน่นอยู่บนอนุภาคที่มีขนาดใหญ่กว่า ทำให้มีรูปลักษณะเป็นทรงกลมโดยที่บริเวณผิวทรงกลมมีปุ่มของอกซิมาร์ยาอย่างเห็นได้ชัด



ภาพที่ 14 ลักษณะอนุภาค GSR แบบ Irregular Particles

3. อนุภาคที่มีແບຣີມ ແລະ ແອນຕິໂມນີກ່ອດຕັບເປັນແກນຄາງ ໂດຍມີຕະກຳຫຸ້ມລ້ອມຮອບອູ່ກາຍນອກອນຸກາກ ຜຶ້ງເຮັດວ່າ “Peeled Orange” ເປັນຜຸດເນື່ອງມາຈາກເຮັດເບື້ນຕົວລອງຢ່າງຮຽວຮ່າງໃຫ້ແບຣີມແລະ ແອນຕິໂມນີແບ່ງຕັວໃນເວລາໄກລ໌ເຄີຍກັນ ເພຣະຕ່າງມີຈຸດເຍືອກແບ່ງທີ່ໄກລ໌ເຄີຍກັນ ຄືວ່າ 725 °C ແລະ 630.5 °C ຕາມຄໍາດັບ ສ່ວນຈຸດເຍືອກແບ່ງຂອງຕະກຳມີເພີຍ 327 °C ຈຶ່ງເກີດການແບ່ງຕັວຫ້າທີ່ສຸດ ເປັນແຫຼຸໄຫ້ອູ່ລ້ອມຮອບສອງຮາຕຸດັງກ່າວ



ภาพที่ 15 ลักษณะอนุภาค GSR แบบ Peeled Orange

1.8 งานวิจัยที่เกี่ยวข้อง

งานวิจัยที่เกี่ยวข้องกับการศึกษาการกระจายตัวของอนุภาคเขม่าดินปืนจากปืนที่ยิงในห้องปิดด้วยเทคนิค ICP-OES ผู้ศึกษาทบทวนและรวมรวมไว้ประกอบด้วย

Lubor Fojtasek, Jitka Vacinova, Pavel Kolar และ Marek Kotrlý [1] ทำการศึกษาการกระจายตัวของเขม่าดินปืนจาก pistol CZ 85 caliber 9 mm Luger โดยใช้เครื่อง SEM ตรวจสอบงานวิจัยนี้ออกแบบการทดลองหลากหลายรูปแบบ เพื่อศึกษาเกี่ยวกับการกระจายตัวของอนุภาคเขม่าปืน ใน 7 ทิศทางรอบๆจุดยิง โดยใช้ปืน CZ 85 ขนาด 9 mm ในการทดลอง และมีตัวแปรในการทดลอง ได้แก่ ในระบบปิด, ในระบบเปิด และชนิดของกระสุน จากผลการทดลอง พบว่าปริมาณอนุภาคเขม่าปืนที่พบรากที่สุด จะอยู่ที่ทางด้านขวาเป็นมุม 45°C และ 2-4 m จากจุดยิง โดยอนุภาคเขม่าปืนที่พบรากจะพบรากในระยะไม่เกิน 10 m จากจุดยิง และอิทธิพลของสภาพภูมิประเทศต่อการกระจายตัวของอนุภาคเขม่าปืนด้วยเช่นกัน

การทดลองดังกล่าว เพื่อทำการกระจายตัวของอนุภาค GSR ในฟังก์ชันของระยะทางสรุปได้ว่า

1. อนุภาค GSR สามารถถูกตรวจพบได้แม่กระยะถึง 10 เมตร ซึ่งมากกว่าก่อนหน้านี้ที่เคยถูกตรวจพบได้ที่ประมาณ 6 เมตรเท่านั้น
2. ปริมาณสูงสุดของอนุภาค GSR ไม่ได้พบรักลูกยิง แต่มีการกระจายตัวไปยังบริเวณใกล้เคียง และสามารถตรวจพบได้ภายใน 30 นาที

อย่างไรก็ตาม การศึกษาทางทิศทางการกระจายตัวของอนุภาค GSR ใน 7 ทิศทางที่แผ่ออกจากจุดศูนย์กลางยังไม่สามารถแยกความแตกต่างระหว่างผู้ยิงกับบุคคลอื่นได้อย่างชัดเจน เท่ากับการตรวจสอบที่มีอยู่ เพราะการตรวจสอบที่มีจะมีเอกลักษณ์ที่ชัดเจนมากกว่า แต่การตรวจสอบที่มีนั้น ขึ้นกับปัจจัยหลายอย่างเช่นจะได้ค่าที่ถูกต้อง ดังนั้นการตรวจหาทางทิศทางการกระจายตัวของอนุภาค GSR รอบๆจุดยิงร่วมด้วย ก็เป็นอีกทางเลือกหนึ่งที่จะช่วยยืนยันเหตุการณ์ที่เกิดขึ้นได้มากยิ่งขึ้น

Lubor Fojtasek และ Tomas Kmjec [2] ทำการศึกษาช่วงเวลาการคงอยู่ของอนุภาคเขม่าปืนภายหลังการยิงปืน หลังการยิงตัวของอาวุธปืนพกสั้น และอาวุธปืนเรือล่า โดยใช้อาวุธปืนพกสั้น ยี่ห้อ CZ รุ่น 85 ขนาด 9 มม. Luger กับกระสุนปืนขนาด 9 มม. Luger FMJ Sellier&Bellot, อาวุธปืนพกสั้น ยี่ห้อ CZ รุ่น 70 ขนาด 7.65 มม. Browning (.32 ACP) กับกระสุนปืนขนาด 7.65 มม. Browning FMJ Sellier&Bellot และอาวุธปืนเรือล่า ยี่ห้อ S&W รุ่น 60 ความยาว

ลำกล้อง 2-1/800 ขนาด .38 Special กับกระสุนปืนที่ห้อ Sellier&Bellot (FMJ) ผลของการศึกษาชี้ให้เห็นถึงพฤติกรรมของอนุภาคเม่าปืนที่ยังคงอยู่ภายหลังการยิงปืนหนึ่งนัด โดยอนุภาค GSR ที่ตกลงหลังการยิงปืน จากการทดลองนี้ถูกยืนยันว่าอนุภาคของ GSR จะยังคงอยู่ในอากาศเป็นช่วงเวลาหนึ่งภายหลังการยิงปืน ดังนั้นจึงถือว่ามีการปนเปื้อนของบุคคลซึ่งเข้ามาในสถานที่เกิดเหตุหลังการยิงปืนหลายๆ นาที ผลการทดลองแสดงให้เห็นว่าเมื่อใช้อาวุธปืนพกสั้นกึ่งอัตโนมัติ มีความเป็นไปได้ที่การปนเปื้อนยังคงอยู่นานประมาณ 8 นาทีภายหลังการยิงปืน และเมื่อใช้อาวุธปืนเรือล่าหรือเป็นไปได้ที่การปนเปื้อนจะเกิดยาวนานกว่า หากถึง 10 นาทีหลังการยิงปืน ชนิดของอาวุธปืน และกระสุนปืนที่ใช้มีผลต่อเวลาหลังยิงปืนซึ่งถือว่ามีผลต่อการปนเปื้อนที่ระยะเวลาหวานานกว่าหรือน้อยกว่า

Jorge E. Souza Sarkis, Osvaldo N. Neto, Sonia Viebig และ Steven F. Durrant. [3] ได้ทำการวิเคราะห์หาอนุภาคเม่าปืนที่มาจากการยิงปืนพก โดยเทคนิค SF-ICP-MS ด้วยปืนพกสั้นซึ่งเป็นที่นิยมใช้กันส่วนมากในประเทศบรasil คือ ปืนพกรีวอลเวอร์ขนาด .38 Special อย่างไรก็ตามไม่กี่ปีที่ผ่านมาเนื่องจากอาวุธประจำกายของตำรวจมีความทันสมัยขึ้น และการหาซื้อปืนมาครอบครองทั้งในตลาดที่ถูกกฎหมายและที่ผิดกฎหมายทำได้ง่ายขึ้น อาวุธปืนจึงกลายมาเป็นที่นิยมและได้มีการขันกุญผู้กระทำความผิดเกี่ยวกับอาวุธปืนได้ประมาณ 20% ในงานวิจัยก่อนหน้านี้ได้กล่าวถึงการเก็บตัวอย่างเม่าปืนโดยใช้สารละลาย EDTA ซึ่งเป็น complexing agent จากนั้นนำไปตรวจด้วยเทคนิค SF-HR-ICP-MS ในการศึกษาครั้งนี้ผู้วิจัยได้กล่าวถึงความสามารถของวิธีการที่จะตรวจพิสูจน์ธาตุโลหะ Sb, Ba, Pb บนมือของอาสาสมัครภายหลังการยิงด้วยปืนพกสั้นขนาด 9 ม.m. และ 0.40 นิ้ว กระสุนปืนที่ใช้ทดสอบคือขนาด 9 mm. (Taurus) และ clean range เทคนิกนี้ให้สภาพไวสูงเทคนิคนี้ก็คือ เทคนิค SF-HR-ICP-MS ซึ่งสามารถตรวจพิสูจน์ธาตุโลหะที่มาจากการยิงปืนที่มีความเข้มข้นต่ำ (น้อยกว่า 1 $\mu\text{g}/\text{L}$) นับเป็นวิธีที่มีประสิทธิภาพสูงในงานด้านนิติวิทยาศาสตร์ ยกตัวอย่างเช่น ธาตุแอนติโมนี เป็นธาตุที่พบได้ยากและเป็นตัวที่ซึ่งได้ชัดเจนว่ามีการยิงปืน ความเข้มข้นของแอนติโมนีของผู้ที่ไม่ได้ยิงปืนจะมีน้อยมาก จึงจำเป็นต้องใช้เทคนิกที่มีสภาพไวมาก ๆ เช่น High resolution ICP-MS ใน การตรวจวิเคราะห์ในงานวิจัยนี้ได้อกีประถึงความสำคัญของขั้นตอนการเก็บตัวอย่างรวมถึงการเก็บตัวอย่างจากส่วนต่าง ๆ ของร่างกาย และมือผู้ต้องสงสัยที่ยิงปืน ผลการวิเคราะห์ที่ได้สามารถแยกแยะระหว่างผู้ที่ผ่านการยิงปืนและผู้ที่ไม่ได้ยิงปืนออกจากกัน

L. Garofano , M. Capra, F. Ferrari, G.P. Bizzaro, D. Di Tullio, M. Dell'Olio และ A. Ghitti [4] ได้ทำการศึกษาเกี่ยวกับอาชีพที่มีผลต่อการเก็บเม่าปืน จากการศึกษารายค่าอนุภาคต่างๆ

จากสิ่งแวดล้อมและสภาพงานที่ทำ ภายใต้ปฏิบัติการของสถาบันสืบสวนสอบสวนทางวิทยาศาสตร์ ชื่อ Reparto Carabinieri แห่งเมือง Parma ประเทศอิตาลี เป็นการแสดงถึงข้อมูลที่ได้รับจากความร่วมมือของสูกี้จ้างในสังกัดอาชีพต่างๆที่เกี่ยวข้องจำนวน 175 ตัวอย่าง โดยตัวอย่างต่างๆ นั้น ได้นำจากกลุ่มตัวอย่างของคนงานที่ทำงานในโรงงานอุตสาหกรรมประกอบรถยนต์ คนขับรถที่ทำงานเกี่ยวกับเครื่องยนต์ แบตเตอรี่ ยางรถยนต์ และจากความร่วมมือเป็นรายบุคคล เช่น คนงานที่ทำงานในโรงงานประกอบชิ้นส่วนปืน สูกปืน ปืนเด็กเล่น การทำพลุ และประทัด ในการศึกษากลุ่มตัวอย่างผู้ประกอบอาชีพต่างๆ ส่วนใหญ่นั้น สามารถพิสูจน์ให้เห็นว่าคนที่ทำงานเกี่ยวข้องกับรถยนต์อาจมีส่วนที่ทำให้เกิดอนุภาคต่างๆที่ประกอบด้วยแมเรียมและพลาสติกในบางกรณียกที่จะจำแนกออกจากการลักษณะของส่วนที่คุณเมื่อนจากการยิงปืนเกิดขึ้น ความเสี่ยงที่ผลของการเป็น false-positive ค่อนข้างสูง หากการวิจัยตรวจสอบและการเก็บรวบรวมแผ่นเทปตัวอย่างสูกใช้โดยปราศจากการพิจารณาให้ดีเสียก่อน การวิจัยนี้ช่วยยืนยันการศึกษาอื่นๆ ที่วัดได้ว่าภายในโรงงานอุตสาหกรรมการทำส่วนประกอบ ลำกล้อง และส่วนอื่นๆของปืน กีพบาร์เจ้าพวคแมเรียม ตะกั่ว และพลาสติก เมื่อกับที่เกิดขึ้นจากการยิงปืน

* L. F.Carteras และ L.A. Montes Palma [5] ได้ทำการศึกษาเกี่ยวกับรูปแบบของเขม่าปืนที่พุ่งออกจากปืน 4 ชนิด ความรู้เกี่ยวกับรูปแบบและลักษณะของเขม่าดินปืนที่ขับออกมามีอุกระสุนปืนสูกปล่อยออกซวยให้เข้าใจถึงกลไกการเกิดร่องรอยต่างๆ ซึ่งสามารถสังเกตได้บนเปลือกของกระสุนปืน และยังมีประโยชน์ต่อการเข้าใจและการอธิบายถึงระบบของการยิงกระสุนปืนถึงแม้ว่าลักษณะ และรูปร่างที่เกิดขึ้นนั้นมีน้อยแต่ก็ยังไม่มีเอกสารอ้างอิงเกี่ยวกับเรื่องนี้มากนัก วัตถุประสงค์ของการศึกษานี้ เพื่อที่จะศึกษาถึงเขม่าดินปืนรูปแบบต่างๆที่ขับออกมายาน้ำที่ต่างกัน การศึกษายกน้ำที่ในกล้องวีดีโอ Hadland SV553 ซึ่งต่อ กับคอมพิวเตอร์ โดยมีมอนิเตอร์สูงและค่า, ใช้แฟลช FOT-2 โดยใช้ไฟพันสายไฟไว้หลาຍชั้น กล้อง 2 ตัวได้ถูกวางไว้ตัวหนึ่งวางตั้งจากกันแนวตั้งซึ่งอยู่ในตำแหน่งสูงกว่าเป้า และอีกตัวหนึ่งวางตรงข้ามกับเป้า เพื่อสังเกตและคำนวณการพัฒนาของก้าชซึ่งเป็นของเหลวที่มองเห็นได้และของกระสุน กล้องทั้ง 2 จะเปิดเครื่องพร้อมกัน โดยมีแฟลชนำ 25 ไมโครวินาที และเวลาของการเปิดกล้อง 200 มิลลิวินาที ทดลองในปืน 4 ชนิด ได้แก่ ปืนพาราเบลัม 9 มม., ปืนพก 9 มม., รีโวแลเวอร์ .38 และไรเพลต 7.62 มม.

บทที่ 2

เครื่องมือและสารเคมี

2.1 เครื่องมือ

การศึกษาการกระจายตัวของอนุภาคเข้ม่าปืนจากปืนที่ยิงในห้องปิด ด้วยเทคนิค ICP-OES ใช้เครื่องมือในการทดลอง ดังนี้

ลำดับที่	เครื่องมือ	แหล่งที่มา
1	เครื่อง Inductively Coupled Plasma Spectrometer (ICPS)	Varian Liberty 220
2	เครื่อง Multiwave Microwave Sample Preparation System	Anton Parr.
3	เครื่องวัดความชื้น	ภาควิชาฟิสิกส์
4	เครื่องวัดความเร็วลม	ภาควิชาฟิสิกส์

2.2 สารเคมีและอุปกรณ์

การศึกษาการกระจายตัวของอนุภาคเข้ม่าปืนจากปืนที่ยิงในห้องปิด ด้วยเทคนิค ICP-OES ใช้เครื่องมือและอุปกรณ์ ดังนี้

ลำดับที่	สารเคมีและอุปกรณ์	แหล่งที่มา
1	แผ่นกระเบื้องขนาด 30 x 30 cm	ร้านขายส่งกระเบื้อง
2	ตลั่นเมตร	ห้างสรรพสินค้า
3	ถ้วยพลาสติก ไม่มี	ร้านขายยา
4	ถุงมือยาง	ร้านขายยา
5	label และ ถุงพลาสติก มีซิบ	ร้านขายยา
6	นาฬิกาจับเวลา	ภาควิชาเคมี
7	แผ่น Plate	ภาควิชาเคมี
8	Thermometer	ภาควิชาเคมี
9	Vial	ภาควิชาเคมี

ลำดับที่	สารเคมีและอุปกรณ์	แหล่งที่มา
10	ไนเบอร์ทัด	ห้างสรรพสินค้า
11	สบู่ล้างมือ	ห้างสรรพสินค้า
12	กระสอบทราย	ร้านค้า
13	น้ำกัลลิ่น และ Deionized water	ภาควิชาเคมี
14	Phosphoric acid	Fluka AG
15	Nitric acid	Fluka AG
16	Hydrochloric acid	Fluka AG
17	Tartaric acid	Fluka AG

2.2 ชนิดของอาวุธที่ใช้ในการทดลอง

1) ปืน Revolver ยี่ห้อ Smith & Wesson Model M60



ภาพที่ 16 ปืน Revolver ยี่ห้อ Smith & Wesson Model M60

2) กระสุนปืน Revolver ยี่ห้อ Sellier&Bellot ขนาด .38 Special



ภาพที่ 17 กระสุนปืน Revolver ยี่ห้อ Sellier&Bellot ขนาด .38 Special

3) ปืน Semi-Automatics ยี่ห้อ Glock Model 19



ภาพที่ 18 ปืน Semi- Automatics ยี่ห้อ Glock Model 19

4) กระสุนปืน Semi- Automatics ยี่ห้อ Winchester ขนาด 9 mm Luger

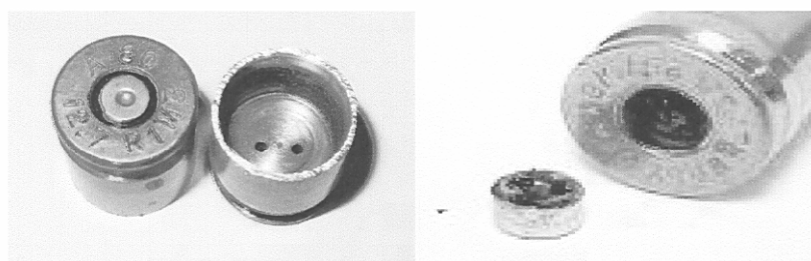


ภาพที่ 19 กระสุนปืน Semi- Automatics ยี่ห้อ Winchester ขนาด 9 mm Luger

บทที่ 3 วิธีดำเนินการวิจัย

3.1 การศึกษาหาปริมาณของธาตุ GSR ในเก็บลูกกระสุนปืนก่อนยิง

- 1) นำลูกกระสุนปืน Revolver ยี่ห้อ Sellier&Bellot ขนาด .38 Special มาผ่าอาดินปืนที่อยู่ภายในออก แล้วตัดบริเวณก้นของลูกกระสุนปืน เพื่อนำเก็บปืนที่อยู่บริเวณส่วนล่างของงานท้ายปลอกกระสุนปืนออกมา
- 2) นำส่วนล่างของงานท้ายไปทำการย่อย (Digestion) ให้เป็นสารละลาย โดยใช้ conc. H_3PO_4 5 ml, conc. HNO_3 5 ml, conc. HCl 5 ml และ Tartaric acid 0.5 กรัม จากนั้นนำไปเจ้าเครื่องย่อยตัวอย่างด้วยไมโครเวฟ (Multiwave Microwave Sample Preparation System) เพื่อละลายปลอกกระสุนปืนที่อยู่ภายนอกและเก็บปืนที่อยู่ภายในออก
- 3) นำสารละลายที่ได้ใส่ลงใน Volumetric Flask ขนาด 100 ml และปรับปริมาตรด้วย DI Water ให้เป็น 100 ml นำสารละลายที่ได้ไปเจือจาง 20 เท่า แล้วนำไปตรวจวิเคราะห์ด้วยเครื่อง Inductively Coupled Plasma - Optical Emission Spectrometer (ICP-OES) โดยใช้สารละลายปลอกกระสุนปืนเจือจาง 20 เท่าเป็น Blank
- 4) หลังจากนั้นจึงทำการทดลองซึ่งกับกระสุนปืนยี่ห้อ Winchester ขนาด 9 mm โดยใช้การเก็บตัวอย่างเก็บปืนชิ้นเดียวกัน

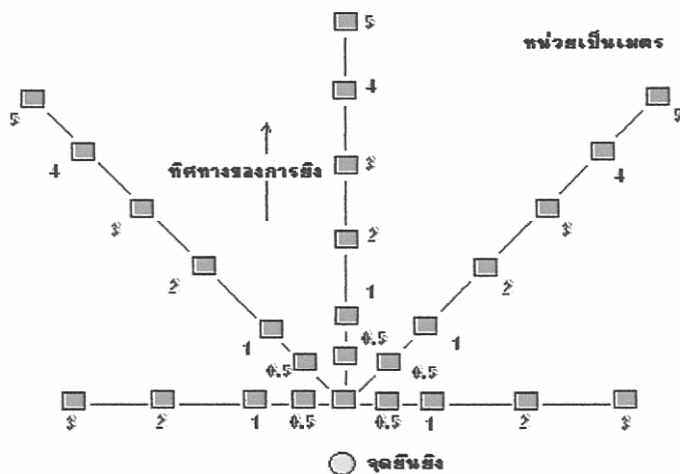


ภาพที่ 20 แก็บปืน (Primer cap) ที่อยู่ในกระสุนปืนหลังจากผ่าออกมา

3.2 การศึกษาหาทิศทางการกระจายตัวของอนุภาคเขม่าปืนในห้องปิด

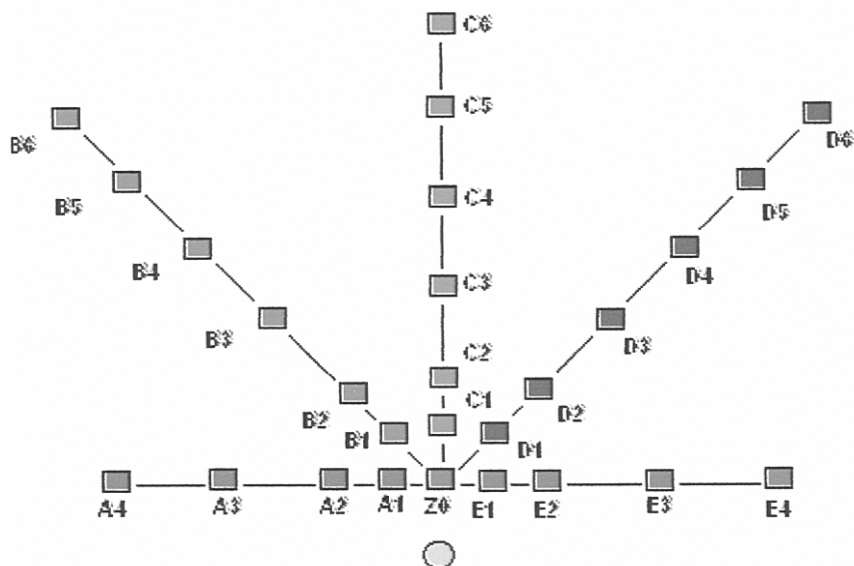
ทำการทดลองหาทิศทางการกระจายตัวของอนุภาคเขม่าปืน ใน 5 ทิศทางที่แผ่ออกจากจุดศูนย์กลางในห้องปิด อุณหภูมิ, ความชื้น และความเร็วลมถูกควบคุมให้อยู่ในช่วง $30.5 - 30.7^{\circ}\text{C}$ $45.0 - 46.0\%$ และ $0.05 - 0.09 \text{ m/s}$ ตามลำดับ ทำการทดลองในห้องปิดที่มีพื้นที่ห้อง 254.0 ตารางเมตร สูง 3.5 เมตร ยิงโดยใช้ปืน Revolver ยี่ห้อ Smiths & Wesson model M60 กระสุนปืน Revolver ยี่ห้อ Sellier&Bellot ขนาด .38 Special ทำการเก็บเขม่าปืน หรืออนุภาค Gunshot Residue (GSR) ภายหลังการยิงปืนทั้งหมด 5 นัด โดยวางแผนเป้าหมายเป็นแผ่นกระเบื้องขนาด 30×30 เซนติเมตร โดยรอบจากจุดยิงใน 5 ทิศทาง ดังภาพที่ 21 ทำการทดลองซ้ำทั้งหมด 3 ครั้ง แล้วเก็บตัวอย่างภายใน 15 นาที โดยการใช้ไม้พันสำลีที่สะอาดชุบกรดในตริก 5% ในการเก็บเขม่า โดยแต่ละตัวอย่างมีการเก็บในถุงซิป และติดคลา๊กแยกกันอย่างชัดเจน และเคลื่อนย้ายตัวอย่างด้วยความระมัดระวัง เพราะตัวอย่างนั้น อาจมีปริมาณน้อยมาก และวนนำตัวอย่างทั้งหมดใน 5 ทิศทางไปตรวจวิเคราะห์ด้วยเครื่อง Inductively Coupled Plasma - Optical Emission Spectrometer (ICP-OES)

หลังจากนั้นจึงทำการทดลองซ้ำกับ Semi-Automatics ยี่ห้อ Glock model 19 กระสุนปืน ยี่ห้อ Winchester ขนาด 9 mm โดยใช้การเก็บตัวอย่างเขม่าปืนเข่นเดียวกัน (ตำแหน่งและทิศทางในการวางแผนกระเบื้อง เหมือนกับการทดลองด้วยปืน Revolver)



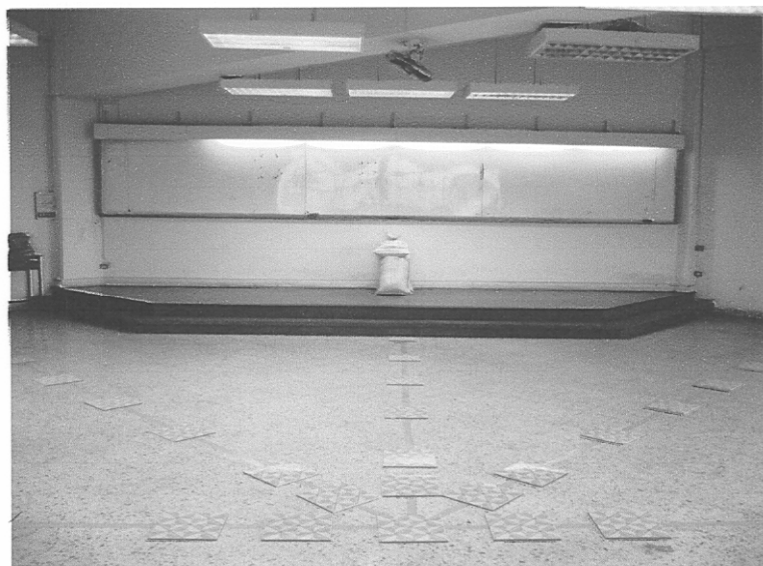
ภาพที่ 21 ทิศทางการเก็บตัวอย่างอนุภาค GSR ใน 5 ทิศทางที่แผ่ออกจากจุดศูนย์กลาง

- กำหนดตำแหน่งและ สัญลักษณ์ที่ใช้แทนแผ่นกระเบื้องที่วางเพื่อกีบเบนปืน ดังนี้
- ให้ A แทนทิศทางค้านซ้ายจากจุดยิง
 - ให้ B แทน ทิศทางค้านหน้าเฉียงไปด้านซ้าย 45 องศา
 - ให้ C แทนทิศทางค้านหน้า (ทิศทางเดียวกับกระสุนปืน)
 - ให้ D แทน ทิศทางค้านหน้าเฉียงไปด้านขวา 45 องศา
 - ให้ E แทนทิศทางค้านขวาจากจุดยิง
 - ให้ Z แทน ตำแหน่งปลายระบบอกปืน ตามภาพที่ 22



ภาพที่ 22 แสดงสัญลักษณ์ที่ใช้ในการกำหนดทิศทางในการเก็บตัวอย่าง โดยรูปวงกลมแทนตำแหน่งปลายของผู้ยิง

ลักษณะหัวทางของผู้ยิงปืน เป็นดังนี้ ผู้ยิงยืนอยู่ ณ ตำแหน่งจุดยืนยิง โดยกระบอกปืนหันไปทางเป้าหมาย แขนเหยียดตรงนานกับหัวไหล่โดยให้ที่ปลายกระบอกปืนอยู่ ณ ตำแหน่ง Z ใช้มือข้างขวาเป็นมือหลักในการถือปืน และใช้มือซ้ายในการประคงปืน โดยมือซ้ายกุมมือขวาอยู่บนส่วน และใช้นิ้วชี้ของมือขวาในการเหนี่ยวไกปืน โดยหัวทางการยิงนั้น เป็นดังรูปที่ 24



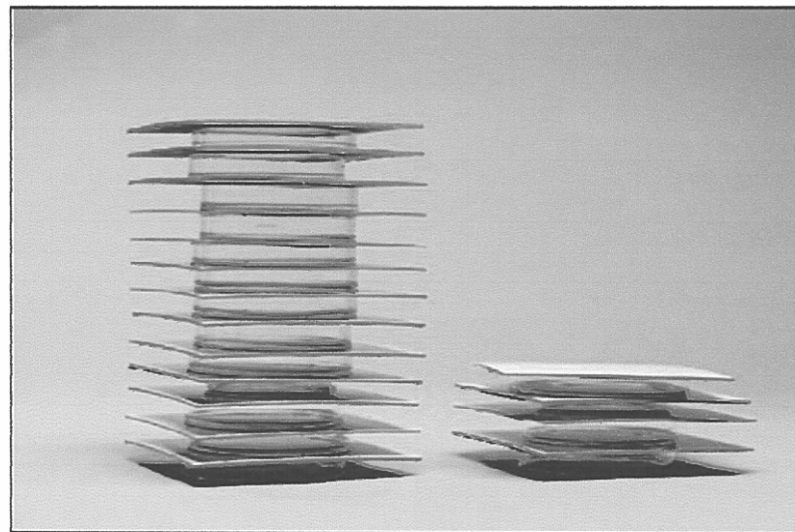
ภาพที่ 23 ทิศทางการเก็บตัวอย่างอนุภาค GSR ใน 5 ทิศทางที่แพร่ออกจากรุขคุณย์กลางในห้องปิด



ภาพที่ 24 ลักษณะท่าทางการยิงปืนของผู้ยิงขณะทำการทดสอบ

3.3 การศึกษาผลของระยะเวลาที่มีต่อการทดลองของเขม่าปืนในห้องปิด

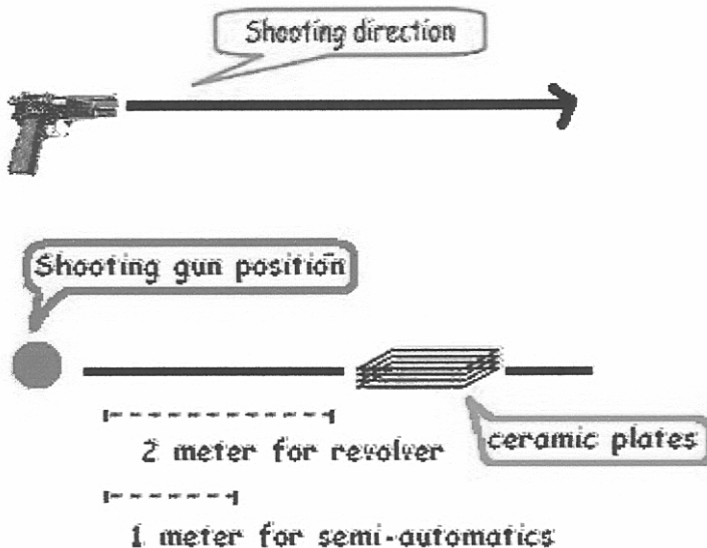
การศึกษาผลของระยะเวลาที่มีต่อการทดลองของเขม่าปืน ในปืน Revolver และ Semi-Automatics ในห้องปิดทำการทดลองในปืน 2 ชนิด โดยทำการทดลองยิงในห้องปิดที่มีพื้นที่ห้อง 254.0 ตารางเมตร สูง 3.5 เมตร ที่อุณหภูมิช่วงประมาณ 31.0-32.0 °C ความชื้นสัมพัทธ์อยู่ในช่วงประมาณ 41-46% และความเร็วลมอยู่ในช่วง 0.05-0.09 m/s ผู้ยิงทำการยิงปืน 5 นัด ในทิศทางตามลูกศร วงเป้าสำหรับเก็บอนุภาคเขม่าปืน (GSR) ห่างจากผู้ยิงเป็นระยะทาง 2 เมตร ทางด้านหน้าผู้ยิง สำหรับปืน Revolver และ 1 เมตร สำหรับปืน Semi-Automatics (ภาพที่ 26) โดยการทดลองนี้ถูกกำหนดจากพื้นฐานของผลการทดลองที่ผ่านมา เพื่อที่จะวิเคราะห์อนุภาคเขม่าปืน (GSR) ที่กระจายรอบผู้ยิงภายในพื้นที่ที่จะพบอนุภาค GSR หากที่สุด ตามการทดลองที่ 3.2.1 และ 3.2.2 การเก็บเขม่าปืนใช้วิธีเช่นเดิม คือนำแผ่นกระเบื้องเป็นเป้าหมายสำหรับเก็บอนุภาคเขม่าปืน โดยใช้แผ่นกระเบื้องที่มีพื้นผิวเรียบ ขนาด 30 cm. × 30 cm. ค้านให้ของแต่ละแผ่นวางซ้อนกันแน่น ยาวๆ ขนาดเส้นผ่าศูนย์กลาง 18 cm ดังภาพที่ 25



ภาพที่ 25 ลักษณะการวางแผนแผ่นกระเบื้องเพื่อศึกษาผลของระยะเวลาที่มีต่อการทดลองของเขม่าปืน

หลังจากการยิง เบ็ดให้อนุภาค GSR ทดลองนานพื้นที่ของแต่ละแผ่นกระเบื้อง ทำการดึงเอามาต่อๆ กันแล้วน้ำหนักที่ลดลงจากการยิงปืนในแต่ละช่วงเวลา ทุกๆ 1 นาที ทั้งหมด 15 นาที ทำการเก็บตัวอย่างโดยการใช้ไม้พันสำลีที่สะอาดชุบกรด ไนตริก 5% ในการเก็บเขม่า โดยแต่ละตัวอย่างมีการเก็บในถุงซิปติดคลากรแยกกันอย่างชัดเจน และเคลื่อนย้ายตัวอย่างด้วยความระมัดระวัง เพราะตัวอย่างนั้นอาจมีปริมาณน้อยมาก นำตัวอย่างไปตรวจวิเคราะห์ด้วยเครื่อง Inductively Coupled Plasma -

Optical Emission Spectrometer (ICP-OES) ทำการยิงปืนทดสอบช้าทั้งหมดอย่างละ 2 ครั้ง โดยใช้ปืน Revolver และ Semi-Automatics ตามลำดับ แล้วคำนวณหาค่าเฉลี่ยจากผลที่ได้ เพื่อวิเคราะห์ผลการทดลอง สร้าง curve ของเวลาที่อนุภาค GSR คงอยู่

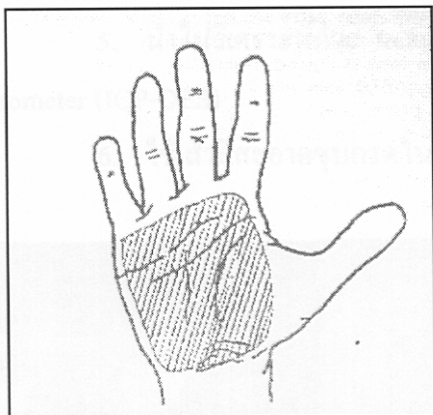


ภาพที่ 26 ตำแหน่งการเก็บตัวอย่างอนุภาค GSR ในการศึกษาผลของระยะเวลา
ที่มีต่อการทดลองของเบนปืน ในปืน Revolver

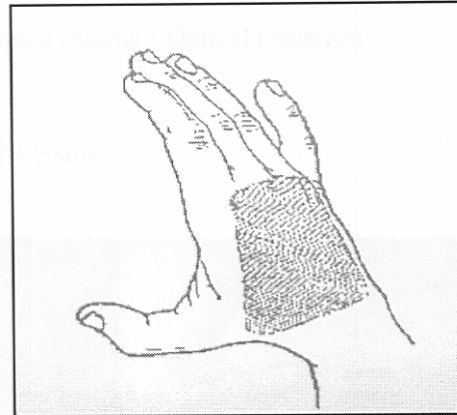
3.4 วิเคราะห์หาอนุภาค GSR ในบริเวณที่แตกต่างกันของมือจากการยิงด้วยปืน

ในปืน Revolver ใช้อาวุธปืนยี่ห้อ Smiths & Wesson model M60 ขนาด .38 Special และกระสุนปืนยี่ห้อ Sellier&Bellot ขนาด .38 Special ทำการยิงปืน 5 นัด โดยใช้มือขวาเป็นมือหลักในการถือปืน หลังจากนั้นทำการเก็บเบนปืนด้วยสารละลายกรดไนตริก 5% บนบริเวณของมือผู้ยิง 4 บริเวณ ประกอบด้วย ฝ่ามือ หลังมือ ระหว่างนิ้วชี้และนิ้วหัวแม่มือด้านฝ่ามือ และระหว่างของนิ้วชี้และนิ้วหัวแม่มือด้านหลังมือ ทั้งในมือซ้ายและมือขวา ดังภาพที่ 27

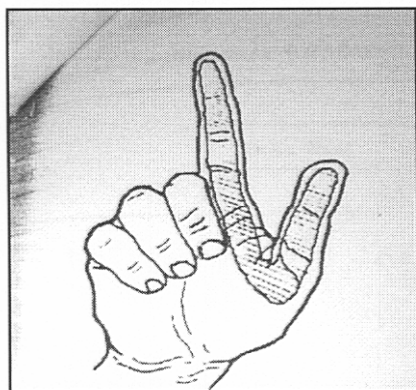
แล้วทำการทดลองช้าอีกรึ่ง โดยทำการทดสอบ Hand blank ก่อนทำการทดสอบยิง ส่วนอาวุธปืนที่ใช้ก็ทำความสะอาดก่อนเพื่อขจัดสิ่งที่ปนเปื้อนจากการยิงครึ่งก่อนด้วยเช่นกัน หลังจากนั้นจึงทำการทดลองช้ากับปืน Semi-Automatics ยี่ห้อ Glock model 19 ด้วยกระสุนปืนยี่ห้อ Winchester ขนาด 9 mm Luger โดยใช้วิธีการเช่นเดียวกัน



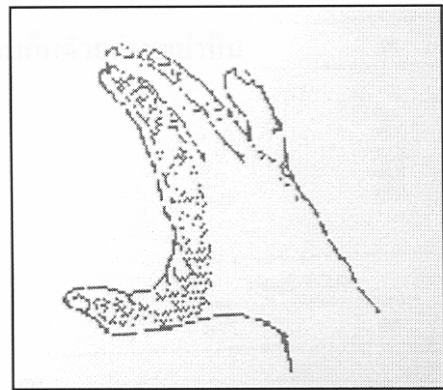
ฝ่ามือ



หลังมือ



ระหว่างนิ้วชี้และนิ้วหัวแม่มือด้านฝ่ามือ



ระหว่างนิ้วชี้และนิ้วหัวแม่มือด้านหลังมือ

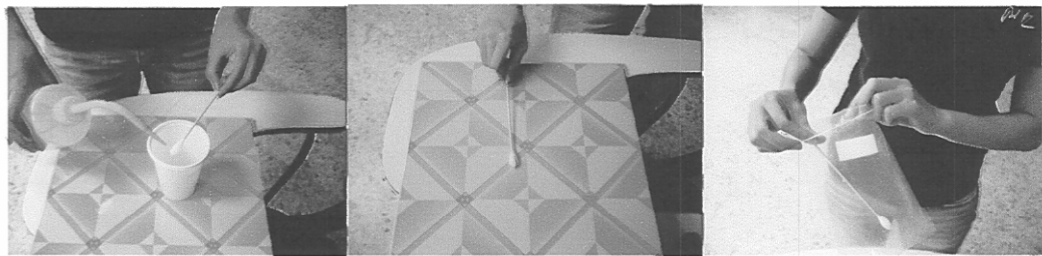
ภาพที่ 27 ตำแหน่งที่เก็บเขม่าปืนบนมือของผู้ยิงทั้ง 4 ตำแหน่ง

3.5 การเก็บตัวอย่างเขม่าปืน

1. ทำให้สำลีพันก้านไม้ชุ่มด้วยสารละลายกรดไนโตริก 5% จำนวนนำไปเก็บเขม่าปืนบนแผ่นกระเบื้อง หรือบนมือ
2. เก็บตัวอย่างใส่ในถุงซิบ และติดฉลากแยกกันอย่างชัดเจน และเคลื่อนย้ายตัวอย่างด้วยความระมัดระวัง เพราะตัวอย่างนั้นอาจมีปริมาณน้อยมาก
3. นำสำลีที่ได้ไปตัดส่วนที่เก็บเขม่าปืนด้วยกรรไกร ย่อง (Digestion) ให้เป็นสารละลายด้วย 2 ml Conc. nitric acid solution เขย่าด้วย Ultrasonic bath 5 นาที
4. กรองสารละลายที่ได้ด้วยกระดาษกรอง หลังจากนั้นนำสารละลายที่ได้ใส่ลงใน Volumetric Flask ขนาด 10 ml และปรับปริมาตรด้วย DI Water ให้เป็น 10 ml

5. นำไปวิเคราะห์ด้วย Inductively Coupled Plasma - Optical Emission Spectrometer (ICP-OES)

6. ใช้สำลีสะอาดซับกรดในตริก 5% เป็น Blank



ภาพที่ 28 ขั้นตอนและวิธีการในการเก็บตัวอย่างเขม่าเป็น

บทที่ 4

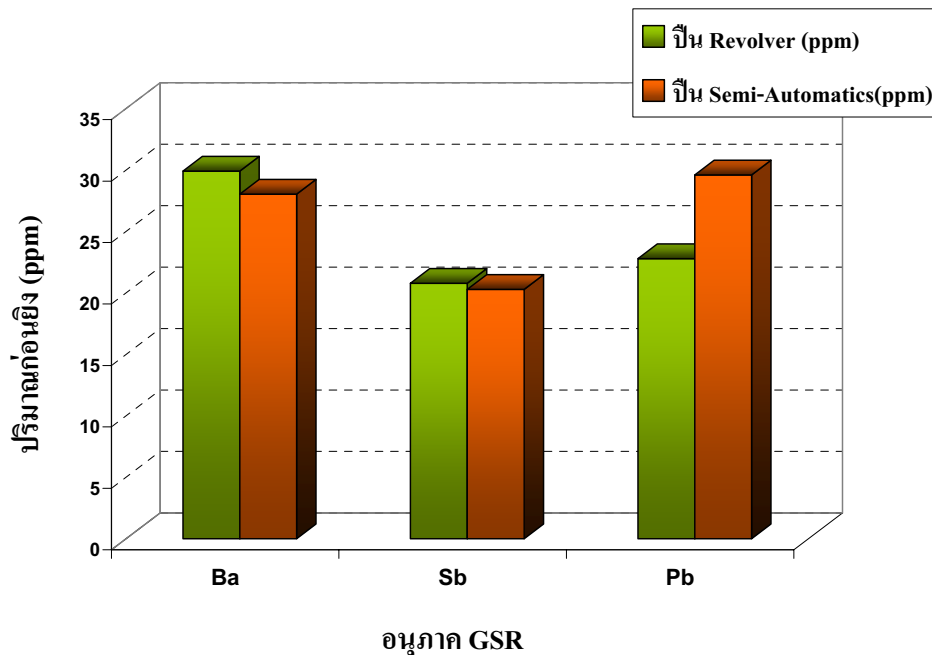
ผลการทดลอง

4.1 ผลการศึกษาหาปริมาณของชาตุ GSR ในแก๊ปถูกระสุนปืนก่อนยิง

จากการวิเคราะห์หาปริมาณของชาตุ GSR ในแก๊ปปืนก่อนยิง ของถูกระสุนปืน Revolver ยี่ห้อ S & B ขนาด .38 Special และกระสุนปืนยี่ห้อ Winchester ขนาด 9 mm ด้วยเครื่อง Inductively Coupled Plasma - Optical Emission Spectrometer (ICP-OES) นั้น ได้ผลการทดลองค่าเฉลี่ยปริมาณของชาตุ GSR ในแก๊ปปืนก่อนยิง ตามตารางที่ 1 และเมื่อนำค่าที่ได้มาเขียนกราฟเปรียบเทียบระหว่างปืน 2 ชนิด ได้ผลการทดลองตามภาพที่ 28

ตารางที่ 1 ค่าเฉลี่ยปริมาณของชาตุ GSR ก่อนยิง ในแก๊ปกระสุนปืนยี่ห้อ S & B ขนาด .38 Special และแก๊ปกระสุนปืนยี่ห้อ Winchester ขนาด 9 mm

ปริมาณ GSR particles	แก๊ปกระสุนปืนยี่ห้อ S & B ขนาด .38 Special (ppm)	แก๊ปกระสุนปืนยี่ห้อ Winchester (ppm)
Ba	29.92	28.03
Sb	20.78	20.28
Pb	22.79	29.59



ภาพที่ 29 กราฟเปรียบเทียบค่าเฉลี่ยปริมาณธาตุ GSR ในแก๊ปกระสุนปืนก่อนยิง
ในปืน Revolver และปืน Semi-Automatics

จากการที่ 29 พบว่า ค่าเฉลี่ยปริมาณธาตุ GSR ในแก๊ปปืนก่อนยิงของลูกกระสุนปืนทั้ง 2 ชนิด มีปริมาณใกล้เคียงกัน และไม่แตกต่างกันมาก โดยปริมาณธาตุ GSR ส่วนใหญ่ ได้แก่ Ba และ Sb (ยกเว้น Pb) พบรูปในปืน Revolver มากกว่าปืน Semi-Automatics โดยชาตุที่พบมากที่สุดในแก๊ป ลูกกระสุนปืนก่อนยิงในปืนทั้ง 2 ชนิด คือ Ba ส่วนธาตุที่พบน้อยที่สุด คือ Sb

4.2 ผลการศึกษาหาพิสทางการกระจายตัวของอนุภาคเขม่าปืนในห้องปิด

4.2.1 การศึกษาหาพิสทางการกระจายตัวของอนุภาคเขม่าปืน ของปืน Revolver

จากการทดลองหาพิสทางการกระจายตัวของอนุภาคเขม่าปืน ใน 5 พิสทางที่แพ่ออกจากจุดศูนย์กลางในห้องปิด โดยอุณหภูมิ, ความชื้น และความเร็วลมลูกควบคุมให้อยู่ในช่วงที่กำหนด ยิงโดยใช้ปืน Revolver ยี่ห้อ Smith & Wesson model M60 กระสุนปืน Revolver ยี่ห้อ Sellier&Bellot ขนาด .38 Special ทำการเก็บเขม่าปืน หรืออนุภาค Gunshot Residue (GSR) ภายหลังการยิงปืนทั้งหมด 5 นัดบนแผ่นกระเบื้องที่ถูกวางโดยรอบจากจุดยิงใน 5 พิสทาง ตามภาพที่ 29 ทำการทดลองซ้ำทั้งหมด 3 ครั้ง ตรวจวิเคราะห์ด้วยเครื่อง Inductively Coupled Plasma - Optical Emission Spectrometer (ICP-OES)

โดยกำหนดสัญลักษณ์แทนแต่ละตำแหน่งเป็นดังนี้

ให้ A แทนทิศทางด้านซ้ายจากจุดยิง

ให้ B แทน ทิศทางด้านหน้าเฉียงไปด้านซ้าย 45 องศา

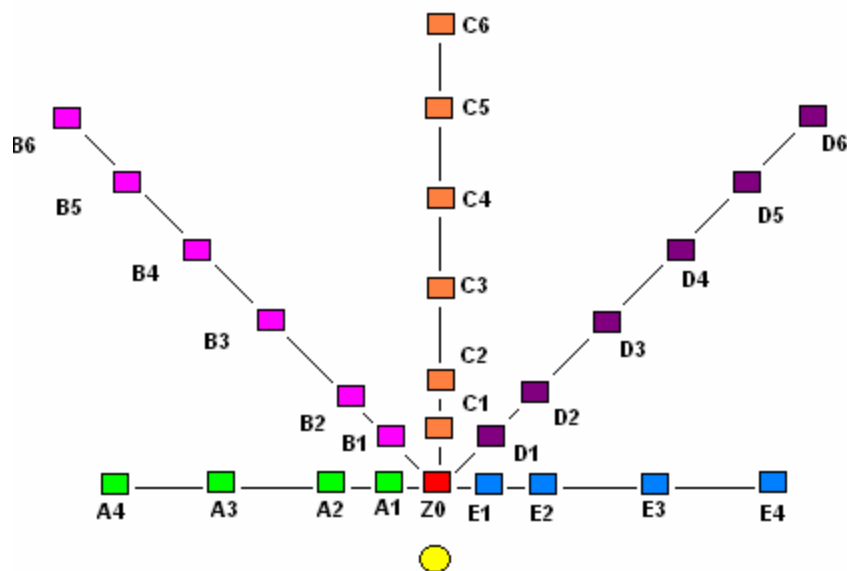
ให้ C แทนทิศทางด้านหน้า (ทิศทางเดียวกับกระสุนปืน)

ให้ D แทน ทิศทางด้านหน้าเฉียงไปด้านขวา 45 องศา

ให้ E แทนทิศทางด้านขวาจากจุดยิง

ให้ Z แทน ตำแหน่งปลายระบบอ กปืน

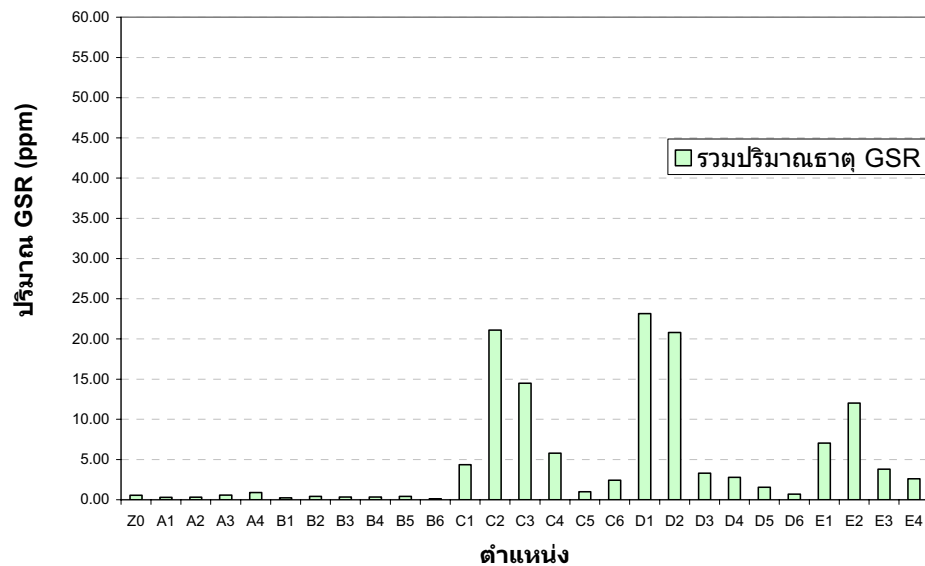
และได้ผลการทดลองเป็นตามตารางที่ 2 และตามภาพที่ 30, 31 และ 32



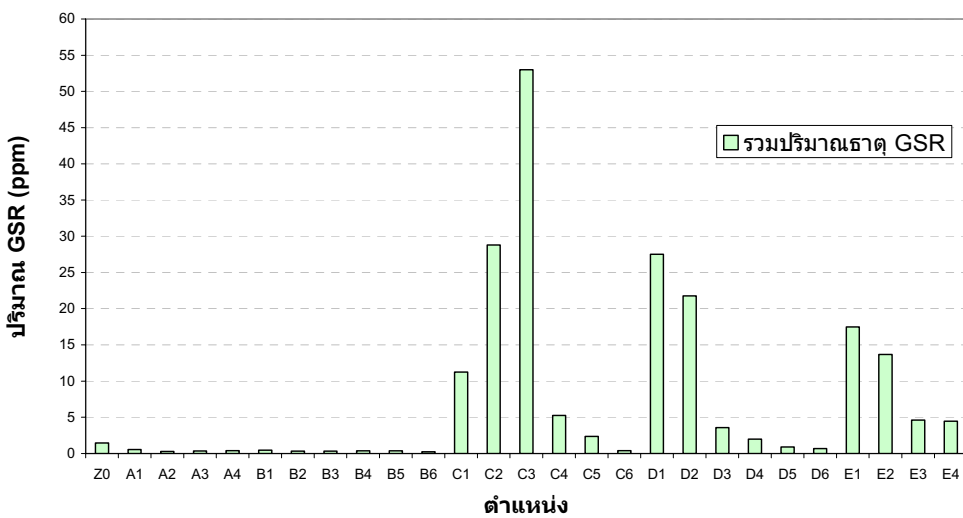
ภาพที่ 30 สัญลักษณ์ที่ใช้ในการกำหนดทิศทางในการเก็บตัวอย่าง

ตารางที่ 2 แสดงปริมาณของธาตุ GSR ที่กระจายตัวอยู่รอบๆ จุดยิงจากปืน Revolver ที่อุณหภูมิช่วง 30.55-30.62 °C ความชื้นสัมพัทธ์ 47.25-46.00% และความเร็วลม 0.04-0.05 m/s

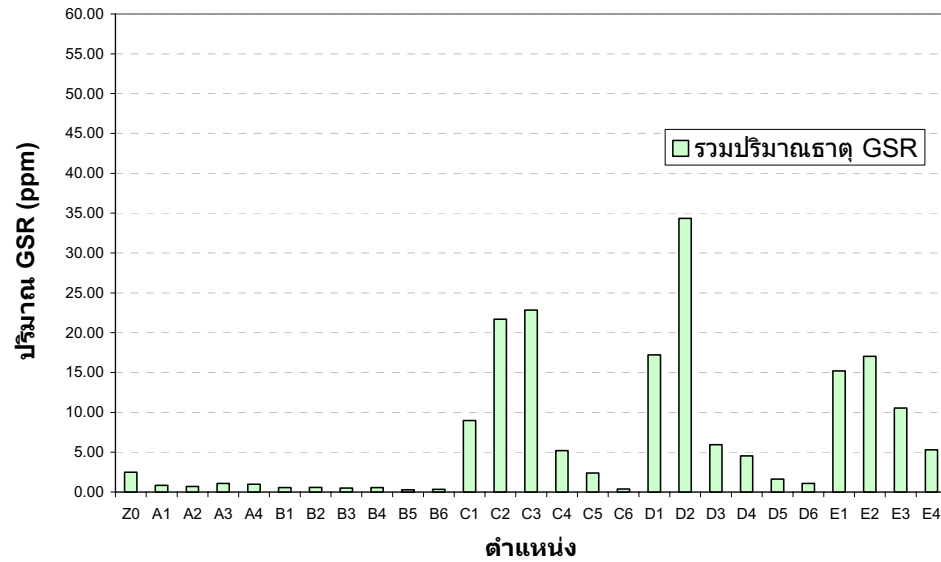
sample	อนุภาค Ba			อนุภาค Sb			อนุภาค Pb			ปริมาณรวมของธาตุ (เฉลี่ย 3 ครั้ง) (ppm)
	ครั้งที่ 1	ครั้งที่ 2	ครั้งที่ 3	ครั้งที่ 1	ครั้งที่ 2	ครั้งที่ 3	ครั้งที่ 1	ครั้งที่ 2	ครั้งที่ 3	
Z0	0.15	0.57	0.47	0.00	0.00	0.41	0.41	0.88	1.60	1.75
A1	0.08	0.16	0.13	0.00	0.00	0.00	0.20	0.40	0.72	0.80
A2	0.11	0.04	0.11	0.00	0.00	0.00	0.21	0.25	0.60	0.71
A3	0.26	0.04	0.12	0.00	0.00	0.00	0.33	0.32	0.97	0.68
A4	0.57	0.05	0.12	0.00	0.00	0.00	0.32	0.34	0.88	1.45
B1	0.07	0.05	0.08	0.00	0.00	0.00	0.18	0.41	0.48	0.55
B2	0.12	0.06	0.07	0.00	0.00	0.00	0.28	0.26	0.51	0.63
B3	0.10	0.07	0.09	0.00	0.00	0.00	0.24	0.27	0.43	0.53
B4	0.10	0.05	0.12	0.00	0.00	0.00	0.24	0.31	0.44	0.54
B5	0.18	0.06	0.07	0.00	0.00	0.00	0.22	0.33	0.23	0.41
B6	0.12	0.04	0.07	0.00	0.00	0.00	0.00	0.20	0.26	0.38
C1	0.16	0.75	0.19	0.50	0.20	0.00	3.70	10.30	8.80	9.16
C2	0.43	0.20	0.56	2.00	1.30	0.94	18.67	27.30	20.20	21.93
C3	0.33	0.30	0.55	0.16	3.90	1.10	14.00	48.80	21.20	25.43
C4	0.30	0.06	0.13	0.49	0.00	0.07	5.00	5.20	5.00	5.30
C5	0.31	0.06	0.09	0.08	0.00	0.00	0.60	2.30	2.30	2.61
C6	0.33	0.04	0.08	0.18	0.00	0.00	1.90	0.36	0.31	0.64
D1	0.54	0.42	0.23	2.10	1.40	1.10	20.50	25.70	15.90	17.84
D2	0.50	0.20	0.36	2.30	0.76	2.10	18.00	20.80	31.90	33.16
D3	0.39	0.09	0.17	0.30	0.00	0.00	2.60	3.50	5.80	6.19
D4	0.38	0.07	0.15	0.21	0.00	0.00	2.20	1.90	4.40	4.78
D5	0.30	0.04	0.13	0.15	0.00	0.00	1.10	0.86	1.50	1.80
D6	0.32	0.06	0.12	0.00	0.00	0.00	0.39	0.62	0.97	1.29
E1	0.48	0.28	0.56	0.96	0.69	0.77	5.60	16.50	13.90	15.07
E2	0.52	0.17	0.45	1.20	0.40	0.47	10.30	13.10	16.10	17.02
E3	0.36	0.11	0.75	0.35	0.00	0.00	3.10	4.50	9.80	10.16
E4	0.29	0.16	0.59	0.23	0.00	0.00	2.10	4.30	4.70	4.99



ภาพที่ 31 ปริมาณของชาตุ GSR หั่ง 3 ชาตุ ที่ตำแหน่งต่างๆของปืน Revolver ครั้งที่ 1



ภาพที่ 32 ปริมาณของชาตุ GSR หั่ง 3 ชาตุ ที่ตำแหน่งต่างๆของปืน Revolver ครั้งที่ 2

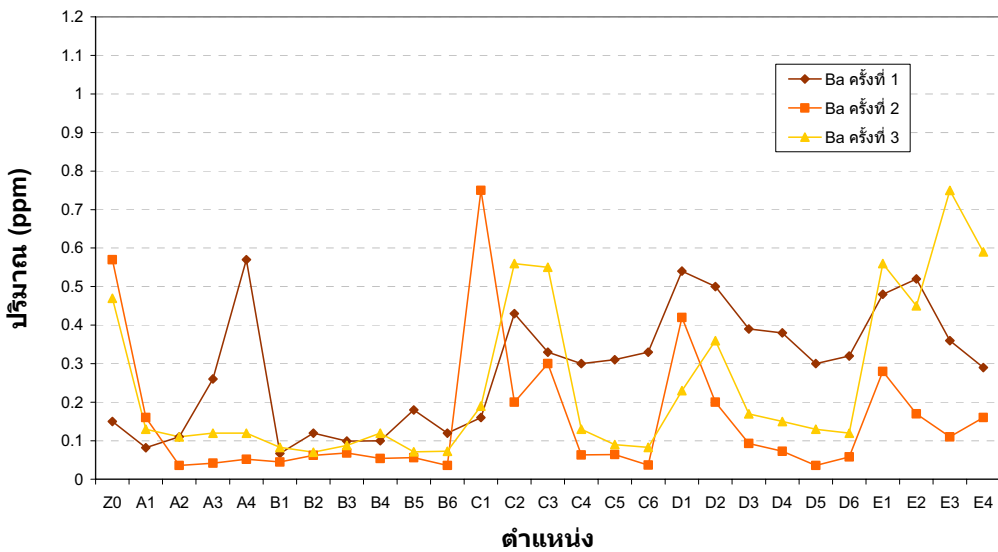


ภาพที่ 33 ปริมาณของชาตุ GSR ห้อง 3 ชาตุ ที่ตำแหน่งต่างๆของปืน Revolver ครั้งที่ 3

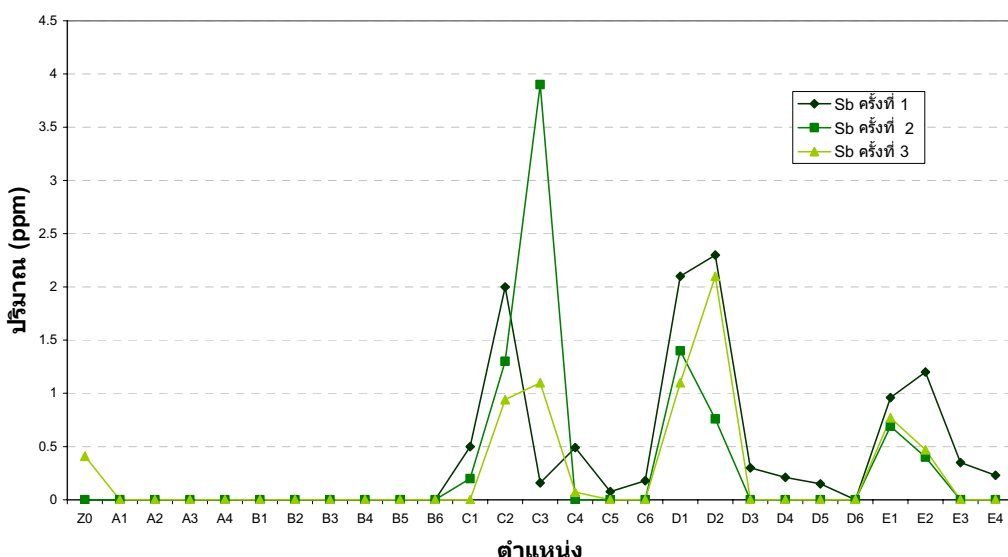
จากผลการทดลองยิงด้วยปืน Revolver ห้อง 3 ครั้ง (ภาพที่ 31-33) พบว่า ครั้งที่ 1 พบริมาณความเข้มข้นของชาตุ GSR มากที่สุดที่ตำแหน่ง D1 (ด้านหน้าเฉียงไปทางด้านขวา 45 องศา ที่ระยะ 0.5 เมตร) ครั้งที่ 2 พบมากที่สุดที่ตำแหน่ง C3 (ด้านหน้า ที่ระยะ 2 เมตร) ครั้งที่ 3 พบมากที่สุดที่ตำแหน่ง D2 (ด้านหน้าเฉียงไปทางด้านขวา 45 องศา ที่ระยะ 1 เมตร) ซึ่งพบว่าห้อง 3 ครั้ง จุดที่พบริมาณความเข้มข้นของชาตุ GSR มากที่สุดนั้น แตกต่างกัน แต่เมื่อพิจารณาแนวโน้มการกระจายตัวจากการวัดทุกตำแหน่ง แล้วพบว่าปริมาณชาตุ GSR จะถูกตรวจพบมากที่ตำแหน่งด้านหน้าและด้านหน้าเฉียงไปทางด้านขวา 45 องศา ในช่วงระยะประมาณ 0.5-2 เมตรจากปลายปากกระบวนการออกปืน

การเปรียบเทียบปริมาณชาตุ GSR

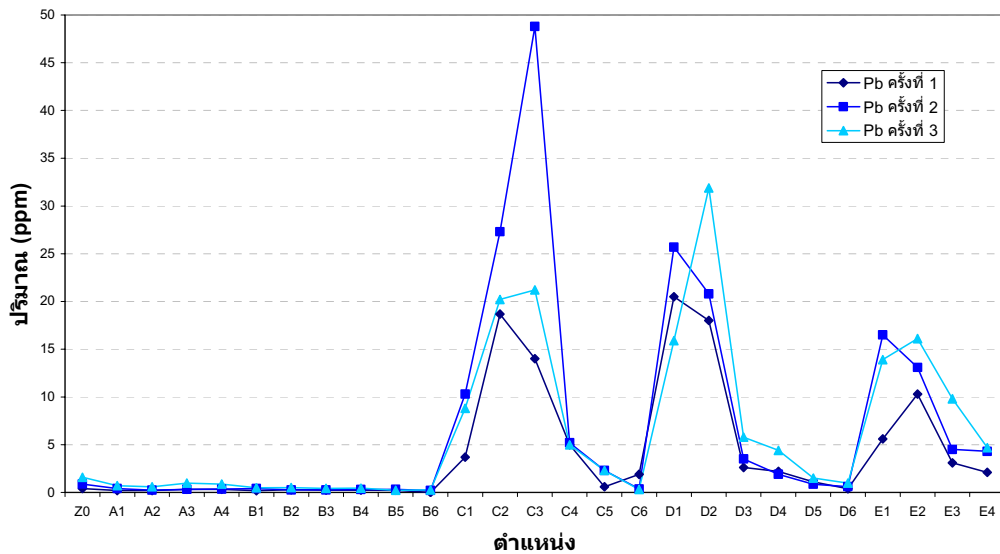
เมื่อนำค่าที่ได้จากการทดลองยิงแต่ละครั้ง ห้องมด 3 ครั้ง มาสร้างกราฟเปรียบเทียบกันเพื่อดูแนวโน้มการกระจายตัวของแต่ละชาตุ ห้อง 3 ชาตุ ใน 5 ทิศทาง ได้ผลการทดลองเป็นดังนี้



ภาพที่ 34 เปรียบเทียบการกระจายตัวของปริมาณธาตุ Ba ในการยิงแต่ละครั้งของปืน Revolver



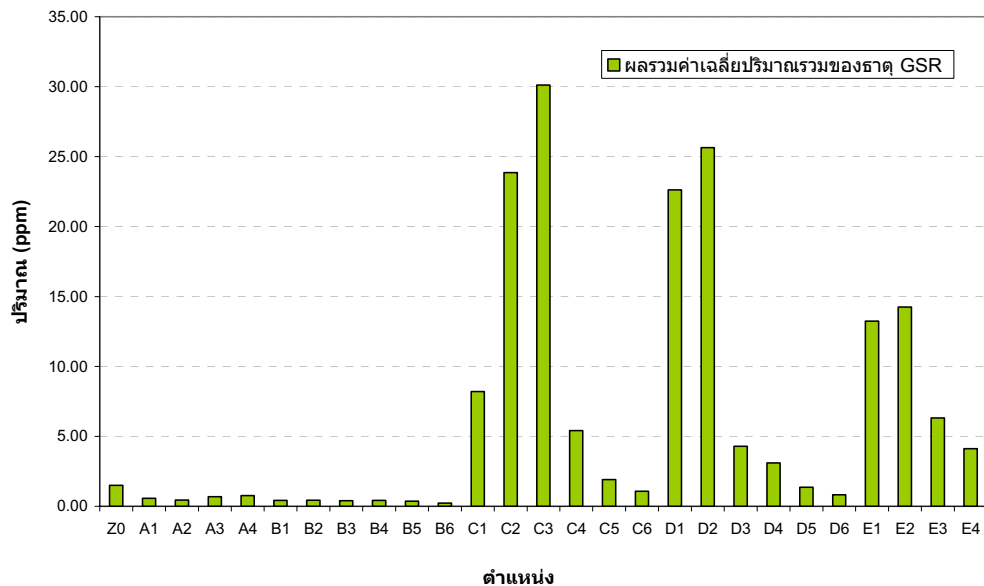
ภาพที่ 35 เปรียบเทียบการกระจายตัวของปริมาณธาตุ Sb ในการยิงแต่ละครั้งของปืน Revolver



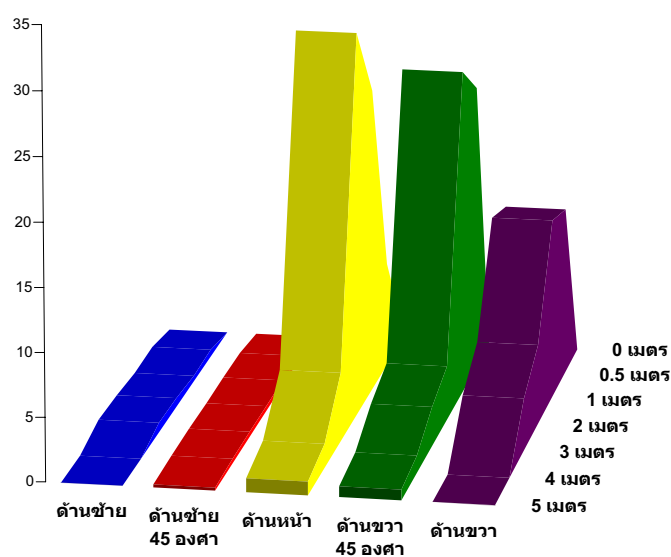
ภาพที่ 36 เปรียบเทียบการกระจายตัวของปริมาณธาตุ Pb ในการยิงแต่ละครั้งของปืน Revolver

จากราฟเปรียบเทียบการกระจายตัวของปริมาณธาตุ Ba, Sb และ Pb ในการยิงแต่ละครั้ง (ภาพที่ 34-36) พบว่า ในการทดลองยิงทั้ง 3 ครั้ง ธาตุทั้ง 3 ตัว มีปริมาณ และการกระจายตัว ณ ตำแหน่งต่างๆ ที่ใกล้เคียง และกระจายตัวไปในทิศทางเดียวกัน

เมื่อนำค่าเฉลี่ยของผลรวมปริมาณความเข้มข้นของแต่ละธาตุ ที่ได้จากการทดลองยิงทั้งหมด 3 ครั้ง มาพิจารณาแนวโน้มการกระจายตัวของธาตุ GSR ที่ตำแหน่งต่างๆ โดยแสดงเป็นกราฟแท่ง และกราฟ 3 มิติ ได้ผลการทดลองเป็นดังนี้



ภาพที่ 37 กราฟแท่งสูงค่าเฉลี่ยการกระจายตัวของอนุภาคเบนเป็น ซึ่งประกอบด้วยธาตุ Ba, Sb และ Pb จากการยิงทิ้งหมด 3 ครั้งในตำแหน่งต่างๆ ของปืน Revolver



ภาพที่ 38 กราฟ 3 มิติ แสดงการสรุปค่าเฉลี่ยการกระจายตัวของอนุภาคเบนเป็น ซึ่งประกอบด้วย ธาตุ Ba, Sb และ Pb จากการยิงทิ้งหมด 3 ครั้งในตำแหน่งต่างๆ ของปืน Revolver

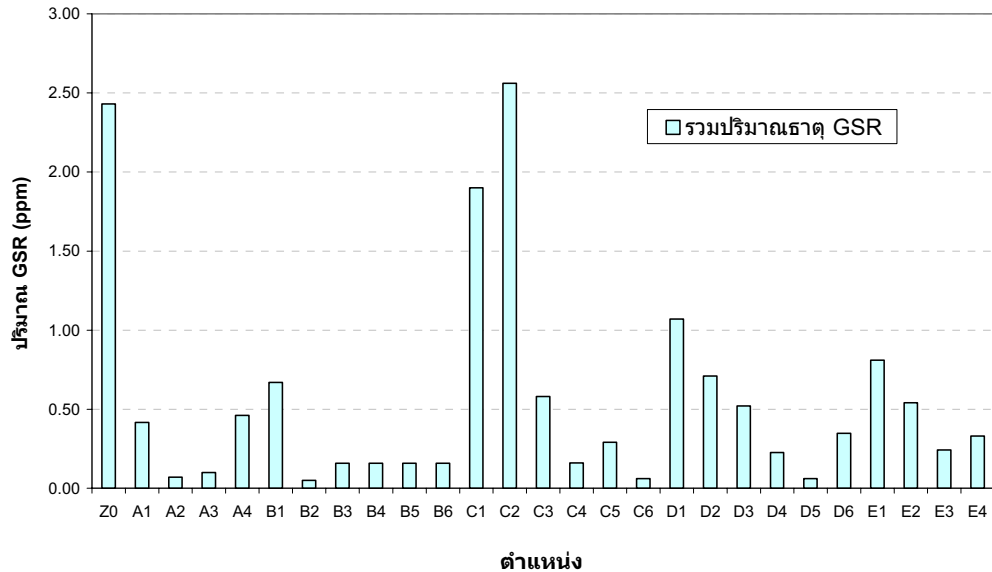
จากราฟภาพที่ 37-38 เมื่อนำค่าเฉลี่ยของผลรวมแต่ละธาตุที่ได้จากการทดลองยิงทั้งหมด 3 ครั้ง มาพิจารณาแนวโน้มการกระจายตัวของอนุภาค GSR ที่ตำแหน่งต่างๆ พบว่า ตรวจพบปริมาณความเข้มข้นของธาตุ GSR มากที่สุดที่ตำแหน่งด้านหน้า ที่ระยะ 2 เมตร รองลงมาคือ ตำแหน่งด้านหน้าเฉียงไปทางด้านขวา และด้านขวา ตามลำดับ โดยระยะที่จะพบมากที่สุดอยู่ในช่วง 0.5 – 2 เมตร และลดลงตามลำดับ แต่ยังคงตรวจพบแม้ที่ระยะ 5 เมตร

4.2.2 การศึกษาหาทิศทางการกระจายตัวของอนุภาคเขม่าปืนของปืน Semi-Automatics

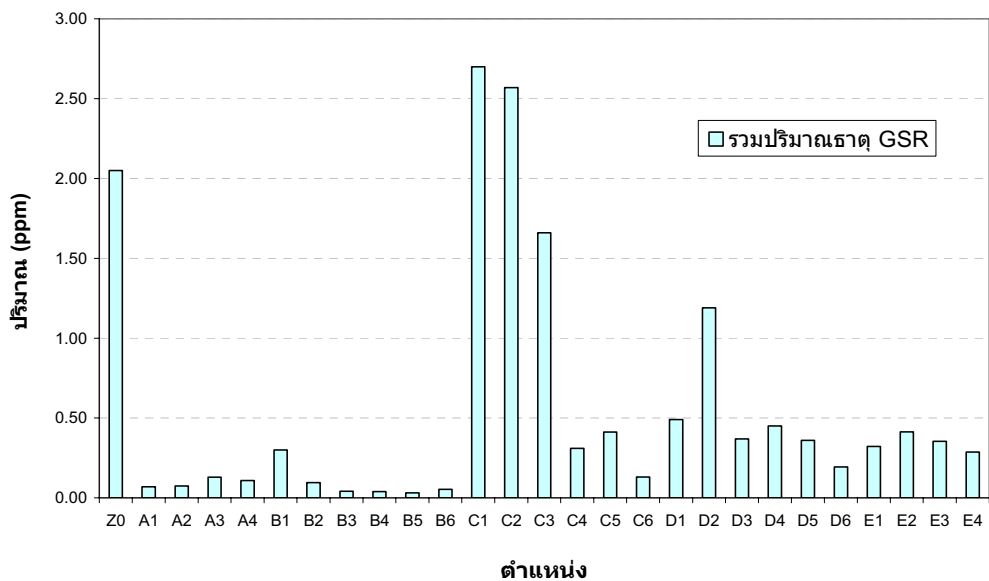
จากการทดลองหาทิศทางการกระจายตัวของอนุภาคเขม่าปืนใน 5 ทิศทางที่แผ่ออกจากจุดยิงในห้องปืน อุณหภูมิ, ความชื้น และความเร็วลมถูกควบคุมให้ในช่วงที่กำหนด ยิงโดยใช้ปืน Semi-Automatics ยี่ห้อ Glock model 19 กระสุนปืน ยี่ห้อ Winchester ขนาด 9 mm ทำการเก็บเขม่าปืน หรืออนุภาค Gunshot Residue (GSR) ภายหลังการยิงปืนทั้งหมด 5 นัดบนแผ่นกระเบื้องที่ถูกวางโดยรอบจากจุดยิงใน 5 ทิศทาง ทำการทดลองซ้ำทั้งหมด 3 ครั้ง ตรวจวิเคราะห์ด้วยเครื่อง Inductively Coupled Plasma - Optical Emission Spectrometer (ICP-OES) ได้ผลการทดลองดังตารางที่ 3 และตามภาพที่ 39, 40 และ 41

ตารางที่ 3 แสดงปริมาณชาตุ GSR ที่กระจายตัวอยู่รอบๆ ดึงจากปืน Semi-Automatics จากการทดลองยิงทั้ง 3 ครั้งที่ อุณหภูมิช่วง 30.55-30.62 °C ความชื้นสัมพัทธ์ 47.25-46.00% และความเร็วลม 0.04-0.05 m/s

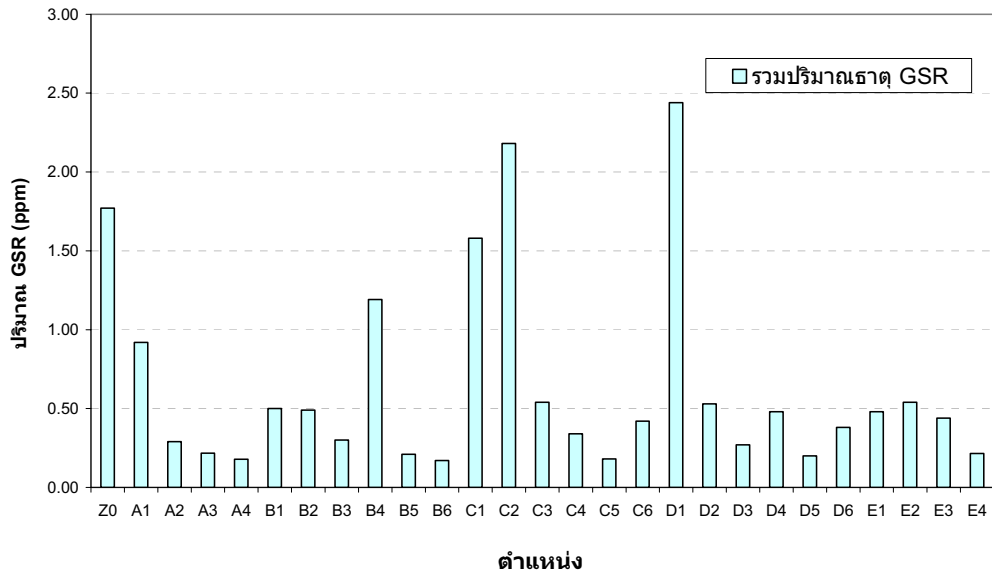
sample	อนุภาค Ba			อนุภาค Sb			อนุภาค Pb			ปริมาณรวมของชาตุ (เฉลี่ย 3 ครั้ง) (ppm)
	ครั้งที่ 1	ครั้งที่ 2	ครั้งที่ 3	ครั้งที่ 1	ครั้งที่ 2	ครั้งที่ 3	ครั้งที่ 1	ครั้งที่ 2	ครั้งที่ 3	
Z0	1.25	1.70	0.95	0.64	0.00	0.31	0.54	0.35	0.51	1.76
A1	0.08	0.07	0.24	0.34	0.00	0.36	0.00	0.00	0.32	0.40
A2	0.00	0.08	0.16	0.00	0.00	0.00	0.00	0.00	0.13	0.13
A3	0.10	0.07	0.14	0.00	0.00	0.00	0.00	0.06	0.08	0.18
A4	0.28	0.05	0.07	0.00	0.00	0.00	0.18	0.06	0.11	0.39
B1	0.30	0.19	0.19	0.00	0.00	0.00	0.37	0.11	0.31	0.61
B2	0.00	0.10	0.25	0.00	0.00	0.00	0.00	0.00	0.24	0.24
B3	0.07	0.04	0.10	0.00	0.00	0.00	0.09	0.00	0.20	0.27
B4	0.07	0.04	0.09	0.00	0.00	0.00	0.09	0.00	1.10	1.17
B5	0.07	0.03	0.21	0.00	0.00	0.00	0.09	0.00	0.00	0.07
B6	0.07	0.05	0.17	0.00	0.00	0.00	0.09	0.00	0.00	0.07
C1	0.93	1.20	0.77	0.48	0.76	0.00	0.49	0.74	0.81	2.50
C2	1.19	0.75	0.68	0.18	0.32	0.00	1.19	1.50	1.50	3.01
C3	0.30	0.56	0.25	0.00	0.00	0.00	0.28	1.10	0.29	0.59
C4	0.16	0.13	0.09	0.00	0.00	0.00	0.00	0.18	0.25	0.41
C5	0.17	0.06	0.18	0.00	0.00	0.00	0.12	0.35	0.00	0.17
C6	0.06	0.06	0.19	0.00	0.00	0.00	0.00	0.07	0.23	0.29
D1	0.12	0.13	0.24	0.00	0.00	0.00	0.95	0.36	2.20	2.32
D2	0.13	0.19	0.20	0.00	0.00	0.00	0.58	1.00	0.33	0.46
D3	0.09	0.10	0.14	0.00	0.00	0.00	0.43	0.27	0.13	0.22
D4	0.07	0.10	0.18	0.00	0.00	0.00	0.16	0.35	0.30	0.37
D5	0.06	0.10	0.20	0.00	0.00	0.00	0.00	0.26	0.00	0.06
D6	0.10	0.05	0.18	0.00	0.00	0.00	0.25	0.14	0.20	0.30
E1	0.12	0.08	0.14	0.00	0.00	0.00	0.69	0.24	0.34	0.46
E2	0.13	0.09	0.22	0.00	0.00	0.00	0.41	0.32	0.32	0.45
E3	0.08	0.09	0.18	0.00	0.00	0.00	0.16	0.26	0.26	0.34
E4	0.12	0.10	0.08	0.00	0.00	0.00	0.21	0.19	0.14	0.26



ภาพที่ 39 ปริมาณธาตุ GSR ทั้ง 3 ชาตุ ที่ตำแหน่งต่างๆ ของปืน Semi-Automatic ครั้งที่ 1



ภาพที่ 40 ปริมาณธาตุ GSR ทั้ง 3 ชาตุ ที่ตำแหน่งต่างๆ ของปืน Semi-Automatic ครั้งที่ 2

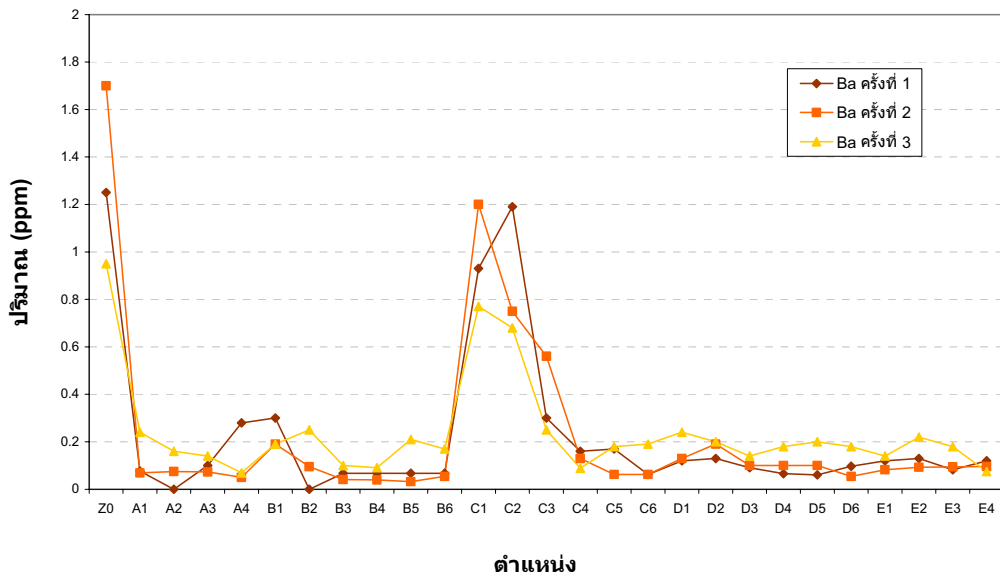


ภาพที่ 41 ปริมาณธาตุ GSR ทั้ง 3 ธาตุ ที่ตำแหน่งต่างๆของปืน Semi-Automatic ครั้งที่ 3

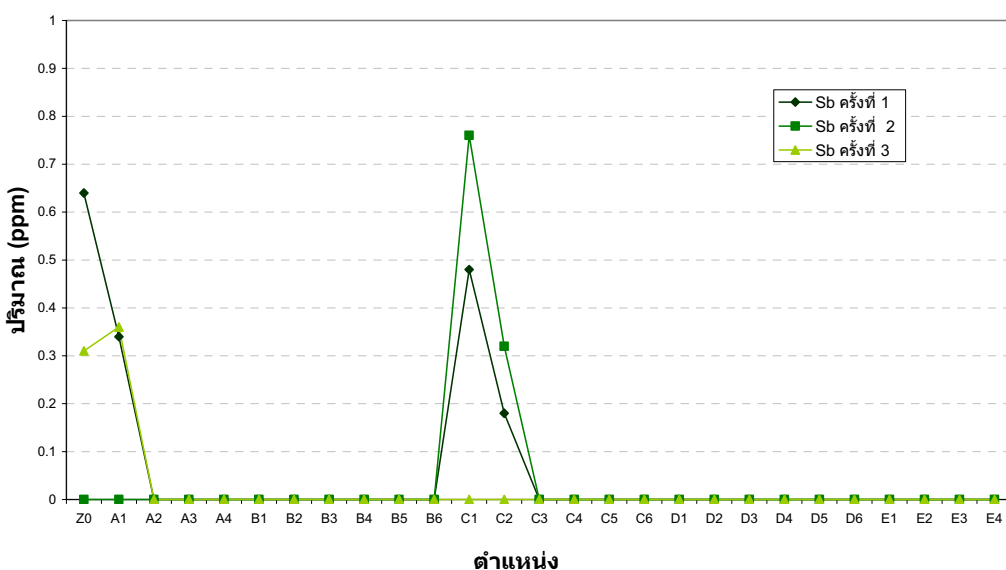
จากการทดลองยิงด้วยปืน Semi-Automatic ทั้ง 3 ครั้ง (ภาพที่ 39-41) พบว่า ครั้งที่ 1 พบปริมาณธาตุ GSR มากที่สุดที่ตำแหน่ง C2 (ด้านหน้า ที่ระยะ 1 เมตร) ครั้งที่ 2 พบมากที่สุดที่ตำแหน่ง C1 (ด้านหน้า ที่ระยะ 0.5 เมตร) ครั้งที่ 3 พบมากที่สุดที่ตำแหน่ง D1 (ด้านหน้าเฉียงไปทางด้านขวา 45° ที่ระยะ 0.5 เมตร) ซึ่งพบว่าจากการทดลองยิงทั้ง 3 ครั้ง ตำแหน่งที่พบปริมาณธาตุ GSR มากที่สุดแตกต่างกัน แต่เมื่อพิจารณาแนวโน้มการกระจาย พบว่าปริมาณธาตุ GSR จะถูกตรวจพบมากที่ตำแหน่งด้านหน้าและด้านหน้าเฉียงไปทางด้านขวา 45° ในช่วงระยะประมาณ 0.5-1 เมตร จากปลายปากกระบอกปืน

การเปรียบเทียบปริมาณธาตุ GSR

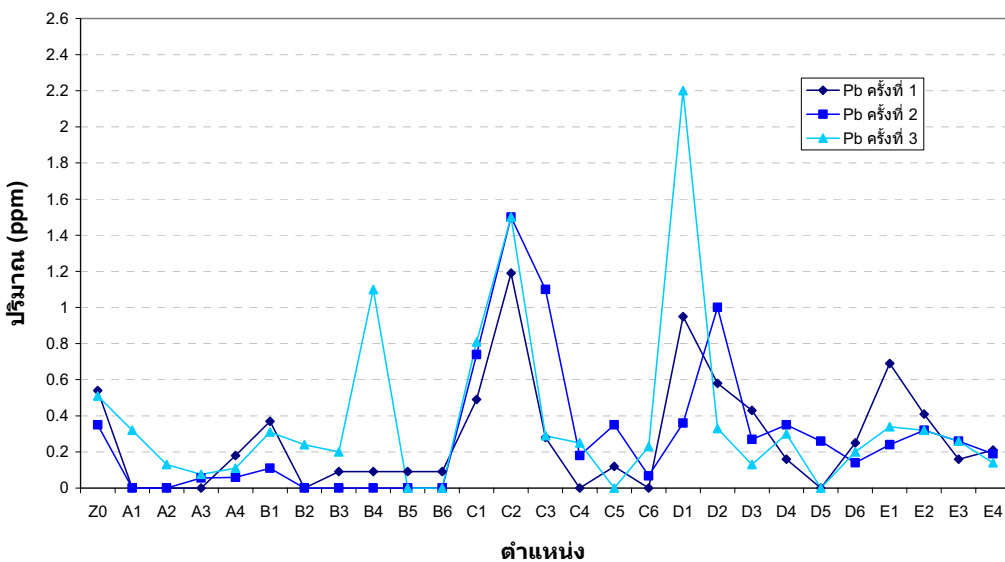
เมื่อนำค่าที่ได้จากการทดลองยิงแต่ละครั้ง ทั้งหมด 3 ครั้ง มาสร้างกราฟเปรียบเทียบกันเพื่อดูแนวโน้มของแต่ละธาตุ ใน 5 ทิศทาง ได้ผลการทดลองเป็นดังนี้



ภาพที่ 42 เปรียบเทียบการกระจายตัวของธาตุ Ba ในการยิงแต่ละครั้งของปืน Semi-Automatics



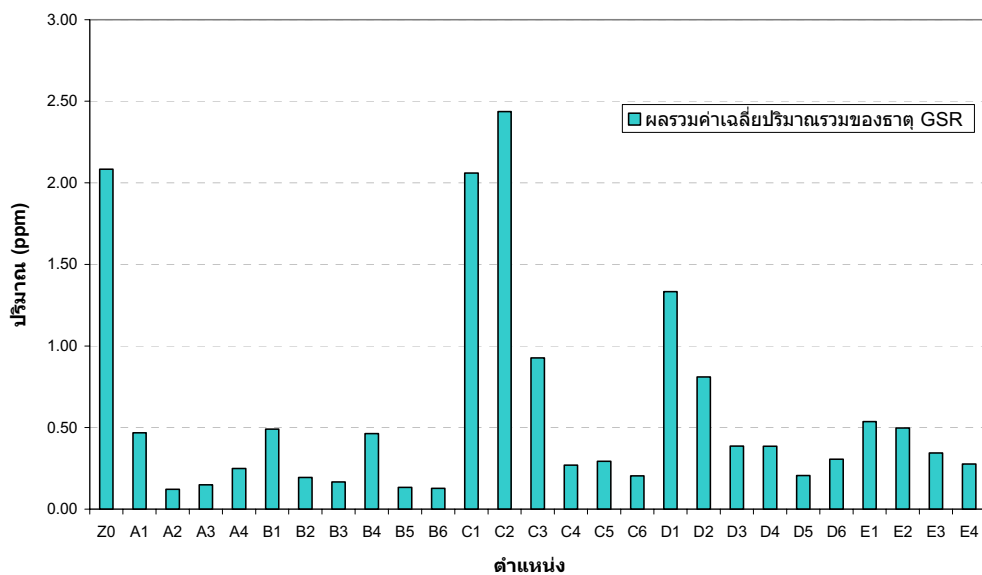
ภาพที่ 43 เปรียบเทียบการกระจายตัวของธาตุ Sb ในการยิงแต่ละครั้งของปืน Semi-Automatics



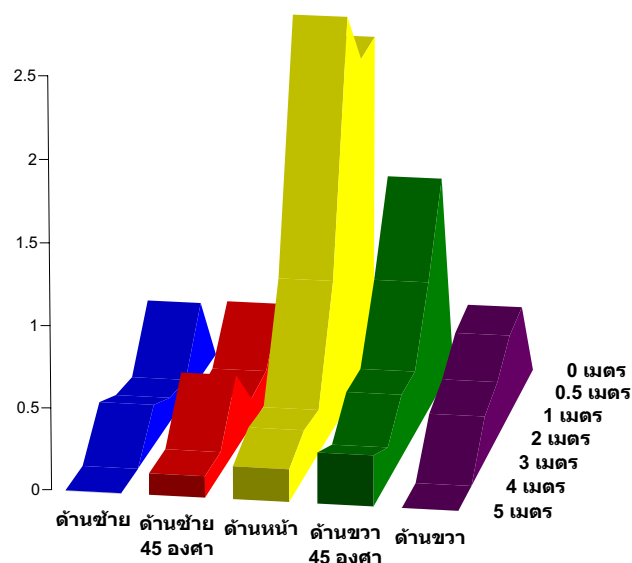
ภาพที่ 44 เปรียบเทียบการกระจายตัวของธาตุ Pb ในการยิงแต่ละครั้งของปืน Semi-Automatics

จากการเปรียบเทียบการกระจายตัวของธาตุ Ba, Sb และ Pb ในการยิงแต่ละครั้ง (ภาพที่ 42-44) พบว่า ในการทดลองยิงทั้ง 3 ครั้ง ธาตุทั้ง 3 ตัว มีปริมาณ และการกระจายตัว ณ ตำแหน่งต่างๆ ที่ใกล้เคียง และเป็นไปในทิศทางเดียวกัน

เมื่อนำค่าเฉลี่ยของผลรวมแต่ละธาตุที่ได้จากผลการทดลองยิงทั้งหมด 3 ครั้ง มา รวมกัน เพื่อคูณไว้น้มการกระจายตัวของธาตุ GSR ทั้ง 3 ธาตุที่ตำแหน่งต่างๆ แล้วนำมาข้อมูลมาสร้าง เป็นกราฟแท่ง และกราฟ 3 มิติ ได้ผลการทดลองเป็นดังนี้



ภาพที่ 45 กราฟสรุปค่าเฉลี่ยการกระจายตัวของอนุภาคเนม่าเป็น ชั้งประกอบด้วยธาตุ Ba, Sb และ Pb จากการยิงทึบหมุด 3 ครั้ง ในตำแหน่งต่างๆ ในปืน Semi-Automatics



ภาพที่ 46 กราฟ 3 มิติแสดงการสรุปค่าเฉลี่ยการกระจายตัวของอนุภาคเนม่าเป็น ชั้งประกอบด้วย ธาตุ Ba, Sb และ Pb จากการยิงทึบหมุด 3 ครั้งในตำแหน่งต่างๆ ในปืน Semi-Automatics

จากการภาพที่ 45-46 เมื่อนำค่าเฉลี่ยปริมาณของผลรวมในแต่ละราดูที่ได้จากการทดลองยิงทั้งหมด 3 ครั้ง มาพิจารณาแนวโน้มการกระจายตัวของเขม่าปืน ที่ตำแหน่งต่างๆ พบว่า ตรวจพบปริมาณราดู GSR มากที่สุดที่ตำแหน่งด้านหน้า ที่ระยะ 1 เมตร รองลงมา คือ ตำแหน่งด้านหน้าเฉียงไปทางด้านขวา และด้านขวา ตามลำดับ โดยระยะที่จะพบมากที่สุดอยู่ในช่วง 0.5 – 1 เมตร และลดลงตามลำดับ แต่ยังคงตรวจพบได้ที่ระยะ 5 เมตร ซึ่งจากการทดลองในปืน Semi-Automatic พบว่า มีแนวโน้มที่เขม่าปืนจะตกอยู่ใกล้กับจุดยิงมากกว่า เพราะที่ตำแหน่ง Z0 (ตำแหน่งปลายกระบอกปืน) สามารถตรวจพบปริมาณเขม่าปืนในปริมาณที่มากเช่นกัน ต่างจากปืน Revolver ที่เขม่าจะตรวจพบได้ใกล้กว่าคือที่ระยะ 2 เมตร โดยที่ตำแหน่ง Z0 (ตำแหน่งปลายกระบอกปืน) จะพบน้อยมาก หรือแทบไม่พบเลย

ส่วนปริมาณเขม่าปืนจากการทดลองยิงด้วยปืน Semi-Automatic เปรียบเทียบกับปริมาณเขม่าปืนที่ตรวจพบเทียบจากการทดลองยิงด้วยปืน Revolver จะพบว่ามีปริมาณน้อยกว่าอย่างชัดเจน (GSR maximum ในปืน Revolver เท่ากับ 33.16 ppm ส่วน GSR maximum ในปืน Semi-Automatic เท่ากับ 3.61 ppm) แต่เมื่อพิจารณาแนวโน้มการกระจายตัว พบว่าปืนทั้ง 2 ชนิด มีการกระจายตัวที่คล้ายคลึงและเป็นไปในทิศทางเดียวกัน นั่นก็คือ ด้านหน้าเฉียงไปทางด้านขวาเป็นส่วนใหญ่

4.3 ผลการศึกษาผลของระยะเวลาที่มีต่อการทดลองของเขม่าปืน ในห้องปิด

จากการทดลองยิงในห้องปิด โดยวางแผนการตรวจเชิงสำหรับเก็บปริมาณเขม่าปืน (GSR) ห่างจากผู้ยิงเป็นระยะทาง 2 เมตร ทางด้านหน้าผู้ยิงสำหรับปืน Revolver และ 1 เมตร สำหรับปืน Semi-Automatics โดยการทดลองนี้ถูกเลือก และกำหนดจากพื้นฐานของผลการทดลองที่ผ่านมา บนตำแหน่งที่ปริมาณเขม่าปืน (GSR) กระจายตัวรอบผู้ยิงมากที่สุด ตามการทดลองที่ 4.2

4.3.1 การศึกษาผลของระยะเวลาที่มีต่อการทดลองของเขม่าปืน ในปืน Revolver

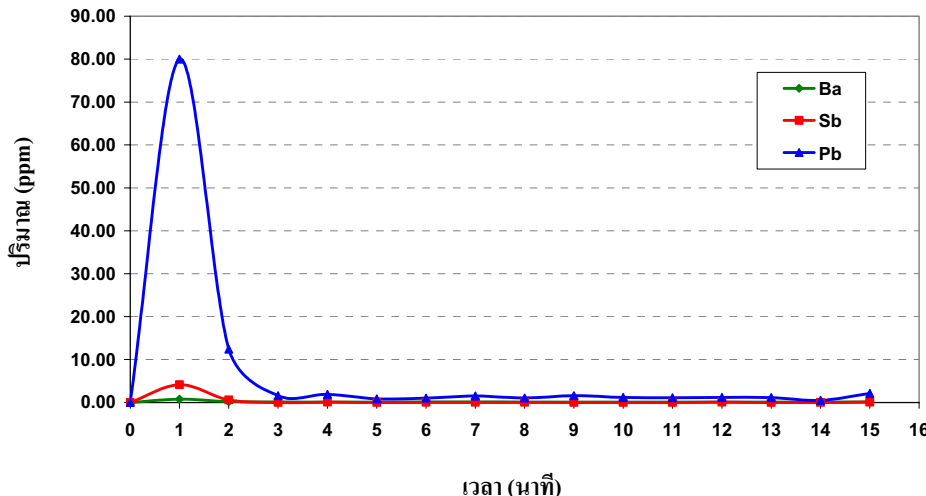
ทำการทดลองยิงในห้องปิด ควบคุมอุณหภูมิ ความชื้นสัมพันธ์ และความเร็วลมให้อยู่ในช่วงที่กำหนด ผู้ยิงทำการยิงปืน 5 นัด วางแผ่นกระเบื้องสำหรับเก็บปริมาณเขม่าปืน (GSR) ที่ตำแหน่ง 2 เมตร และดึงแผ่นกระเบื้องออกภายหลังการยิงปืนทุกๆ 1 นาที เป็นเวลา นาน 15 นาที ได้ผลการทดลองตามตารางที่ 4 และดังภาพที่ 47

ตารางที่ 4 ค่าเฉลี่ยผลของระยะเวลาที่มีต่อการตก降มาของเขม่าปืนในห้องปิด สำหรับปืน Revolver

จากการทดลองซ้ำ 2 ครั้ง ที่อุณหภูมิ 31.0-32.0 °C ความชื้นสัมพัทธ์ 41.0-46.0 % และ

ความเร็วลม 0.05-0.09 m/s

ปริมาณ GSR/ เวลา	ปริมาณ Ba			ปริมาณ Sb			ปริมาณ Pb			ปริมาณรวม ของธาตุ (ppm)
	ครั้งที่ 1	ครั้งที่ 2	เฉลี่ย	ครั้งที่ 1	ครั้งที่ 2	เฉลี่ย	ครั้งที่ 1	ครั้งที่ 2	เฉลี่ย	
นาทีที่ 0	0.000	0.000	0.000	0.000	0.000	0.000	0.000	0.000	0.000	0.000
นาทีที่ 1	1.300	0.210	0.755	6.100	2.200	4.150	122.000	38.000	80.000	84.905
นาทีที่ 2	0.220	0.190	0.205	0.480	0.730	0.605	6.600	18.200	12.400	13.210
นาทีที่ 3	0.140	0.075	0.108	0.000	0.000	0.000	2.100	1.100	1.600	1.708
นาทีที่ 4	0.084	0.082	0.083	0.000	0.140	0.070	1.600	2.200	1.900	2.053
นาทีที่ 5	0.095	0.069	0.082	0.000	0.000	0.000	0.950	0.730	0.840	0.922
นาทีที่ 6	0.110	0.110	0.110	0.047	0.000	0.024	0.810	1.200	1.005	1.139
นาทีที่ 7	0.130	0.130	0.130	0.110	0.000	0.055	1.500	1.500	1.500	1.685
นาทีที่ 8	0.075	0.070	0.073	0.086	0.000	0.043	1.200	0.920	1.060	1.176
นาทีที่ 9	0.110	0.087	0.099	0.000	0.000	0.000	1.800	1.400	1.600	1.699
นาทีที่ 10	0.087	0.068	0.078	0.000	0.000	0.000	1.300	1.100	1.200	1.278
นาทีที่ 11	0.096	0.077	0.087	0.000	0.000	0.000	1.000	1.200	1.100	1.187
นาทีที่ 12	0.110	0.091	0.101	0.130	0.000	0.065	1.400	0.950	1.175	1.341
นาทีที่ 13	0.065	0.082	0.074	0.000	0.000	0.000	0.640	1.600	1.120	1.194
นาทีที่ 14	0.074	0.077	0.076	0.000	0.000	0.000	0.480	0.550	0.515	0.591
นาทีที่ 15	0.110	0.120	0.115	0.160	0.000	0.080	2.800	1.400	2.100	2.295



ภาพที่ 47 ค่าเฉลี่ยระยะเวลาการตกของเขม่าปืน Revolver ที่ตำแหน่ง 2 เมตรจากปลายกระบอกปืน ทางด้านหน้าจากการทดลองทั้ง 2 ครั้ง

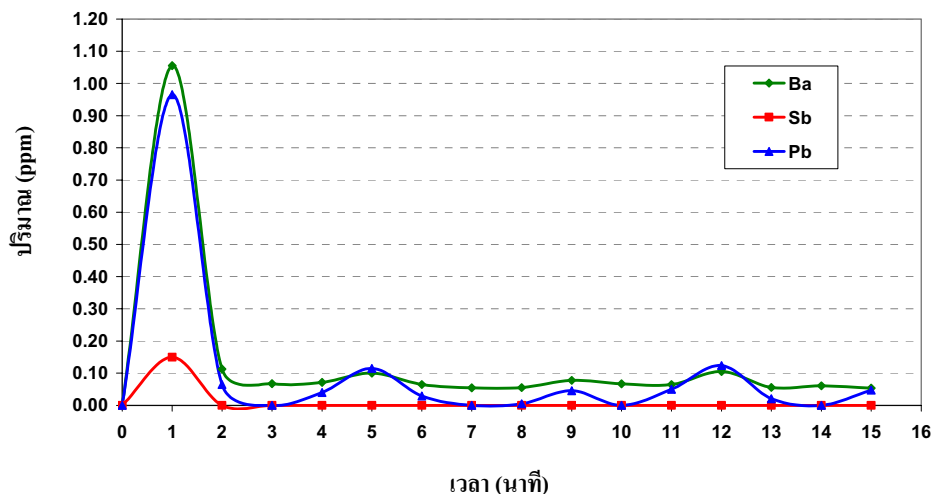
จากราฟแสดงความสัมพันธ์ของระยะเวลาที่มีผลต่อการตกลงมากของเขม่าปืน จากการทดลองยิงด้วยปืน Revolver ในห้องปิด พบริมาณเขม่าปืนตกลงมากที่สุดในช่วงระยะเวลา 1-3 นาทีแรก หลังจากนั้นจะค่อยๆลดปริมาณลงตามลำดับ โดยเมื่อเวลาผ่านไปนานถึง 15 นาทีแล้ว ก็ยังคงสามารถตรวจพบเขม่าปืนได้ ชาตุที่พบมากที่สุดคือ Pb ซึ่งพบในปริมาณสูงต่างจาก ชาตุชนิดอื่นๆค่อนข้างมาก แต่เมื่อคุณวโน้มของทั้ง 3 ชาตุแล้ว พบร่วมกันในปริมาณสูงต่างๆกัน ไม่มีแนวโน้มการตกเป็นไปในทิศทางเดียวกัน

4.3.2 การศึกษาผลของระยะเวลาที่มีต่อการตกลงมากของเขม่าปืน ในปืน Semi-Automatics

ทำการทดลองยิงในห้องปิด ควบคุมอุณหภูมิ ความชื้นสัมพันธ์ และความเร็วลมให้อยู่ในช่วงที่กำหนด ผู้ยิงทำการยิงปืน 5 นัด วางแผ่นกระเบื้องสำหรับเก็บอนุภาคเขม่าปืน (GSR) ที่ตำแหน่ง 1 เมตร และดึงแผ่นกระเบื้องออกภายหลังการยิงปืนทุกๆ 1 นาที เป็นเวลา นาน 15 นาที ได้ผลการทดลองตามตารางที่ 5 และดังภาพที่ 48

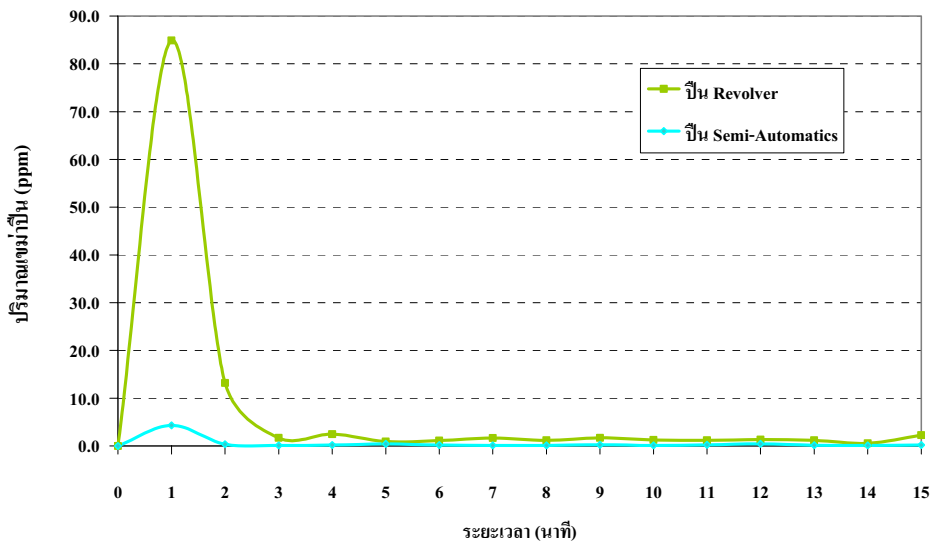
ตารางที่ 5 ค่าเฉลี่ยผลของระยะเวลาที่มีต่อการทดลองมากองเบนปืนในห้องปิด สำหรับปืน Semi-Automatics จากการทดลองซ้ำ 2 ครั้ง ที่อุณหภูมิ 31.0-32.0 °C ความชื้นสัมพัทธ์ 41.0-46.0 % และความเร็วลม 0.05-0.09 m/s

เวลา/ ปริมาณ GSR	ปริมาณ Ba			ปริมาณ Sb			ปริมาณ Pb			ปริมาณรวม ของธาตุ (ppm)
	ครั้งที่ 1	ครั้งที่ 2	เฉลี่ย	ครั้งที่ 1	ครั้งที่ 2	เฉลี่ย	ครั้งที่ 1	ครั้งที่ 2	เฉลี่ย	
นาทีที่ 0	0.000	0.000	0.000	0.000	0.000	0.000	0.000	0.000	0.000	0.000
นาทีที่ 1	0.610	1.500	2.110	0.000	0.300	0.300	0.430	1.500	1.930	4.340
นาทีที่ 2	0.065	0.160	0.225	0.000	0.000	0.000	0.000	0.130	0.130	0.355
นาทีที่ 3	0.081	0.054	0.135	0.000	0.000	0.000	0.000	0.000	0.000	0.135
นาทีที่ 4	0.045	0.098	0.143	0.000	0.000	0.000	0.000	0.080	0.080	0.223
นาทีที่ 5	0.041	0.160	0.201	0.000	0.000	0.000	0.000	0.230	0.230	0.431
นาทีที่ 6	0.051	0.079	0.130	0.000	0.000	0.000	0.000	0.059	0.059	0.189
นาทีที่ 7	0.037	0.072	0.109	0.000	0.000	0.000	0.000	0.000	0.000	0.109
นาทีที่ 8	0.038	0.072	0.110	0.000	0.000	0.000	0.000	0.010	0.010	0.120
นาทีที่ 9	0.078	0.077	0.155	0.000	0.000	0.000	0.091	0.000	0.091	0.246
นาทีที่ 10	0.067	0.067	0.134	0.000	0.000	0.000	0.000	0.000	0.000	0.134
นาทีที่ 11	0.051	0.079	0.130	0.000	0.000	0.000	0.000	0.100	0.100	0.230
นาทีที่ 12	0.081	0.130	0.211	0.000	0.000	0.000	0.078	0.170	0.248	0.459
นาทีที่ 13	0.054	0.058	0.112	0.000	0.000	0.000	0.042	0.000	0.042	0.154
นาทีที่ 14	0.061	0.061	0.122	0.000	0.000	0.000	0.000	0.000	0.000	0.122
นาทีที่ 15	0.038	0.069	0.107	0.000	0.000	0.000	0.000	0.095	0.095	0.202



ภาพที่ 48 ค่าเฉลี่ยระยะเวลาการตกลงของเขม่าปืน Semi-Automatics ที่ตั้มแห่น่ง 1 เมตรจากปลายกระบอกปืนทางด้านหน้าจากการทดลองทั้ง 2 ครั้ง

จากราฟแสดงความสัมพันธ์ของระยะเวลาที่มีต่อการตกลงของเขม่าปืน ในปืน Semi-Automatics ในห้องปิด พบปริมาณเขม่าปืนตกลงมากที่สุดในช่วงระยะเวลา 1-2 นาทีแรก หลังจากนั้นจะอยู่ๆ ลดปริมาณลงตามลำดับ ซึ่งเขม่าปืนใช้เวลาในการตกลงนานกว่าในปืน Revolver และยังคงสามารถตรวจพบเขม่าปืนได้ เมื่อเวลาผ่านไปนานถึง 15 นาทีแล้วเช่นเดียวกัน ปริมาณ Pb และ Ba ถูกตรวจพบในปริมาณที่ใกล้เคียงกัน แต่เมื่อถูวนอนัมของทั้ง 3 ชาตุแล้วพบว่ามีแนวโน้มการตกลงไปในทิศทางเดียวกัน



ภาพที่ 49 เปรียบเทียบระยะเวลาการตกลงของเขม่าปืนจากปืน Revolver กับปืน Semi-Automatics

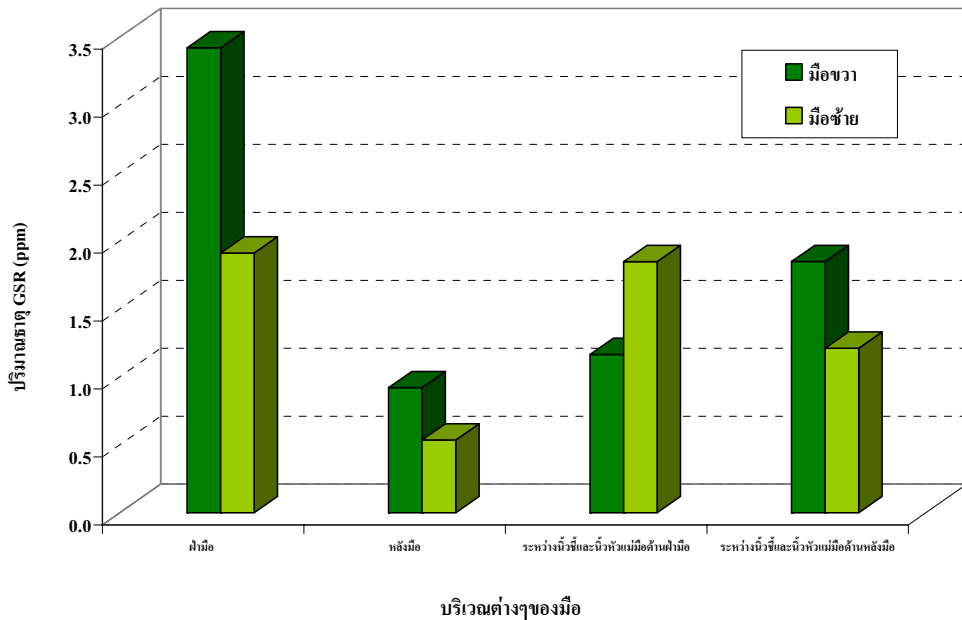
เมื่อนำผลการทดลองการศึกษาหาผลของการตกลงของระยะเวลาที่มีต่อการตกลงมากของเขม่าปืน จากปืน ทั้ง 2 ชนิด ในห้องปิดมาเปรียบเทียบกัน จะพบว่า ช่วงระยะเวลาที่พบปริมาณเขม่าปืนตกลงมากที่สุดคือ ระยะเวลา 1-3 นาทีแรก หลังจากนั้นจะค่อยๆ ลดปริมาณลงตามลำดับ โดยเขม่าปืน ส่วนใหญ่ของปืน Semi-Automatics ใช้เวลาในการตกลงนานน้อยกว่าในปืน Revolver และปริมาณที่พบก็น้อยกว่ากันอย่างชัดเจน แต่สิ่งที่เหมือนกันคือ ยังคงสามารถตรวจพบเขม่าปืนได้ เมื่อเวลาผ่านไป 15 นาที

4.4 ผลการศึกษาหาปริมาณความเข้มข้นของธาตุ GSR ในบริเวณที่แตกต่างกันของมือ

จากการทดลองศึกษาหาปริมาณธาตุ GSR ในบริเวณที่แตกต่างกันของมือ จากการยิงปืนทั้ง 2 ชนิด บนบริเวณมือผู้ยิง 4 บริเวณ ประกอบด้วย ฝ่ามือ หลังมือ ระหว่างนิ้วชี้และนิ้วหัวแม่มือด้านฝ่ามือ และระหว่างนิ้วชี้และนิ้วหัวแม่มือด้านหลังมือ ทั้งในมือซ้ายและมือขวา ภายหลังการยิงปืน 5 นัด ได้ผลการทดลองจากการยิงด้วยปืน Revolver ตามตารางที่ 6 และปืน Semi-Automatics ตามตารางที่ 7

ตารางที่ 6 แสดงปริมาณของธาตุ GSR ในบริเวณที่แตกต่างกันของมือทั้ง 2 ข้างจากปืน Revolver

ปืน Revolver	ตำแหน่ง	Ba (ppm)	Sb (ppm)	Pb (ppm)	ปริมาณรวมของธาตุ GSR (ppm)
มือขวา	ฝ่ามือ	0.300	0.220	2.900	3.420
	หลังมือ	0.120	0.000	0.800	0.920
	ระหว่างนิ้วชี้และนิ้วหัวแม่มือด้านฝ่ามือ	0.110	0.054	1.000	1.164
	ระหว่างนิ้วชี้และนิ้วหัวแม่มือด้านหลังมือ	0.170	0.078	1.600	1.848
มือซ้าย	ฝ่ามือ	0.160	0.150	1.600	1.910
	หลังมือ	0.065	0.000	0.470	0.535
	ระหว่างนิ้วชี้และนิ้วหัวแม่มือด้านฝ่ามือ	0.160	0.087	1.600	1.847
	ระหว่างนิ้วชี้และนิ้วหัวแม่มือด้านหลังมือ	0.110	0.000	1.100	1.210



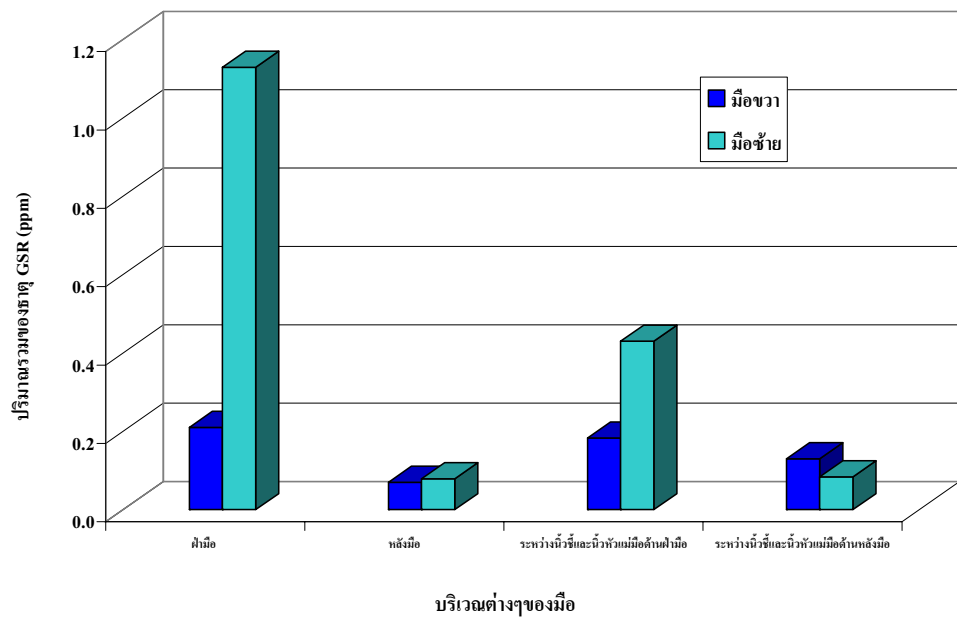
ภาพที่ 50 ปริมาณชาตุ GSR ในบริเวณที่แตกต่างกันของมือ จากปืน Revolver

จากการทดลองหาปริมาณ GSR ในบริเวณที่แตกต่างกันทั้งในมือซ้ายและมือขวา จากปืน Revolver ทำการทดลองยิง 2 ครั้ง พบว่า ปริมาณ GSR พุ่มมากที่สุดบริเวณฝ่ามือทั้งมือซ้ายและมือขวา โดยพบในมือซ้ายมากกว่า รองลงมาเป็นบริเวณด้านฝ่ามือระหว่างนิ้วชี้และนิ้วหัวแม่มือแต่พบในมือขวามากกว่า

ตารางที่ 7 แสดงปริมาณของธาตุ GSR ในบริเวณที่แตกต่างกันของมือทั้ง 2 ข้างจากปืน

Semi-Automatics

Semi-Automatics	ตำแหน่ง	Ba (ppm)	Sb (ppm)	Pb (ppm)	ปริมาณรวมของธาตุ GSR (ppm)
มือขวา	ฝ่ามือ	0.110	0.000	0.100	0.210
	หลังมือ	0.070	0.000	0.000	0.070
	ระหว่างนิ้วซี่และนิ้วหัวแม่มือด้านฝ่ามือ	0.110	0.073	0.000	0.183
	ระหว่างนิ้วซี่และนิ้วหัวแม่มือด้านหลังมือ	0.130	0.000	0.000	0.130
มือซ้าย	ฝ่ามือ	0.500	0.170	0.620	1.290
	หลังมือ	0.079	0.000	0.000	0.079
	ระหว่างนิ้วซี่และนิ้วหัวแม่มือด้านฝ่ามือ	0.120	0.000	0.310	0.430
	ระหว่างนิ้วซี่และนิ้วหัวแม่มือด้านหลังมือ	0.084	0.000	0.000	0.084



ภาพที่ 51 ปริมาณธาตุ GSR ในบริเวณที่แตกต่างกันของมือ จากปืน Semi-Automatics

จากการทดลองหาปริมาณชาตุ GSR ในบริเวณที่แตกต่างกันทั้งในมือซ้ายและมือขวา จากปืน Semi-Automatics ทำการทดลองยิง 2 ครั้ง พบว่า ปริมาณ GSR พบมากที่สุดบริเวณฝ่ามือทั้งมือซ้ายและมือขวา โดยพบในมือซ้ายมากกว่า รองลงมาพบริเวณด้านฝ่ามือระหว่างนิ้วชี้และนิ้วหัวแม่มือแต่พบในมือขวามากกว่า ซึ่งผลการทดลองมีลักษณะเช่นเดียวกับผลจากการทดลองด้วยปืน Revolver

บทที่ 5

วิเคราะห์และสรุปผลการทดลอง

5.1 วิเคราะห์ผลการศึกษาหาทิศทางการกระจายตัวของอนุภาคเหมือนปืน

การศึกษาหาทิศทางการกระจายตัวของอนุภาคเหมือนปืนของปืน Revolver และ Semi-Automatics ในห้องปิดพบว่า อนุภาค Pb เป็นอนุภาคที่พบมากที่สุดภายหลังการยิงปืน และเมื่อเปรียบเทียบการกระจายตัวของแต่ละอนุภาค จากการทดลองยิงทั้ง 3 ครั้งพบว่า อนุภาคเหมือนปืนจากปืนทั้ง 2 ชนิด มีทิศทางการกระจายตัวไปในทิศทางเดียวกัน คือ ในทิศทางด้านหน้า และด้านขวา โดยจากค่าเฉลี่ยพบว่าตำแหน่งที่พบอนุภาค GSR มากที่สุด จะอยู่ที่ทิศทางด้านหน้า และด้านขวา เนื่องไปด้านหน้า 45° ที่ระยะ 0.5-2.0 เมตร ยกเว้นบริเวณตำแหน่งปลายกระบอกปืน หรือ ZO จากการทดลองยิงด้วยปืน Semi-Automatics จะตรวจพบปริมาณอนุภาค GSR อยู่มากกว่า ซึ่งแตกต่างจากผลการทดลองยิงด้วยปืน Revolver ที่พบปริมาณอนุภาค GSR อยู่บริเวณตำแหน่งปลายกระบอกปืนเพียงเล็กน้อย ส่วนปริมาณอนุภาคเหมือนปืนของปืน Revolver จะอยู่ในช่วงประมาณ 0-30 ppm ส่วนปริมาณอนุภาคเหมือนปืนของปืน Semi-Automatics จะพบน้อยกว่ามาก คือประมาณ 0-3 ppm ดังแสดงด้วยตารางที่ 8

ตารางที่ 8 แสดงปริมาณของชาตุ GSR ที่ตรวจพบได้ในปืน Revolver (ppm)

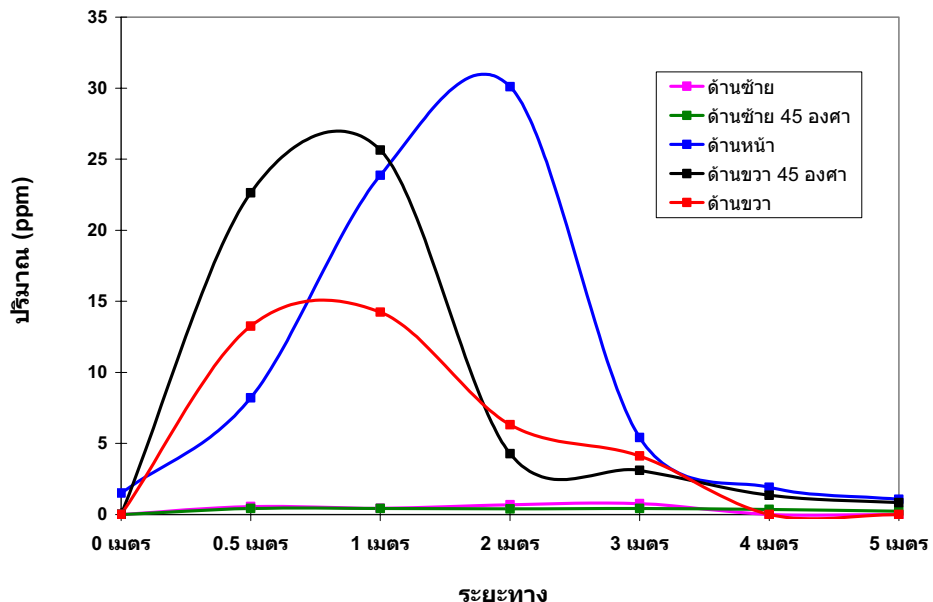
ปริมาณของชาตุ GSR ที่ตรวจพบได้ในปืน Revolver (ppm)					
ระยะทาง	ด้านซ้าย	ด้านซ้าย 45° องศา	ด้านหน้า	ด้านขวา 45° องศา	ด้านขวา
0 เมตร	0.00	0.00	1.50	0.00	0.00
0.5 เมตร	0.56	0.42	8.20	22.63	13.25
1 เมตร	0.44	0.43	23.87	25.64	14.24
2 เมตร	0.68	0.40	30.11	4.28	6.32
3 เมตร	0.76	0.42	5.42	3.10	4.12
4 เมตร	0.00	0.36	1.91	1.36	0.00
5 เมตร	0.00	0.23	1.07	0.83	0.00

ตารางที่ 8 แสดงปริมาณของชาตุ GSR ที่ตรวจพบได้ในแต่ละทิศทางจากการยิงในห้องปิด(ต่อ)

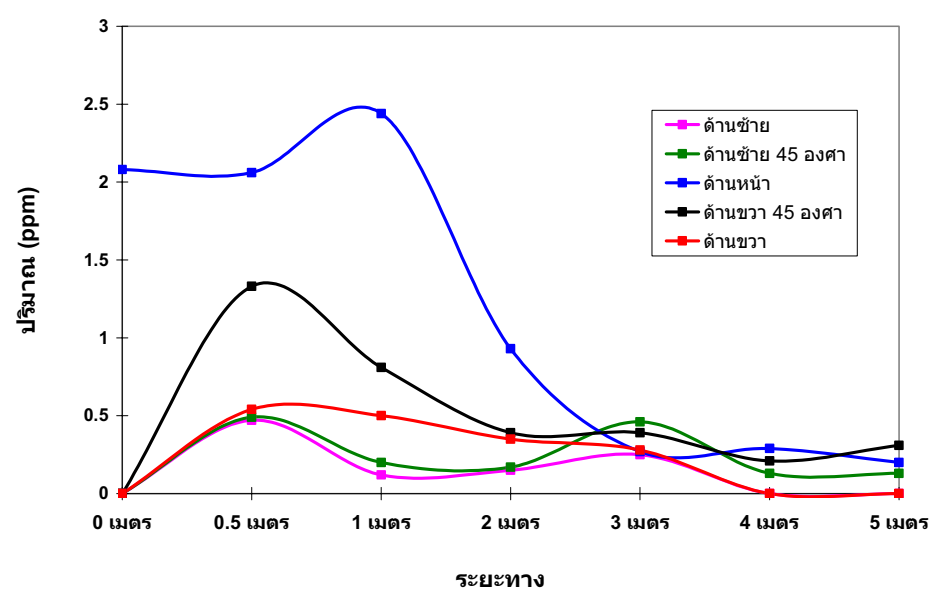
ปริมาณของชาตุ GSR ที่ตรวจพบได้ในปืน Semi-Automatics (ppm)					
ระยะทาง	ด้านซ้าย	ด้านซ้าย 45 องศา	ด้านหน้า	ด้านขวา 45 องศา	ด้านขวา
0 เมตร	0.00	0.00	2.08	0.00	0.00
0.5 เมตร	0.47	0.49	2.06	1.33	0.54
1 เมตร	0.12	0.20	2.44	0.81	0.50
2 เมตร	0.15	0.17	0.93	0.39	0.35
3 เมตร	0.25	0.46	0.27	0.39	0.28
4 เมตร	0.00	0.13	0.29	0.21	0.00
5 เมตร	0.00	0.13	0.20	0.31	0.00

จากตารางที่ 8 ในปืน Revolver พบว่า ยังสามารถตรวจพบอนุภาค GSR ได้ในระยะ 5 เมตร จากจุดยิง ระยะที่พบปริมาณอนุภาค GSR มากที่สุดอยู่ในช่วง 0.5-2.0 เมตร และทิศทางที่พบปริมาณอนุภาค GSR มากที่สุดคือ ทางด้านหน้าทิศเดียวกับการยิง รองลงมา คือทางด้านหน้าเฉียงไปทางขวา 45° และ ด้านขวาของผู้ยิง ตามลำดับ เมื่อนำทิศทางทั้ง 5 มา สร้างกราฟร่วมกันเพื่อเปรียบเทียบ ได้ดังภาพที่ 52

ส่วนในปืน Semi-Automatics ได้ผลการทดลองที่มีแนวโน้มเช่นเดียวกับในปืน Revolver โดยระยะที่พบปริมาณอนุภาค GSR มากที่สุดอยู่ในช่วง 0-1.0 เมตร เมื่อนำทิศทางทั้ง 5 มา สร้างกราฟร่วมกันเพื่อเปรียบเทียบ ได้ดังภาพที่ 53

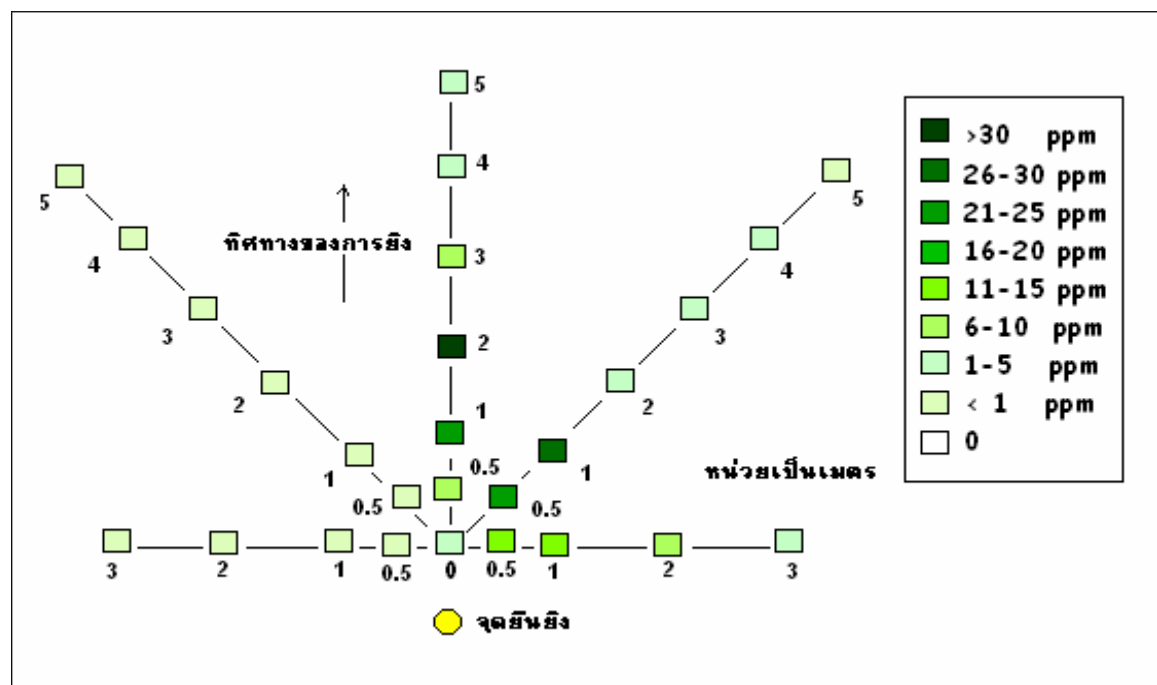


ภาพที่ 52 การเปรียบเทียบทิศทางที่พบปริมาณชาตุ GSR มากที่สุดในปืน Revolver

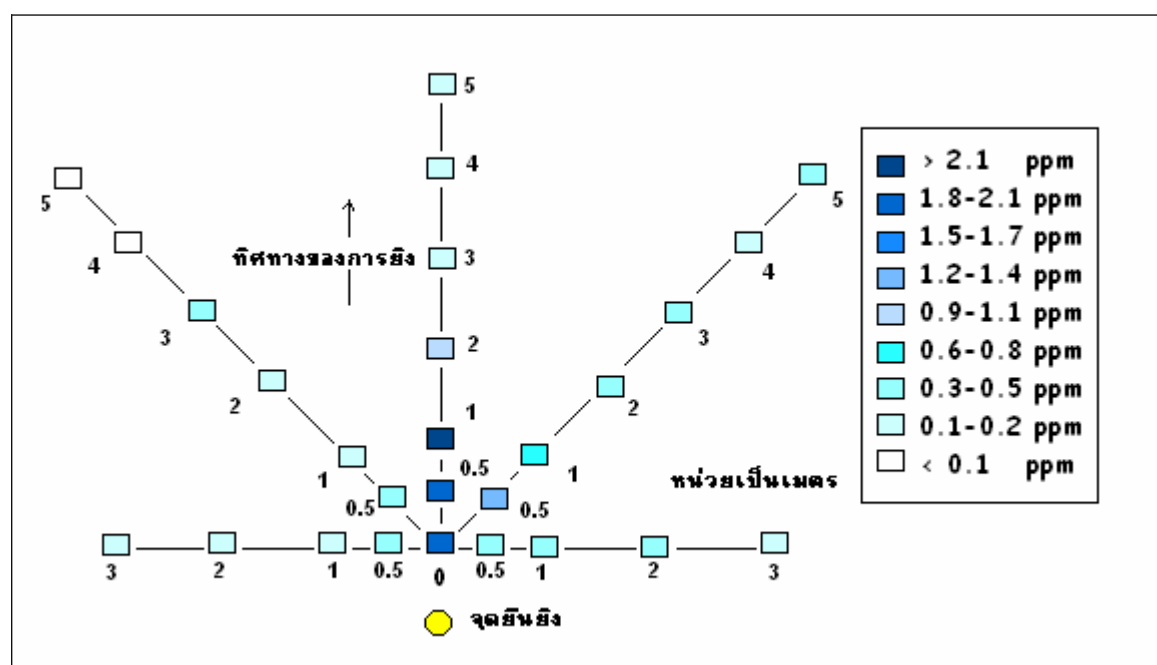


ภาพที่ 53 การเปรียบเทียบทิศทางที่พบปริมาณชาตุ GSR มากที่สุดในปืน Semi-Automatics

เมื่อนำผลการทดลองจากการด้านบน มาแสดงตำแหน่งที่ตรวจพบปริมาณชาตุ GSR โดยใช้สีแสดงปริมาณเข้มปืนด้วยระดับสีต่างๆ ໄล่จากเข้มไปอ่อน ได้ผลเป็นดังภาพที่ 54 สำหรับปืน Revolver และดังภาพที่ 55 สำหรับปืน Semi-Automatics



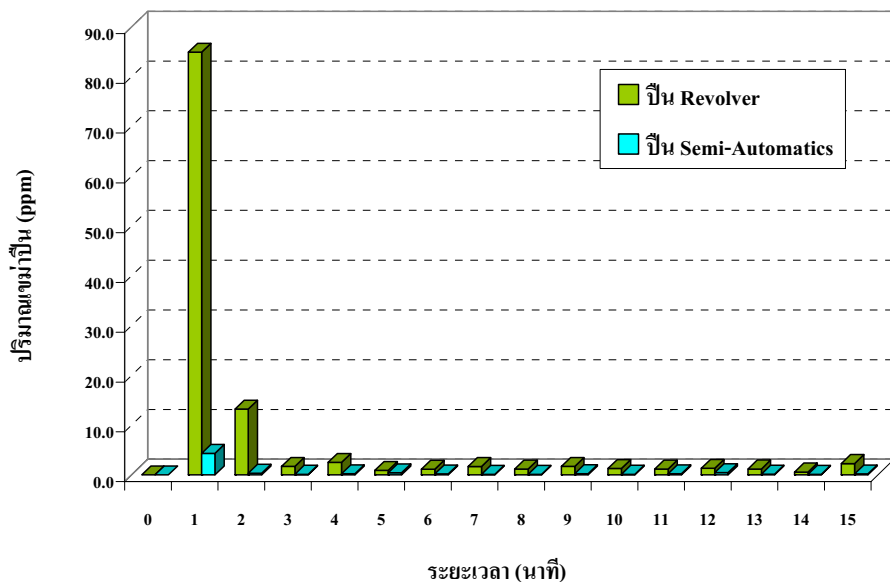
ภาพที่ 54 ตำแหน่งที่ตรวจพบชาตุ GSR ในปริมาณต่างๆ จากการยิงด้วยปืน Revolver



ภาพที่ 55 ตำแหน่งที่ตรวจพบชาตุ GSR ในปริมาณต่างๆ จากการยิงด้วยปืน Semi-Automatics

5.2 วิเคราะห์ผลการศึกษาหาผลของระยะเวลาที่มีต่อการตกลงมากของเขม่าปืนในห้องปิด

การศึกษาหาผลของระยะเวลาที่มีต่อการตกลงมากของเขม่าปืนในปืน Revolver และ Semi-Automatics ในห้องปิด พบว่าเมื่อนำตัวอย่างไปตรวจวิเคราะห์ด้วยเครื่อง Inductively Coupled Plasma - Optical Emission Spectrometer (ICP-OES) เพื่อวิเคราะห์ชาตุที่อยู่ในองค์ประกอบของเขม่าปืน ได้แก่ Pb, Ba และ Sb และนำค่าที่ได้มาสร้างกราฟเปรียบเทียบจากการยิงด้วยปืน Revolver และจากการยิงด้วยปืน Semi-Automatics ในฟังก์ชันของเวลา ได้ผลการทดลองดังภาพที่ 56



ภาพที่ 56 กราฟเปรียบเทียบระยะเวลาการตกลงของอนุภาค GSR จากปืน Revolver เทียบกับปืน Semi-Automatics

ผลการทดลองหาระยะเวลาการตกลงของเขม่าปืนพบว่า จากการทดลองยิงด้วยปืน Revolver ในช่วง 1-3 นาทีแรก สามารถตรวจพบอนุภาค GSR ได้ในปริมาณมาก และค่อยๆลดลงหลังจากนั้น แต่ยังสามารถตรวจพบได้แม่เวลาจะผ่านไปนาน 15 นาที โดยอนุภาคที่สามารถตรวจพบมากที่สุด คือ อนุภาค Pb โดยสามารถพบได้มากถึง 80 ppm ส่วนในปืน Semi-Automatics พบว่า ผลการทดลองมีแนวโน้มเป็นไปในทิศทางเดียวกัน โดยพบอนุภาค Pb และ Ba ในปริมาณใกล้เคียงกัน แต่ปริมาณเขม่าปืนที่พบนั้นน้อยกว่าในปืน Revolver ค่อนข้างมาก โดยอยู่ในช่วง 0.1-1.1 ppm และพบมากที่สุดในช่วง 1-2 นาทีแรกเท่านั้น

5.3 วิเคราะห์ผลการศึกษาหาอนุภาค GSR ในบริเวณที่แตกต่างกันของมือ ในปืน Revolver และ Semi-Automatics

จากการทดลองศึกษาหาปริมาณชาตุ GSR ในบริเวณที่แตกต่างกันของมือ ในปืนทั้ง 2 ชนิด บนบริเวณของมือผู้ยิง 4 บริเวณ ประกอบด้วย ฝ่ามือ หลังมือ ระหว่างนิ้วชี้และนิ้วหัวแม่มือ ด้าน ฝ่ามือ และระหว่างของนิ้วชี้และนิ้วหัวแม่มือด้านหลังมือ ทั้งในมือซ้ายและมือขวา ภายหลัง การยิงปืน 5 นัด ได้ผลการทดลองยิงด้วยปืน Revolver พบว่าปริมาณชาตุ GSR ตรวจพบได้บริเวณ มือขวามากกว่า ส่วนปืน Semi-Automatics ตรวจพบปริมาณชาตุ GSR ในมือซ้ายมากกว่า โดยใน ปืนทั้ง 2 ชนิดนั้น บริเวณที่พบอนุภาค GSR มากที่สุด คือ ฝ่ามือ และระหว่างนิ้วชี้และนิ้วหัวแม่มือ ด้านฝ่ามือ

นอกจากนี้ การเก็บเขม่าปืนจากมือผู้ต้องสงสัย โดยทั่วไปจะเก็บบริเวณระหว่างนิ้วชี้ และนิ้วหัวแม่มือนั้น แต่จากการทดลองเบื้องต้น พบว่าบริเวณฝ่ามือของมือทั้ง 2 ข้างก็พบเขม่าปืนในปริมาณมากเช่นกัน จึงควรเก็บเขม่าปืนที่บริเวณฝ่ามือเพิ่มเติมด้วย

5.4 อภิปรายผลการทดลอง

ในการศึกษางานวิจัยนี้ มีแนวคิดมาจากการตั้งประเด็นในการสืบสวนสอบสวนคดีต่างๆ ที่เกี่ยวกับการยิงปืน ได้แก่

1. ปริมาณที่เป็นไปได้ในการตรวจพบอนุภาค GSR ในสิ่งแวดล้อม
2. การกระจายตัวของอนุภาค GSR ในระบบปิด ในปืนและกระสุนปืนต่างชนิดกัน
3. เวลาที่มีต่อการคงอยู่อนุภาค GSR ภายหลังการยิงปืน และช่วงเวลาที่น้อยที่สุดที่เขม่าปืนจะไม่ตกลงมาอีก
4. บริเวณที่สามารถตรวจพบเขม่าปืนมากที่สุดในมือของผู้ยิงทั้ง 2 ข้าง
5. การแยกความแตกต่างระหว่างผู้ยิงกับบุคคลอื่น หรือตำแหน่งการยืนของผู้ยิงว่าขึ้นมาจากการตำแหน่งใด ตรงตามการให้การของทั้งพยานหรือผู้ต้องสงสัยหรือไม่ เป็นต้น

จึงได้ทำการออกแบบการทดลองดังกล่าว ซึ่งจากการทดลองหากการกระจายตัวของอนุภาค GSR ในฟังก์ชันของระยะทาง และเวลา สามารถสรุปได้ว่า อนุภาค GSR ยังสามารถตรวจพบได้ แม้ที่ระยะถึง 5 เมตร จากจุดยิง แต่ปริมาณสูงสุดของอนุภาค GSR ไม่ได้พบที่จุดยิง แต่มีการกระจายตัวไปยังบริเวณใกล้เคียง ส่วนมากจะพบทางด้านหน้าและด้านขวา โดยปริมาณชาตุ GSR พบมากที่สุดในช่วงระยะเวลาประมาณ 1-3 นาทีแรก โดยยังสามารถตรวจพบได้แม้ว่าผ่านไป

นาน 15 นาที ซึ่งการทดลองนี้ช่วยยืนยันว่าอนุภาคของ GSR จะยังคงอยู่ในอากาศเป็นช่วงเวลาหนึ่ง ภายหลังการยิงปืน ดังนั้นจึงมีความเป็นไปได้ที่จะมีการปนเปื้อนต่อนु漉คลซึ่งเข้ามาในสถานที่ เกิดเหตุหลังการยิงปืน เพราะผลการทดลองแสดงให้เห็นว่า เบม่าปืนยังสามารถตรวจพบได้ แม้ว่า ผ่านนานาน 15 นาที ภายหลังการยิงปืน โดยชนิดของปืนและระยะสุนปืน มีผลต่อการกระจายตัวของ เบม่าปืนและระยะเวลาการตกลงของเบม่าปืน ส่วนกรณีการนับกอค่าแห่งยืนของผู้ยิงยังไม่สามารถ นำไปอ้างอิงได้ในกรณีเหตุการณ์ที่สภาพแวดล้อมต่างกัน เนื่องจากในการทดลองนี้ ได้กระทำใน ระบบปิด แต่ในที่เกิดเหตุส่วนใหญ่ มักจะเป็นระบบเปิด ทำให้ยังไม่สามารถนำผลการทดลองนี้ไป ยืนยันได้ชัดเจน แต่อย่างไรก็ตามผลการทดลองกีสามารถยืนยันได้ว่า เบม่ามีการกระจายตัวไป โดยรอบในระยะ 5 เมตร จากจุดยิง ซึ่งอาจต้องมีการทดลองในตัวแปรอื่นๆ เพิ่มเติมต่อไป

นอกจากนี้ ถ้าผู้ยิงหลบหนีออกจากสถานที่เกิดเหตุทันทีทันใดภายหลังการยิงปืน ปริมาณ ของอนุภาค GSR บนมือหรือเสื้อผ้าอาจจะมีน้อยอย่างมีนัยสำคัญ ซึ่งจะต้องนำมาพิสูจน์เพื่อ วิเคราะห์เป็นกรณีไป ส่วนกรณีการแยกความแตกต่างระหว่างผู้ยิงกับบุคคลอื่น ยังไม่สามารถแยก ความแตกต่าง ได้อย่างชัดเจน เท่ากับการตรวจสอบที่มือ เพราะการตรวจสอบที่มือจะมีเอกลักษณ์ที่ ชัดเจน ได้มากกว่า แต่การตรวจสอบที่มือนั้นขึ้นกับปัจจัยหลายอย่างเช่น ใจจะได้ค่าที่ถูกต้อง โดยจาก งานวิจัยนี้ มือข้างที่ตรวจพบเบม่าปืนมากที่สุด ในปืน 2 ชนิดมีความแตกต่างกัน โดยสามารถตรวจพบ ได้ที่บริเวณฝ่ามือ และนิ้วชี้ และนิ้วหัวแม่มือด้านฝ่ามือทั้ง 2 ข้างในปริมาณมาก

ดังนั้น ในการพิสูจน์ความจริงในอาชญากรรมที่เกี่ยวข้องกับอาชญากรรมนี้ การตรวจหาทิศทาง การกระจายตัว หรือการคุ้มครองเวลาการทดลองของอนุภาค GSR รอบจุดยิงร่วมด้วย ก็จะเป็นการพิสูจน์ หลักฐานอีกทางเลือกหนึ่งที่จะช่วยยืนยันเหตุการณ์ที่เกิดขึ้นได้มากยิ่งขึ้น

บรรณานุกรม

แม่น ออมสิทธิ์ และ ออมร เพชรส�, Principles and Techniques of Instrumental Analysis.
กรุงเทพฯ : ห้างหุ้นส่วนจำกัด โรงพิมพ์ชวนพิมพ์, 2539 : 400 – 410.

รัชนารถ กิตติคุณภู, การตรวจทราบเชิงลึกจากการยิงปืนที่มือ โดยวิธี SEM/EDX. วิทยานิพนธ์
ปริญญาวิทยาศาสตร์มหบัญชิต สาขาวิชานิติวิทยาศาสตร์ บัณฑิตวิทยาลัย
มหาวิทยาลัยมหิดล, 2535 : 31 – 35.

ร้อยตำราเจอก วิวัฒน์ ชินวร, การวิเคราะห์เบื้องลึกด้วยเทคนิค SEM/EDX (GUNSHOT RESIDUE ANALYSIS BY SEM/EDX)วิทยานิพนธ์ ปริญญาวิทยาศาสตร์มหบัญชิต สาขาวิชานิติวิทยาศาสตร์ บัณฑิตวิทยาลัย มหาวิทยาลัยศิลปากร, 2547 : ISBN 974-464-669-1

อัมพร จารุจินดา, พลตำรวจนคร. การตรวจพิสูจน์อาชญากรรมและเครื่องกระสุนปืน. กองพิสูจน์
หลักฐาน สำนักงานวิทยาการตำรวจนคร, 2542 : 1 – 38.

A. Zeichner, S. Ehrlich, E. Shoshani, L. Halicz, Application of lead isotope analysis in shooting incident investigations, Foren. Sci. Int., 158 (2006) 52–64

B. Cardinetti, C. Ciampini, C.D'Onofrio, G.Orlando, L.Gravina, F.Ferrari, D. Di Tullio, L. Torresi, X-ray mapping technique: a preliminary study in discriminating gunshot residue particles from aggregates of environmental occupational origin, Foren. Sci. Int., 143 (2004) 1-19

Glock 19 Pistol, [Online], accessed 16 May 2009. Available from
http://www.glock.com/downloads/GLOCK_en.pdf

Jorge E. Souza Sarkis, Osvaldo N. Neto, Sonia Viebig, Steven F. Durrant. Measurements of gunshot residues by sector field inductively coupled plasma mass spectrometry – Further studies with pistols. Journal of Forensic Science International. 2007; in press.

L. Fojtasek, J. Vacinova, P. Kolar, M. Kotrly, Distribution of GSR particles in the surroundings of shooting pistol, Foren. Sci. Int., 132 (2003) 99–105

Lubor Fojtasek , Tomas Kmjec . Time periods of GSR particles deposition after discharge – final results . Journal of Forensic Science International. 2005 ; 153 : 132 – 135.

Luis Frontela Carreras, Luis Antonio Montes Palma. Ejection patterns of shot residues made from 9 mm Parabellum gun, 9 mm shot gun , .38 revolver and 7.62 mm Cetme rifle. Forensic Science International. (1998) 143-172

L. F. Carrera , L. A. Montes Palma, Ejection patterns of shot residues made from 9 mm Parabellum gun, 9 mm short gun, .38 revolver and 7.62 mm Cetme rifle, Foren. Sci. Int., 96 (1998) 143–172

L. Garofano , M. Capra, F. Ferrari, G.P. Bizzaro, D. Di Tullio, M. Dell’Olio, A. Ghitti, Gunshot residue Further studies on particles of environmental and occupational origin, Foren. Sci. Int., 103 (1999) 1–21

Sellier & Bellot .38 SPECIAL–Full Metal Jacket (LRN) [Online], accessed 16 May 2009.
Available from <http://www.sellier-bellot.cz/pistol-and-revolver-detail.php?ammunition=9&product=184>

Smith & Wesson M60 [Online], accessed 16 May 2009. Available from http://www.smith-wesson.com/webapp/wcs/stores/servlet/ProductDisplay?storeId=10001&catalogId=10001&langId=-1&productId=14755&tabselected=tech&isFirearm=Y&parent_category_rn=1

W. A. MacCrehan*, M. J. Layman, J. D. Secl, Hair combing to collect organic gunshot residues (OGSR), Foren. Sci. Int., 135 (2003) 167–173

Winchester 9 mm Luger [Online], accessed 16 May 2009. Available from
[http://www.winchester.com /products /catalog/handgundetail.aspx?symbol=Q4172&cart=OW1tIEx1Z2Vy](http://www.winchester.com/products/catalog/handgundetail.aspx?symbol=Q4172&cart=OW1tIEx1Z2Vy)

ภาคผนวก

- คุณสมบัติเฉพาะของอาวุธปืน Revolver ยี่ห้อ Smith & Wesson Model M60



Model: 60
Caliber: .357MAG/.38+P
Capacity: 5 Rounds
Barrel Length: 3"
Front Sight: Black Blade Front
Rear Sight: Adjustable
Grip: Rubber Grips
Frame: Small - Chiefs Special Style
Finish: Satin Stainless
Overall Length: 7 1/2"
Material: Stainless Steel
Weight Empty: 24 oz.

ที่มา http://www.smith-wesson.com/webapp/wcs/stores/servlet/ProductDisplay?storeId=10001&catalogId=10001&langId=1&productId=14755&tabselected=tech&isFirearm=Y&parent_category_rn=,

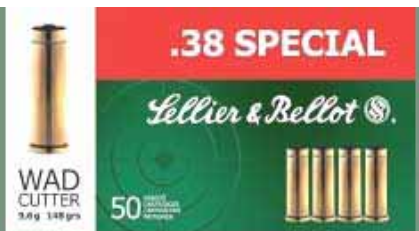
2. កុំណុមប័គ្និទាលរដ្ឋមន្ត្រីខេត្តបៀន Semi-Automatics ឬខែវ Glock Model 19



	GLOCK 19	GLOCK 19C
Caliber	9x19mm	9x19mm
Action	Safe Action System	Safe Action System
Length (slide)	6.85 in.(174mm)	6.85 in.(174mm)
Height	5 in.(127mm)	5 in.(127mm)
Width	1.18 in.(30mm)	1.18 in.(30mm)
Length between sights	5.98 in.(152mm)	5.98 in.(152mm)
Barrel length	4.02 in.(102mm)	4.02 in.(102mm)
Barrel rifling	Right, hexagonal	Right, hexagonal
Length of twist	9.84 in.(250mm)	9.84 in.(250mm)
Magazine capacity	10rd/15rd/17rd	10rd/15rd/17rd
Weight Empty	20.99 oz.(595g)	20.67 oz.(586g)
Magazine weight	2.46 oz.(70g)	2.46 oz.(70g)
Full magazine weight	8.99 oz.(255g)	8.99 oz.(255g)
Trigger pull (standard)	5.5 lbs.(2.5kg)	5.5 lbs.(2.5kg)
Trigger travel for discharge	0.5 in.(12.5mm)	0.5 in.(12.5mm)
Number of safeties	3	3

ពីមាត្រា http://www.glock.com/downloads/GLOCK_en.pdf

3. គុណសមប័ត្រិទាល់ខាងក្រោមនេះនៃរំសុនាំង Sellier & Bellot .38 SPECIAL–Full Metal Jacket (LRN)



Product No.			SB31101
Bullet	Type	LRN	
	Weight	grs	158
		g	10,25
Cartridge	Material of jacket	-	
	Weight	g	15,10
	Length	mm	39,35
Velocity (m/s)	V0	304	
	V25	295	
	V50	287	
Energy (J)	V0	474	
	V25	447	
	V50	422	
Barrel length (mm)	190		
Points of impact (cm)	12,5	-0,1	
	25	0	
	50	+5,0	
Pcs per box	50		
Boxes per case	20		
Weight per case	kg	16,5	
	lb	36,5	

We recommended in .38 SPECIAL:

Category	Bullet		
	Type	Weight	
	grs	g	
Nontox cartridges	TFMJ	158	10,25
Nontox cartridges	SP	158	10,25
Pistol and revolver cartridges	WC	148	9,60



ទីនៅ <http://www.sellier-bellot.cz/pistol-and-revolver-detail.php?ammunition=9&product=184>

4. គុណសមប័ត្រិទាល់ខាងក្រោមនេះនៃ Winchester 9 mm Luger

9mm Luger
147 gr. Supreme® T-Series



Product Symbol: S9

Ballistic Coefficient: 0.215

Barrel Length: 4.00"

Suggested use: Personal Protection

Description: Sure Functioning, Optimum Energy Deposit, Accurate, Controlled Recoil

Application: -

Bullet features include:

- Reverse Taper Jacket Design
- Consistent, Reliable Bullet Expansion Through Common Barrier Test Events
- Excellent Accuracy
- Positive Functioning

Packaging Options

Rounds Per Box: 20

Box U.S. MSRP: \$27.05

Rounds Per Case: 200

Case U.S. MSRP: \$270.50

Handgun Ballistics

Distance (yds)	Velocity (fps)	Energy (ft.lbs.)	Mid-Range Trajectory (in.)
Muzzle	990	320	-
50	947	293	1.2
100	909	270	4.8

ទីមា <http://www.winchester.com/products/catalog/handgundetail.aspx?symbol=Q4172&cart=OW1tIEx1Z2Vy>

ประวัติผู้วิจัย

ชื่อ-สกุล	นางสาวศิริลักษณ์ ไนบุปพา
ที่อยู่	169/26 ถ. ท่าแฉลบ ต. ตลาด อ.เมือง จ. จันทบุรี 22000
ที่ทำงาน	สำนักงานศูนย์การตรวจสอบค่าล่าด้วยระบบ 33/4 หมู่ 1 ถนนเจ้าคุณทหาร แขวงคลองสามประเวศ เขตตลาดกระบัง กรุงเทพฯ 10520
E-mail address	shaman142@hotmail.com
ประวัติการศึกษา	
พ.ศ. 2539	สำเร็จการศึกษาระดับมัธยมศึกษาตอนปลายจากโรงเรียน เบญจมราชนิเวศ จังหวัดจันทบุรี
พ.ศ. 2546	สำเร็จการศึกษาระดับปริญญาตรี สาขาวิชาเคมี มหาวิทยาลัยศิลปากร
พ.ศ. 2549	ศึกษาต่อระดับปริญญาโท สาขาวิชานิติวิทยาศาสตร์ บัณฑิตวิทยาลัย มหาวิทยาลัยศิลปากร
ประวัติการทำงาน	
พ.ศ. 2551- ปัจจุบัน	รับราชการสังกัดกรมศูนย์การ กระทรวงการคลัง ตำแหน่ง นักวิทยาศาสตร์ปฏิบัติการ